

MINISTERUL EDUCAȚIEI SI INVATAMINTULUI  
INSTITUTUL POLITEHNIC „ TRAIAN VUIA ” TIMISOARA  
FACULTATEA DE MECANICA

Ing. Hertwig Michels

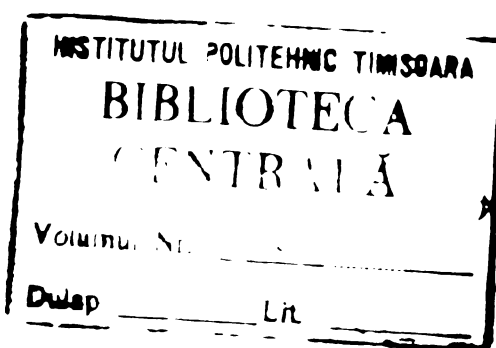
CONTRIBUTII LA STUDIUL SI CERCETAREA ORGANIZARII  
MISCARII AERULUI IN TEMPUL ADMISIUNII LA MOTOARELE  
CU APRINDERE PRIN COMPRESIUNE CU CAMERA DE ARDERE  
UNI TARA

Teză pentru obținerea titlului științific de doctor  
inginer

BIBLIOTeca CENTRALĂ  
UNIVERSITATEA "POLITEHNICA"  
TIMIȘOARA

CONDUCATOR STIINȚIFIC  
Prof. dr. ing. Vasile Berindean

- 1976 -





Contribuții la studiul și cercetarea organizării  
mișcării serului în timpul admisiunii la motoarele  
cu sprindere prin compresiune cu camera de ardere  
unitară.

Rezumat scurt

In vederea unei organizări optime a mișcării serului se studiază analitic și se cercetează experimental legile de curgere ale acestuia în canelul de admisiune, cilindru și camere de ardere, precum și parametrii care guvernează aceste legi. Se compară rezultatele calculelor teoretice cu mărimile măsurate și se constată o corespondență bună.

Instalație construită pentru cercetarea experimentală se compune din standuri la care se utilizează următoarele metode de cercetare :

- modelare electrică cu hîrtie electro-conductoare,
- vizualizarea mișcării serului în canale de admisiune, cilindri și camere de ardere,
- vizualizare cu descărcări electrice de tensiune și frecvență foarte înaltă,
- încercări de curgere staționară,
- încercări de curgere cvasistacionară,
- încercări dinamice / pe un stand experimental monocilindric, cu antrenare din exterior /.

Cu primele trei metode de experimentare se obțin numai rezultate calitative. Totuși, cu aceste metode se pot obține relativ ușor multe rezultate importante, ca de ex.: locurile de turbulentă a curgerii în canalele de admisiune și portiunile de canel gresit construite, poziția axei virtejului de aer în cilindru, structura mișcării organizate a serului în camere de ardere, etc.

Cu ultimele trei metode de experimentare enumerate mai sus s-în determină influențele parametrilor constructivi ai canalelor, influențele factorilor de stare și serului de admisiune și influențele factorilor constructivi și funcționali și motorului asupra mișcării organizate a serului.

Pentru măsurarea și înregistrarea complet automată a rezultatelor, standurile de experimentare sunt echipate cu o eparatură electrică și electronică corespunzătoare.

Toate standurile și aparatele de măsurare și înregistrare sunt concepute de autorul tezei și au fost executate în construcție proprie la Catedra de mașini termice a Institutului politehnic din Timișoara.

Metodele teoretice de calcul a intensității mișcării serului în cilindru și camere de ardere în timpul procesului de admiștere și comprimare, precum și metodica cercetărilor experimentale, au fost concepute de autor.

Ca rezultat al unor cercetări aplicative se prezintă posibilitățile de perfecționare ale motorului de tractor D-103 din punct de vedere al mișcării organizate a serului și ai pierderilor de curgere gazodinamice. De asemenea se arată modificările necesare la construcția acestui motor pentru aplicarea experimentală a procesului Meurer.

Contributions to the analysis and investigation  
of controlled air flow during the inlet in diesel  
engines with unit combustion chamber

Short summary

In order to achieve optimum control of the admission of the air flow, an analytical and experimental study was conducted of the laws of air flow in the inlet ports, cylinders

and combustion chamber, as well as the influence parameters governing these laws. The results of theoretical calculations are compared to the values measured, and a good agreement is obtained.

The testing machine developed for experimental investigations is made up of a series of test rigs necessary for the application of the following testing methods:

- electrical modelling by means of electro-conductive paper
- visualization of air flow in inlet ports, cylinders and combustion chamber
- visualisation by high-voltage and high-frequency electrical discharges
- steady-flow tests
- quasi-steady-flow tests
- dynamic tests / on a single-cylinder, externally actuated test rig./

Using the first three methods of investigation, only qualitative results are obtained. However, by the use of these methods, a series of significant results can be easily obtained, i.e. the sites of flow turbulence in inlet channels and port segments of faulty design, the air swirl axis position in the cylinder, the structure of the controlled air flow in the combustion chamber e.s.c.o.

By the aid of the last three methods the influence of the structural parameters of the ports, the influences of the admission air state factors as well as the influences of the structural and operational parameters of the engine upon controlled air flow were ascertained.

For completely automatized measurement and recording of

the experimental results, the test rigs were provided with adequate electrical and electronical devices. Each of the test rigs and the measuring and recording devices were designed by the author and built by own means at the Chair of Combustion Machines of the Polytechnic Institute in Timisoara.

The theoretical models for the analysis of air flow intensity in the cylinder and combustion chamber during admission and compression as well as the techniques of experimental investigation were devised by the author.

Following the applied researches performed, the possibilities of improvement of the tractor engine D-103 view the controlled air flow and dynamic gas leakages are shown. The modifications required in the construction of this engine for experimental application of the Meurer-procedure are also reported.

Beiträge zum Studium und zur Erforschung der  
gesteuerten Luftbewegung während des Einstrom-  
vorganges in Dieselmotoren mit Direkteinspri-  
tzung.

Kurzinhalt

Zur Ermittlung einer optimalen Bewegungssteuerung der Ansaugluft werden die Stromungsgesetze der Luft in Einlasskanälen, Zylindern und Brennräumen, sowie die Einflussgrößen dieser Gesetze theoretisch erforscht und analytisch und experimentell untersucht. Die Ergebnisse theoretischer Berechnungen werden mit den Messwerten verglichen. Sie ergeben eine gute Übereinstimmung.

Die für die experimentelle Untersuchung gebaute Versuchsanlage besteht aus einer Reihe von Prüfständen, die für die folgenden Versuchsverfahren geeignet sind:

- elektrische Modellierung mit elektrisch leitendem Papier,
- Sichtbeobachtung der Luftbewegung in Einlasskanälen, Zylindern und Brennräumen,
- Sichtbeobachtung mittels elektrischen Entladungen von sehr hoher Spannung und Frequenz,
- Stationäre Durchflussversuche,
- Quasistationäre Durchflussversuche,
- Dynamische Versuche / auf einem fremdengetriebenen Einzylindermotorprüfstand /.

Mit den ersten drei Versuchsverfahren erhält man nur qualitative Ergebnisse. Man kann jedoch mit diesen Versuchen verhältnismässig leicht viele Ergebnisse ermitteln, wie z.B. die Störstellen in Einlasskanälen und falsch gestalteten Kanalpartien, die Achslage des Luftwirbels in Zylindern, die Struktur der gesteuerten Luftströmung im Brennraum usw.

Mit den letzten drei Versuchsverfahren wurden die Einflüsse der Konstruktionsparameter der Einlasskanäle, die Einflüsse der Zustandsfaktoren der Ansaugluft und die Einflüsse der Konstruktions- und Funktionsfaktoren des Motors auf die gesteuerte Luftbewegung untersucht.

Zur vollautomatischen Messung und Aufzeichnung der Ergebnisse wurden die Prüfstände mit entsprechenden elektrischen und elektronischen Geräten ausgerüstet. Sämtliche Prüfstände und Geräte wurden vom Verfasser der Dissertation entworfen und im Eigenbau vom Lehrstuhl für Verbrennungskraftmaschinen des Polytechnischen Institutes von Timișoara ausgeführt.

Das theoretische Berechnungsverfahren für die Stärke der gesteuerten Luftbewegung im Zylinder und Brennraum während des Ansaug- und Kompressionsvorganges, sowie die Verfahrensweise der experimentellen Forschungen wurden ebenfalls vom Verfasser entworfen.

Als Ergebnis einer Anzahl von angewandten Forschungen wurden die Möglichkeiten der Verbesserung des Traktormotors D - 103 im Hinblick auf eine gesteuerte Luftbewegung und Strömungsverluste behandelt. Es werden ferner die, für die experimentelle Anwendung des Meurer-Verfahrens notwendigen Änderungen in der Konstruktion dieses Motors hervorgehoben.

ВКЛАД В ИЗУЧЕНИЕ И ИССЛЕДОВАНИЕ УПРАВЛЕНИЯ  
ДВИЖЕНИЕМ ВОЗДУХА В ДИЗЕЛЯХ С ЕДИНОЙ КАМЕРОЙ  
СГОРАНИЯ

Краткое изложение

Ввиду оптимального управления движением подводимого воздуха изучаются аналитически и исследуются экспериментально законы течения воздуха в впускных каналах, цилиндре и камере сгорания, как и параметры воздействия, которые управляют этими законами. Результаты теоретических расчетов сравниваются измеряемыми величинами и отмечается хорошее соответствие.

Испытательная установка, построенная для экспериментальных исследований, состоит из ряда испытательных стенд, необходимых для следующих методов испытания:

- электрическое моделирование электропроводящей бумагой,
- визуализация движения воздуха во впускных каналах, цилиндре и камерах сгорания,
- визуализация посредством электрических разрядов очень высокого напряжения и частоты,
- испытания стационарного течения,
- динамические испытания (на одноцилиндрическом испытательном стенде с внешним приводом).

Первыми тремя экспериментальными методами достигаются только качественных результатов. Однако этими методами можно достичь относительно легко много важных результатов, как например: места турбулентности течения во впускных каналах и неправильно построенных частях канала, положение оси водоворота в цилиндре, строение управляемого движения воздуха в камере сгорания и др.

Последними тремя экспериментальными методами определялись воздействия конструктивных коэффициентов каналов, воздействия коэффициентов состояний подводимого воздуха и воздействия конструктивных и функциональных коэффициентов двигателя на управляемое движение воздуха.

Для вполне автоматического измерения и регистрации результатов, испытательные стены, снабжены соответствующей электрической и электрической аппаратурой. Все испытательные стены и измерительные и регистрирующие аппараты разработаны автором диссертации и изготовлены в собственном исполнении кафедрой Технологии

двигателей Политеческого Института города Тимишоара.

Теоретические методы расчёта для интенсивности движения воздуха в цилиндре и камере сгорания во время процесса впуска скимания, как и метод экспериментальных исследований разработан автором.

В результате прикладных исследований представляются возможности усовершенствования двигателя для трактора Д-103 с точки зрения управляемого движения воздуха и газодинамических потоков течения этого двигателя для экспериментального применения способа Маурера.

Contributions à l'étude et la recherche  
du flux contrôlé de l'air pendant l'admission dans les  
moteurs à allumage par compression à chambre de combustion  
unitaire

Résumé

En vue du contrôle optimum du flux de l'air d'admission l'auteur fait une étude analytique et expérimentale sur les lois de l'écoulement de l'air dans les galeries d'admission, les cylindres et la chambre de compression, de même que des paramètres d'influence qui déterminent ces lois. Les résultats théoriques sont comparés avec les valeurs expérimentales et on constate une bonne correspondance.

L'installation d'essai destinée pour les recherches expérimentales comporte une série de stands d'essai pour l'application des méthodes suivantes:

- modelage électrique à papier électro-conducteur
- visualisation du flux de l'air dans les galeries d'admission, les cylindres et la chambre de combustion
- visualisation des charges électriques à haute tension et fréquence
  - essais d'écoulement stationnaire
  - essais d'écoulement quasi-stationnaire
  - essais dynamiques (sur un stand d'essai à un cylindre entraîné de l'extérieur).

Avec les trois premières méthodes d'essai on obtient seulement des résultats qualitatifs. Malgré cela, on obtient aisément des nombreux résultats importants, à savoir les lieux de perturbation de l'écoulement dans les galeries d'admission et les parties des galeries mal-construites, la position de l'axe du tourbillon d'air dans le cylindre, la structure du flux contrôlé de l'air dans la chambre de combustion etc.

Par les trois dernières méthodes d'essai on a investigué et déterminé les influences des paramètres constructifs des galeries, les influences des facteurs constructifs et fonctionnels

du moteur sur le flux contrôlé de l'air.

Les stands d'essai ont été équipés pour mesurer et enregistrer automatiquement des résultats, avec des appareils électriques et électroniques. L'auteur du travail a élaboré les stands d'essai, les appareils de mesure et d'enregistrement, qui ont été exécutés sous sa direction à la Chaire des Machines Thermiques de l'Institut Polytechnique de Timisoara.

On doit ajouter aussi les contributions de l'auteur concernant les méthodes théoriques, pour établir l'intensité du flux de l'air dans les cylindres et la chambre de combustion pendant le processus d'admission et de compression, et les méthodes de recherche expérimentales.

Comme une conclusion des recherches appliquées on présente les possibilités de perfectionner le moteur de tracteur D-103 concernant le contrôle du flux de l'air et les pertes gasodynamiques. On indique aussi les modifications constructives nécessaires pour l'application expérimentale du procédé Meurea.

C U P R I N S

Pagina

Volumul I.	
Principalele notății folosite. Indici și prescurtări . . . . .	7
Prefață . . . . .	11
Introducere . . . . .	13
1. <u>Studiul monografic asupra problemei cerce-</u> <u>tate . . . . .</u>	19
2. <u>Modelarea matematică a mișcării organizate</u> <u>a aerului în cilindru și camera de ardere</u> <u>a motoarelor cu ardere interpă . . . . .</u>	23
2.1. Generalități . . . . .	23
2.2. Mișcarea organizată a aerului în procesul de admisiune . . . . .	25
2.2.1. Considerații teoretice . . . . .	25
2.2.2. Stabilirea cifrei de turbionare a admisiu- nii . . . . .	29
2.3. Mișcarea organizată a aerului în procesul de comprimare . . . . .	34
2.3.1. Considerații generale . . . . .	34
2.3.2. Stabilirea cifrei de turbionare relative a comprimării . . . . .	35
2.3.2.1. Cifra de turbionare relativă a comprimării din camera de ardere . . . . .	35
2.3.2.2. Cifra de turbionare relativă a comprimării din camera inelară a interstițiului . . .	38
2.3.3. Cifrele relative de turbionare ale comprimării pentru diferite forme de camere de ardere . . . . .	40
2.4. Concluzii . . . . .	41
3. <u>Instalații de încercare, aparatura folosită</u> <u>și metodica cercetărilor experimentale . . .</u>	42
3.1. Modelare electrică cu hirtie electro-con- ductoare a curgerii gazodinamice prin ca- nalul de admisiune . . . . .	42
3.1.1. Generalități . . . . .	42
3.1.2. Instalația de încercare și aparatura folosi- tă . . . . .	44

3.1.3.	Metodica cercetărilor experimentale . . . . .	44
3.2.	Instalații pentru vizualizarea mișcării aerului în canalul de admisiune și cilindru și metodica încercărilor experimentale . . . . .	45
3.2.1.	Standuri de probă . . . . .	45
3.2.2.	Metode de vizualizare . . . . .	45
3.2.2.1.	Metode de vizualizare folosite la canalul de admisiune . . . . .	45
3.2.2.1.1.	Metoda cu naftalină . . . . .	45
3.2.2.1.2.	Metoda cu un amestec de motorină, ulei și funingine . . . . .	46
3.2.2.1.3.	Metoda cu nicotină . . . . .	46
3.2.2.1.4.	Metoda cu hirtie ozalid și vapozi de amoniac .	46
3.2.2.1.5.	Metoda depunerii de praf . . . . .	46
3.2.2.2.	Metode de vizualizare folosite la cilindrul motorului . . . . .	47
3.2.2.2.1.	Metoda cu praf de aluminiu . . . . .	47
3.2.2.2.2.	Metoda cu oxid de magneziu sau cu fulgi de metaldehidă . . . . .	47
3.2.2.2.3.	Metoda de depunere de praf . . . . .	47
3.2.2.3.	Metoda de vizualizare folosită la camera de ardere . . . . .	47
3.2.3.	Instalația pentru vizualizarea mișcării aerului prin descărări electrice de frecvență și tensiune foarte înaltă . . . . .	48
3.3.	Stand staționar pentru determinarea cifrelor caracteristice ale canalelor de admisiune și metoda cercetărilor experimentale . . . . .	49
3.4.	Stand cvasistaționar pentru determinarea caracteristicilor canalului de admisiune și metoda cercetărilor experimentale . . . . .	53
3.5.	Stand dinamic pentru cercetarea mișcării organizate a aerului și metoda cercetărilor experimentale . . . . .	54
3.6.	Concluzii . . . . .	60
4.	<u>Consideratii privind precizia măsurătorilor</u> . .	62
4.1.	Erori la măsurarea debitului . . . . .	62
4.2.	Erori înregistrate la măsurarea presiunii	

4.3.	din cilindrul modelului dinamic . . . . .	63
4.4.	Erori înregistrate la măsurarea vitezelor de rotație ale arborelui cotit și ale anemometrului . . . . .	67
5. .	Concluzii . . . . .	68
5.1.	<u>Rezultatele cercetării</u> . . . . .	69
5.2.	Generalități . . . . .	69
5.3.	Rezultatele obținute prin modelarea electrică și prin vizualizarea curgerii aerului în canalul de admisiune . . . . .	69
5.4.	Rezultatele experimentale obținute la vizualizarea mișcării aerului în cilindru și cameră de ardere . . . . .	71
5.4.1.	Rezultatele experimentale obținute pe standul staționar . . . . .	75
5.4.2.	Tehnologia de execuție a modelelor de canale de admisiune . . . . .	75
5.4.2.1.	Studiul influenței arhitecturii canalelor de admisiune . . . . .	76
5.4.2.2.	Influența razelor de racordare și a unghiului de inclinare al canalului . . . . .	76
5.4.2.3.	Influența arhitecturii scaunului de supapă . .	77
5.4.2.4.	Influența poziției colțului canalului . . . .	78
5.4.2.5.	Influența poziției canalului față de axa cilindrului . . . . .	78
5.4.2.6.	Influența unghiului cotului canalului . . . . .	78
5.4.3.	Criterii generale pentru construcția canalelor de admisiune . . . . .	80
5.4.3.1.	Canale de admisiune cu rezistențe de curgere reduse . . . . .	80
5.4.3.2.	Canale de admisiune care generează o mișcare organizată a aerului în cilindru . . . . .	81
5.4.4.	Soluții perfectionate de canale de admisiune pentru motorul D-103 . . . . .	83

5.4.5.	Soluții constructive de canale de admisiune pentru determinarea mișcării organizate optime la motorul D-1c3 . . . . .	84
5.5.	Rezultate obținute pe baza curbelor caracteristice ale canalelor de admisiune, determinate prin încercări evasivă statonare . . . . .	86
5.5.1.	Influențele asupra mișcării organizate a aerului din cilindru în timpul procesului de admisiune . . . . .	87
5.5.1.1.	Influența coeficientului de umplere . . . . .	87
5.5.1.2.	Influența curbei de variație a debitului masic prin canalul de admisiune în cazul menținerii constante a coeficientului de umplere . . . . .	88
5.5.1.3.	Influența poziției maximului curbei de variație a debitului masic prin canalul de admisiune în cazul menținerii constante a coeficientului de umplere . . . . .	89
5.5.1.4.	Influența factorilor de stare . . . . . - presiunea inițială . . . . .	90
	- temperatura inițială . . . . .	91
5.5.1.5.	Influența factorilor funcționali . . . . . - viteza de rotație a arborelui cotit . . . . ,	92
	- sarcina . . . . .	93
	- coeficientul de încălzire $\zeta_e$ . . . . .	93
5.5.1.6.	Influența factorilor construcțivi . . . . . - legea de deschidere a supapei de admisiune .	94
	- raportul de comprimare . . . . .	95
	- supapa ecranată . . . . .	96
5.5.2.	Canale de admisiune îmbunătățite ale motorului D-1c3 . . . . .	97
5.6.	Rezultatele obținute la cercetarea mișcării organizate a aerului cu ajutorul modelului dinamic și comparația lor cu cele determinate cu ajutorul modelului de calcul . . . . .	97
5.6.1.	Mișcarea organizată a aerului într-un cilindru fără cavitate în piston . . . . .	98
5.6.2.	Mișcarea organizată a aerului în camera de ardere . . . . .	99

5.6.3.	Influențe asupra mișcării organizate a aerului din camera de ardere . . . . .	101
5.6.3.1.	Influența factorului funcțional, vîteza de rotație a arborelui cotit . . . . .	101
5.6.3.2.	Influența factorilor constructivi . . . . . - volumul relativ al interstițiului . . . . .	102
	- raportul de comprimare . . . . .	103
	- diametrul relativ al camerei de ardere . .	104
	- cursa relativă a pistonului S/D . . . . .	104
	- arhitectura camerei de ardere . . . . .	105
	- canale de admisiune cu supape ecranate . .	106
5.6.4.	Soluții constructive îmbunătățite din punct de vedere al mișcării organizate a aerului la motorul D-103 . . . . .	108
5.6.5.	Camera de ardere pentru aplicarea procedeului M la motorul D-103 . . . . .	109
6.	<u>Concluzii</u> . . . . .	110
	<b>Bibliografie</b> . . . . .	119

Volumul II.

Cuprinde 158 figuri și anexe.

PRINCIPALELE NOTATII FOLOSITE

Simbol	Denumire	Unitate de măsură
1	2	3
$a_0$	viteză undelor sonore	m/s
$\alpha$	unghiul rotație arbore cotit	°RAC
$\alpha_{dsa}$	avansul de deschidere a supapei de admisiune	°RAC
$\alpha_{iss}$	întîrzirea la închiderea supapei de admisiune	°RAC
$b$	momentul cinetic	$\text{kgm}^2/\text{s}$
$\beta$	raza relativă a camerei de ardere	-
$\beta$	raportul $d/D^2$	-
$c_m$	viteză medie a pistonului	m/s
$D$	diametrul cilindrului	m
$d$	diametrul porții supapei de admisiune	m
$\delta$	înălțimea relativă a camerei de ardere	-
$\varepsilon$	raportul de comprimare	-
$\xi_0$	volumul relativ al interstițiului	-
$\xi_M$	volumul relativ al camerei de ardere	-
$\eta_V$	coeficientul de umplere	-
$F_a, f_a$	funcție, $1/2 \cdot (1 - \cos \alpha + 1/2 \cdot \lambda \cdot \sin \alpha^2 + 1/8 \cdot \lambda^3 \cdot \sin \alpha^4)$	-
$G_r$	debitul masic real	$\text{kg}/\text{s}$
$G_t$	debitul masic teoretic	$\text{kg}/\text{s}$
$g$	acelerația gravitațională	$\text{m}/\text{s}^2$
$H$	impulsul	$\text{kgm}/\text{s}$
$J$	momentul de inerție	$\text{kgm}^2$
$h$	curse supapei de admisiune	m
$h_o$	înălțimea camerei de ardere	m
$H_o$	înălțimea volumului interstițiului	m
$x$	exponentul politropic	-
$L_b$	lungimea bielei	m
$\lambda$	raportul $r/L_b$	-
$M_{ZA}$	debitul masic	$\text{kg}/\text{s}$
$m_z$	masa de aer admisă	kg

1 /	2	3
$m_{za}$	masă de aer admisă în intervalul de timp $5^{\circ}$ RAC	g
$\mu$	coeficientul de debit	-
$\nu$	exponentul = 0,474	-
$n$	viteză de rotație a arborelui cotit	rot/min
$n_{An}$	viteză de rotație a anemometrului / încercări dinamice /	rot/min
$n_{An}^s$	viteză de rotație a anemometrului la sfîrșitul procesului de admisiune / încercări dinamice /	rot/min
$n_{An}^c$	viteză de rotație a anemometrului la sfîrșitul procesului de comprimare / încercări dinamice /	rot/min
$n_M$	viteză de rotație a anemometrului / încercări staționare /	rot/min
$n_M/n$	cifra de turbionare staționară	-
$(n_M/n)_m$	cifra medie de turbionare staționară	-
$p$	presiunea	$daN/cm^2$
$p_s$	presiunea din secțiunea controlată de supapă	$daN/cm^2$
$p_0$	presiunea inițială	$daN/cm^2$
$p_z$	presiunea din cilindru	$daN/cm^2$
$q$	secțiunea efectivă controlată de supapă	$m^2$
$R$	constanta gazelor	$J/kg \cdot grd$
$r$	raza manivelei motoare	m
$s$	cursa pistonului	m
$\sigma$	coeficientul de obturare	-
$\varrho$	densitatea	$kg/m^3$
$T_0$	temperatura absolută inițială	$^{\circ}K$
$t$	tempul	s
$\tau_e$	cifra de încălzire	-
$V$	volumul	$m^3$
$V_s$	cilindrees	$m^3$
$V_z$	volumul momentan al cilindrului	$m^3$
$w$	viteză	$m/s$
$w_A$	viteză aerului în secțiunea controlată de supapă	$m/s$

1	2	3
$w_s$	viteză axială	m/s
$w_p$	viteză periferică	m/s
$w_p^*$	viteză periferică interpolată pentru $\theta=0$	m/s
$w_m$	viteză medie convențională	m/s
$\Omega$	cifre de turbionare a ciclului	-
$\Omega_s$	cifre de turbionare a admisiunii	-
$\Omega_{sd}$	cifre de turbionare momentană a admisiunii	-
$\Omega_c$	cifre de turbionare relativă a comprimării	-
$\Omega_{co}$	cifre de turbionare relativă momentană a comprimării	-
$\omega$	viteză unghiulară	rad/s
$\omega_A$	viteză unghiulară a anemometrului / încercări cvasistacionare /	rad/s
$\omega_{sd}$	viteză unghiulară a vîrtejului de aer la sfîrșitul procesului de admisiune	rad/s
$\omega_{sd_a}$	viteză unghiulară momentană a vîrtejului de aer în perioada procesului de admisiune	rad/s
$\omega_c$	viteză unghiulară a vîrtejului de aer la sfîrșitul procesului de comprimare	rad/s
$\omega_{c_a}$	viteză unghiulară momentană a vîrtejului de aer în perioada procesului de comprimare	rad/s
$\omega_m$	viteză unghiulară a arborelui cotit	rad/s
$\Theta$	momentul de inerție relativ al anemometrului	-

Indici și prescurtări

A, Ad	anemometru
s, sd	admisioane
c	compresiune
cr	critic
des	deschidere supapei de admisiune
ies	închidere supapei de admisiune
M	morișcă / anemometru, încercări staționare / medie
m.s.i.	motor cu ardere internă
măs	măsurat
p.m.e.	punct mort exterior
p.m.i.	punct mort interior

nAC      rotație arbore cotit  
teo.     teoretic  
s        cilindru  
o        inițial

## I. P R E F A T A

Motorul cu ardere internă nu este nici în zilele noastre o mașină de forță depășită. Puterea motoarelor cu ardere internă aflate azi în exploatare depășește puterea totală a tuturor celorlalte mașini de forță la un loc /1/. În baza unor statistică se apreciază că în cadrul transportului rutier, în anul 1990, motorul cu ardere internă va reprezenta 80% din totalul agregatelor de forță. În ultimii ani se remarcă o tendință de creștere a numărului de autovehicule antrenate de motoare cu aprindere prin comprimare. În consecință, cercetarea și perfecționarea lor în continuare, este o sarcină actuală și importantă.

Cele mai însemnante direcții de cercetare, în cazul motorului cu aprindere prin comprimare sunt: reducerea consumului specific de combustibil, a emisiilor de fum și gaze nocive/poluare chimică/ și a zgomotului motorului /poluare sonoră/. Toate aceste trei probleme sunt strâns legate de optimizarea procesului de formare a amestecului și al ardeii în cilindrul motorului.

La motoarele cu aprindere prin comprimare cu camera de ardere unitară și injectie directă, un factor important, care influențează formarea amestecului și arderea, este mișcarea organizată a aerului din camera de ardere.

Un alt factor important este îmbunătățirea procesului de umplere cu aer a cilindrului motorului prin reducerea pierderilor gazodinamice din organele de admisiune.

Avantajul pe care-l are mișcarea organizată a aerului este parțial redus prin procesul de generare al acestei mișcări de organele de admisiune, care introduc rezistențe de curgere suplimentare. În consecință se impune ca mișcarea aerului să fie produsă cu pierderi gazodinamice minime. De asemenea este necesar ca mișcarea aerului în camera de ardere să fie controlabilă cu mijloace simple, în vederea acordării ei cu procesul de injectie, în special la perfecționarea unor motoare existente sau la concepția unor motoare la care se folosesc procedee noi de ardere.

Având în vedere importanța cercetărilor referitoare la organizarea mișcării aerului în camerele de ardere ale motoarelor diesel rapide, încă din perioada studenției, autorul prezentei lucrări a inceput primele cercetări în legătură cu această problemă. Rezultatele au fost prezentate în sesiunile de comunicări ale cercului științific studențesc și continuat în lucrarea de diplomă, având tema : "Stand pentru determinarea mișcărilor turbionare prin sistemul de alimentare al motoarelor în 4 timpi" ; tema aceasta a fost dezvoltată și în prezența teză de doctorat.

Tema tezei de doctorat am ales-o la inițiativa conducătorului meu științific prof.dr.ing. Vasile Barindean, căruia îi mulțumesc și pe această cale pentru sfaturile și sugestiile prețioase precum și pentru sprijinul deosebit pe care mi l-a acordat la elaborarea tezei.

Mulțumesc personalului tehnic al Laboratorului de mașini termice, care m-a ajutat la realizarea instalațiilor și a aparaturii de încercare, precum și la executarea încercărilor experimentale.

Mulțumesc de asemenea tuturor acelora, care m-au sprijinit moral și material la realizarea acestei lucrări.

Trebui să menționăm faptul că prezenta teză de doctorat face parte dintr-un program mai larg de cercetare al Catedrei de termotehnică și mașini termice al Institutului Politehnic Timișoara, referitor la procesele de formare ale amestecului și de ardere în motoare diesel rapide, rezultatele cercetării urmând să fie utilizate pentru elaborarea altor trei teze de doctorat, care sunt în curs de elaborare în domeniul mai sus menționat.

## II. INTRODUCERE

Scopul prezentei lucrări îl constituie studiul și cercetarea organizării optime a mișcării aerului în perioada admisiunii și comprimării, pentru stabilirea legilor proceselor de organizare a mișcării aerului și a factorilor care influențează desfășurarea lor.

Pentru o mai bună sistematizare a conținutului, lucrarea cuprinde două volume: volumul I conține textul lucrării, expus în 6 capitulo, cuprinsind: 125 pagini, 8 tabele, 146 relații numerotate și 114 referiri bibliografice, volumul II conține 116 pagini, cuprinsind 208 figuri și un program în limbaj R.RTRAN redat în anexă.

Capitolul 1 : "Studiul monografic asupra problemei cercetării". Se prezintă importanța mișcării organizate a aerului precum și stadiul actual al cercetărilor privind această mișcare. Se trăc succint în revistă metodele cele mai reprezentative de cercetare și experimentare ale organizării mișcării aerului și se efectuează o analiză critică a acestor metode.

Studiul efectuat asupra stadiului actual al cercetărilor privind mișcarea organizată a aerului justifică cercetările din cadrul tezei. Ea se încadrează în eforturile depuse pe plan mondial pentru dezvoltarea motoarelor cu ardere intermă.

In final se prezintă fazele și metodele de cercetare experimentală utilizate în lucrare, pornindu-se de la casul idealizat al procesului de curgere a aerului prin canalul de admisiune și sfîrșind cu cel real.

Capitolul 2: "Modelarea matematică a mișcării organizate a aerului în cilindru și camera de ardere". Capitolul acesta cuprinde studiul teoretic al organizării mișcării aerului și metodele de stabilire ale relațiilor de calcul pentru intensitatea mișcării organizate a aerului în cilindru și camera de ardere în timpul procesului de admisiune și compresie.

Capitolul 3: "Instalații de incercare, aparaturi folosite și metodica cercetărilor experimentale". Acest capitol conține o prezentare a instalațiilor de incercare și a

aparaturii folosite, concepute de autorul lucrării și realizate cu ajutorul personalului tehnic din cadrul Laboratorului de motoare cu ardere internă al Institutului Politehnic Timișoara, precum și metodica cercetărilor experimentale, concepute de acesta de autorul lucrării.

Dintre acestea se menționează că:

Construcțiile instalațiilor de încercare pentru:

- a. modelarea electrică cu hîtic electro-conductoare ;
- b. vizualizarea mișcării aerului în canalul de admisie, în cilindru și camera de ardere, prin diferite metode descrise în teză ;
- c. vizualizare cu descărări electrice de tensiune și frecvență foarte înaltă ;
- d. încercări staționare ;
- e. încercări cvasistaționare ;
- f. încercări dinamice ;

sunt originale. La fel și apatura electrică și electronică de automatizare și măsurare și anume:

- g. apatura fotoelectrică pentru măsurarea vitezei de rotație a anemometrului la încercările cvasi-staționare;
- h. apatura fotoelectrică pentru marcarea unghiului de rotație al arborelui cotit;
- i. unitatea electronică de sincronizare a aparatului de înregistrare;
- j. unitatea electronică de programare a regimului de lucru al modelului dinamic;
- k. traductorul electrotensometric pentru măsurarea presiunilor în cilindrul modelului dinamic;
- l. traductorul inductive fără contact pentru indicarea p.m.i. al modelului dinamic;
- m. traductorul inductive fără contact miniaturizat, răcit cu apă/ pentru măsurarea vitezei de rotație a anemometrului, precum și apatura de amplificare și transformare a impulsurilor traductorului;
- n. traductorul pentru măsurarea vitezei de rotație a aerului în camera de ardere, anemometrele având mase foarte reduse /0,14 g - 0,23 g/.

In continuare se expune metodica cercetărilor experimentale și metodele de prelucrare ale rezultatelor.

Capitolul 4: "Considerații privind precizia măsurătorilor". Se tratează erorile de măsurare și se fac aprecieri asupra preciziei pentru fiecare tip de măsurare.

Capitolul 5: "Rezultatele cercetării". Capitolul acesta cuprinde rezultatele obținute la cercetările fundamentale și aplicative executate cu ajutorul instalațiilor de încercare prezentate în cap. 3 și al modelului de calcul din cap. 2. În prima parte se arată rezultatele obținute prin metoda de modelare electrică și metodele de vizualizare. În a doua parte se prezintă rezultatele cantitative obținute cu ajutorul instalațiilor de încercare și al modelului de calcul, precum și o comparație între aceste rezultate. Se arată rezultatele obținute la studiul structurii mișcării organizate a aerului din camera de ardere, o problemă despre care există păreri contradicțorii în literatura tehnică de specialitate. Se tratează, prin metoda de cercetare staționară, cvasistaționară și dinamică, influența factorilor constructivi, funcționali și de stare asupra mișcării organizate a aerului și a pierderilor gazodinamice.

În urma experienței acumulate și a rezultatelor obținute la studiul factorilor de influență, se trece la cercetări aplicative, prezintându-se rezultatele obținute cu soluții constructive perfecționate din punct de vedere al mișcării organizate a aerului și al pierderilor gazodinamice, în comparație cu soluțiile constructive actuale ale motorului de tractor D-103. Se arată și modificările necesare pentru a obține o mișcare organizată mai intensă, necesară în cazul experimentării procedeului M la motorul de tractor D-103.

Capitolul 6 : "Concluzii". În capitolul acesta se prezintă concluziile principale obținute în cadrul prezentei lucrări.

Tesa de doctorat este în ansamblu o lucrare originală, din care în mod deosebit se citează următoarele contribuții:

1. Contribuții teoretice.

1.1. Metoda de calcul pentru stabilirea cifrei de turbionare a aerului în timpul admisiunii.

1.2. Metoda de calcul pentru stabilirea cifrei de turbionare relative a aerului în timpul comprimării, în camera de ardere.

1.3. Metoda de calcul pentru stabilirea cifrei de turbionare relative a aerului în timpul comprimării, în camera înelară a interstițiului dintre piston și chiulasă.

1.4. Metoda de calcul pentru stabilirea cifrelor relative de turbionare ale aerului în timpul comprimării, pentru diferite forme de camere de ardere.

Toate aceste metode se bazează pe o serie de ipoteze expuse în lucrare. Unele ipoteze au fost verificate prin încercări experimentale /de ex. structurile mișcării organizate a aerului în cilindru și camera de ardere/.

## 2. Contribuții experimentale.

2.1. Metodica cercetărilor. Cercetările au fost executate după un sistem combinat de metode cu faze diferite, pornind de la cazul idealizat și sfîrșind cu cel real. Astfel s-a studiat curgerea idealizată a aerului prin canalul de admisiune prin metode de modelare electrică, apoi curgerea reală prin metode de vizualizare, obținindu-se numai rezultate calitative, însă importante, deoarece ele au indicat locurile de desprindere ale curentului de aer în canalul de admisiune /prin aceasta se poate acționa asupra pierderilor gazodinamice/ și porțiunile din canal greșit construite /prin depistarea lor se poate acționa asupra mișcării organizate a aerului/. În baza acestor rezultate calitative s-a perfectionat canalul prin modelare în mai multe variante constructive, care au fost apoi cercetate prin metode de încercare staționară, cvasistaționară și dinamică, obținând rezultate cantitative asupra mișcării organizate a aerului și a pierderilor gazodinamice. Rezultatele cantitative măsurate au fost comparate (și interpretate critic) cu cele calculate teoretic printr-o metodă de modelare matematică.

2.2. Instalația de experimentare. S-au realizat mai multe standuri de experimentare, în concepție proprie, pentru modelarea electrică și pentru vizualizări și încercări de curgere staționară, cvasistaționară și dinamice.

2.3. Aparatura electrică și electronică de măsurare și înregistrare. Această aparatură de precizie ridicată, necesară

standurilor de experimentare, s-a realizat de asemenea în concepție proprie. Ea permite măsurarea și înregistrarea complet automată a rezultatelor.

2.4. Anemometre extra ușoare. Pentru măsurarea cît mai precisă a vitezei de rotație a aerului în camera de ardere au fost realizate anemometre extra ușoare, cu o masă proprie între 0,144 g și 0,230 g /în funcție de diametrul anemometrului/.

2.5. Tehnologia de execuție a modelelor de canale de admisiune. Pentru executarea ușoară și rapidă a celor peste 70 de variante de modele de canale de admisiune pentru motorul D-103 s-a conceput o tehnologie de execuție specială.

2.6. Factorii de influență. S-au determinat pe căle analitică și experimentală și în mod sistematic și detaliat influența diferenților factori /de stare, constructivi și funcționali/ asupra organizării mișcării aerului în timpul admisiunii și comprimării, precum și asupra pierderilor de curgere gazodinamice.

Se precizează că în literatura tehnică de specialitate lucrările care tratează mișcarea organizată a aerului, se limitează de obicei la măsurarea elementelor acestei mișcări în camera de ardere, fără a se prezenta un studiu detaliat a factorilor de influență.

2.7. Structura mișcării organizate a aerului. S-a elucidat structura mișcării organizate a aerului /despre care există păreri contradictorii în literatura de specialitate/. Cu excepția stratului limită, aerul se rotește în camera de ardere ca un virtej cvasisolid, spre deosebire de structura aerului din volumul inelar al interstițiului dintre piston și chiulasă, unde aerul se rotește ca un virtej cvasipotențial, de asemenea cu excepția stratului limită.

2.8. Mișcarea secundară a aerului din camera de ardere. S-a dovedit existența acestei mișcări (despre care există de asemenea păreri contradictorii în literatura de specialitate) și s-a reliefat faptul că ea apare numai la o intensitate redusă a mișcării organizate a aerului.

2.9. Studiul comparativ al diferențelor metodice și dispozitive de generare a mișcării organizate a aerului.

Avantajul pe care-l aduce mișcarea organizată a aerului este anulată parțial de procesul de generare al acesteia de către organele de admisiune, care introduc rezistențe de curgere suplimentare, adică pierderi gazodinamice. În consecință apare problema generării acestei mișcări a aerului cu pierderi gazodinamice minime. S-a constatat că dintre toate metodele de generare (canal oblic, canal spiral, canal cu o lamelă, supapă ecranată și scaun de supapă ecranat), ceea mai potrivită este orientarea în spirală a canalului de admisiune, existând în acest caz pierderi gazodinamice minime.

Se menționează că la experimentarea unor modele de motoare noi este avantajoasă utilizarea supapei ecranate, care permite reglarea vitezei de rotație a aerului /printr-o simplă rotire a supapei/, în vederea acordării ei cu procesul de injecție.

#### 2.10. Perfectionarea motorului de tractor D-103.

Ceretările aplicative au arătat următoarele: canalul original al motorului de tractor D-103 poate fi îmbunătățit atât din punct de vedere al pierderilor gazodinamice, cât și din punct de vedere al mișcării organizate a aerului, printr-o modelare corespunzătoare a secțiunilor de curgere ale canalului (model de canal nr.6, scaun cu difuzor, strangulare maximă deasupra scaunului, secțiune transversală continuu descrescătoare, cot modificat, etc.).

2.11. Aplicarea experimentală a procedeului Neurer la motorul de tractor D-103 se poate face cu modificări constructive minime. Utilizând în locul camerei de ardere actuale o cameră de ardere sferică cu dimensiunile indicate în lucrare, se poate trece la experimentarea procedeului Neurer la acest motor (fără a fi necesară modificarea canalului de admisiune).

2.12. Rezultatele obținute în lucrare prin folosirea metodicii de cercetare prezentată și a instalației de experimentare realizate constituie și o bază de plecare pentru optimizarea mișcării organizate a aerului de admisiune la perfectionarea și a altor motoare de fabricație românească, precum și o bază de plecare pentru calculul și cercetarea experimentală a mișcării organizate a aerului de admisiune la concepția și proiectarea unor motoare noi, cu procedee moderne de ardere.-

Cap. I STUDIUL MONOGRAFIC ASUPRA PROBLEMEI  
CERCETATE

Prințele motoare cu sprindere prin comprimare au avut viteză de rotații reduse, iar injectie combustibilului în camera de ardere s-a realizat cu ajutorul seroului comprimat. Cu acest sistem pneumatic de injectie s-a realizat o repartizare relativ bună a combustibilului în camere de ardere.

Introducerea combustibilului în camere de ardere prin injectie mecanică a dat naștere la probleme noi în ceea ce privește formarea suestecului. Astfel s-a încercat să se realizeze formarea suestecului în camere de ardere a motorului cu ajutorul unei mișcări organizate a serului.

Influența mișcării organizate a serului asupra formării suestecului și asupra procesului de ardere a fost recunoscută deja de Clerk și Hopkinsan / 3 /, Hesselmann / 4 / și Hins / 5 /, care au efectuat în anul 1921 respectiv 1923 o serie de cercetări, constatănd o anumită dependență între viteza serului în camere de ardere și consumul specific de combustibil. În scopul de a construi un motor cu sprindere prin comprimare cu viteză mare de rotație a arborelui octit, Ricardo / 6 / a efectuat în 1923 o cercetare mai sistematică și a constatat, că la o anumită rotație a serului de admisiune în jurul axei camerei de ardere, consumul specific de combustibil are o valoare optimă.

Cercetări asemănătoare au fost executate de Sasse / 7 /, Geiger / 8,9 /, Zinner / 10 /, Schwarz / 11 /, Ullsmar / 12 /, Wenger / 13 /, iar în SUA de Comitetul Național pentru Aeronaumatică NACA / 7 /.

Toate aceste încercări au urmărit scopul de a cerceta factorii, care permit ridicarea viteză de rotație și reducerea consumului specific de combustibil la motoarele rapide cu sprindere prin comprimare.

În anul 1945 se credea, că dezvoltarea în această direcție a motoarelor cu sprindere prin comprimare este terminată, însă cercetările din ultimii 15 ani au condus la puncte de vedere noi, în legătură cu formarea suestecului și rezultatele cer-

cercetările au fost concretizate prin precedee noi, de exemplu procedurile M-MAN / 14 /, HM / 15 /, FM-MAN / 16 / și D-Deutz / 17 /.

Influența mișcării organizate a aerului asupra formării amestecului și asupra procesului de ardere este tratată în literatură tehnică de specialitate de mulți autori / 18-53 /, care, ca o concluzie generală valabilă, arată că o intensitate redusă sau prea intensă a aerului are un efect nefavorabil asupra formării amestecului și ardării, iar pentru fiecare viteză de rotație a motorului există o viteză optimă pentru intensitățile acestor mișcări.

Pentru a putea influența formarea amestecului și procesul de ardere, prin intermediul mișcării organizate a aerului, este necesară determinarea cantitativă a acestei mișcări, precum și cunoașterea factorilor de influență.

Cercetările s-au axat în principal pe determinarea experimentală a mișcării organizate a aerului cu diferite metode de măsurare.

Măsurările directe ale variației în timp a vitezei periferice a aerului în cilindru unui motor entranță au fost executate deja în anul 1936 de Geiger / 8 /, cu ajutorul unui dispozitiv, care lucrează după principiul presiunii dinamice și ca o traducere mecanico-optică a maximii măsurate. Dezavantajul principal al acestei metode de experimentare este inerția mare a sistemului de măsurare și de traducere.

Urlaub / 54-56 / a folosit același principiu de măsurare, dar a eliminat dezavantajul reducerii mecanico-optice, folosind o traducere mecanico-electronică, cu ajutorul unei membrane, a cărei deformare a fost măsurată pe cale inductivă. Dezavantajele principale ale metodei sunt geberitul relativ mare al transducto-lui / ≈ 6,5 mm / și dificultățile de a stabili direcția curentului. Desemenea etalonarea transducto-lui făcându-se în condiții atmosferice și neglijindu-se influența temperaturilor înalte și a gradientului mare de viteză, care există în cavitatea pistonului, valorile transformate ale măsurătorilor nu sunt destul de exacte. Pe lângă aceste dezavantaje și efectul magnetoelastic asupra transducto-lui a influențat negativ precizia măsurătorilor efectuate.

Ricardo / 6 /, Efros / 21 / și Thon / 57 / au măsurat viteză de rotație a unei moriște fixă de chiajalea unui motor an-

trenat și amplasată astfel, ca la sfârșitul procesului de comprimare să pătrundă în cavitatea pistonului. Metoda de măsurare a vitezei de rotație a anemometrului, utilizat de Thon, are avantajul că este simplă și mai exactă ca metodele esențiale / 6, 21 /, întrucât măsurarea vitezei de rotație a moriștei se face electrică cu ajutorul unui redactor capacitive și anemometrul are un moment de inertie relativ redus, având o masă de cca. 1 g / 5 / . Metoda are însă dezavantajul că anemometrul măsoară numai viteză tangențială medie a aerului.

Metoda de măsurare a vitezei aerului în cadrul de ardere cu ajutorul unui termosanemometru a fost utilizată deja în anul 1931 de Ulsemor / 12 /, și apoi de Wengler / 13 /, iar recent de Horvatin / 58 / și Weidemann Müller / 17 /. Metoda de măsurare îndeplinește toate condițiile care se cer de la un redactor pentru măsurarea vitezelor. Aceste măsurări au fost realizate cu foarte mari dificultăți tehnice, utilizând în loc de aer, monoxid de carbon pentru a putea menține relativ scăzută temperatură redactorului. Din cauza particulelor solide sau lichide firul încălzit al redactorului termosanemometrului a fost frecvent distrus. Dezavantajul principal al metodei se reducă la o serie de dificultăți tehnice în legătură cu etalonarea redactorului în condiții reale. Calculul erorilor efectuate de Weidemann Müller / 59 / arată că precizia de măsurare a vitezei este de cca. 26 %. Un alt dezavantaj al acestei metode este faptul că se măsoară viteză rezultantă compusă din viteză tangențială, radială și axială.

Metoda cu plăsmă folosită de Nagao / 60 / are avantajul că permite vizualizarea mișcării aerului, concomitent cu măsurarea cimpului de viteză. Dezavantajul metodei constă în faptul că necesită o instalație electronică extrem de costisitoare.

Avantajul principal al metodelor de cercetare și experimentare ale organizării mișcării aerului cu ajutorul standardei de încercare staționare, similare cu cele folosite de Kockstein / 61 /, Meurer / 62 /, Wiebicke / 63 /, Zinner / 64 /, Pischinger / 65 /, Fritze George / 47 / și de firma Allen Sons / 66, 67 / constă în acela, că ele sunt simple și necesită un echipaj modest de cercetare, iar dezavantajul principal este faptul că cifrele caracteristice determinante au numai o valabilitate comparativă.

Să menționăm că lucrările lui Urlaub, Thon, Weidemann Müller și Nagao mai sus arătate au fost publicate în cadrul perioadei de

de realizare a acestei teze. Prin acesta se constată actualitatea problemelor cercetărilor de curgere în motoare cu ardere internă în ultimii ani, pe plan mondial.

Dacă în cadrul lucrării de diplomă / 104 / a autorului s-a arătat că există puțin material documentar asupra mișcării organismate a serului în camere de ardere. Din literatură de specialitate mai sus indicată rezultă că nu există o lucrare, care determină și pe cele analitice, cît și experimentală mișcările organizate a serului și influența unor factori de stare, funcționali și constructivi asupra acestei mișcări, în timpul procesului de admisiune și comprimare. Despre structura mișcării organizate a serului în camere de ardere există păreri contradictorii. Conceptia veche, adică tratarea separată a proceselor în organele de admisiune pe de o parte și în configurație formei camerei de ardere pe de altă parte, nu mai corespunde.

Avantajul pe care-l aduce mișcările organizate a serului, este partiel anulat prin procesul de generare al acestei mișcări prin organele de admisiune, care introduce rezistențe de curgere suplimentare, adică pierderi gazodinamice. În consecință spore și problema generării acestei mișcări a serului cu pierderi gazodinamice minime posibile.

Lucrările din literatură de specialitate mai sus enumerate se limitează în special la măsurarea mișcării organizate a serului într-o cameră de ardere, fără a face un studiu sistematic și detaliat asupra factorilor de influență.

Lucrările de față caută să rezolve aceste probleme și să completeze lipsurile indicate. În acest sens în lucrare, permind de la cel idealizat și sfîrșind cu cel real, s-au prevăzut următoarele faze de cercetare:

- Studiul teoretic al organizării mișcării serului în timpul procesului de admisiune și comprimare cu ajutorul unui model idealizat de calcul;

- Cercetarea experimentală prin următoarele metode:
  - a. modelare electrică cu hîrtie electro-conductoare;
  - b. vizualizarea mișcării serului în canale de admisiune;
  - c. cilindrii și camere de ardere;
  - d. vizualizare cu descarcări electrice de tensiune și intensitate foarte înaltă;
  - e. încercări de curgere statonare;
  - f. încercări de curgere cvasistacionare;
  - g. încercări de curgere dinamice.

**Cap.2. ORGANIZAREA MISCARII A SERICII**  
**ORGANIZARE A SERULUI IN CILINDRUL SI CAMERA DE ARDERE A ROTUA-**  
**CERELOR CU VELDURIS INTENSA**

**2.1. Generalități**

Mișcarea aerului în cilindru motoarelor cu spindere prin comprimare, cu camere de ardere unitară / injectie directă / este produsă în perioada procesului de admisiune și poate fi accelerată prin mișcarea pistonului în cadrul procesului de comprimare.

In cadrul procesului de admisiune, cînd se umple cilindrul motorului cu încărcătură proaspătă, se naște în acest cilindru o curgere a gazului. Această curgere este în general turbulentă și dezordonată.

Cu ajutorul unor organe de admisiune / canel de admisiune cu o formă spirală, supapă de admisiune prevăzută cu un ecran etc. / se poate realiza o mișcare de rotație ordonată a aerului în jurul axului cilindrului, denumită mișcarea organizată a aerului, care se menține și în cadrul procesului de comprimare.

Cître sfîrșitul procesului de comprimare prin mișcarea pistonului, aerul sflet în cilindru este refulet în camere de ardere. Prin această refulare are loc o accelerare a mișcării organizate a aerului, emorâtă în cadrul procesului de admisiune.

In vederea caracterizării mișcărilor organizate a aerului în perioada procesului de admisiune, să mărimii acestei mișcări în cadrul procesului de comprimare și să mărimii ei finale la sfîrșitul procesului de comprimare / în cadrul unui ciclu / se definesc următoarele raporte caracteristice:

1. cifre de turbionare momentană a admisiunii,

$$\Omega_{sd} = \frac{\omega_{sd_a}}{\omega_n}$$

/2.1.1/

adică raportul dintre viteza unghiulară momentană a vîrtejului de aer din cilindru în perioada procesului de admisiune, la un anumit unghi / a / de rotație al arborelui cotit și viteza unghiulară a arborelui cotit.

2. Cifre de turbionare a admisiunii

$$\Omega_e = \frac{\omega_{ad}}{\omega_m} \quad /2.2./$$

adică raportul dintre viteza unghiulară a vîrtejului de aer din cilindru la sfîrșitul procesului de admisiune și viteza unghiulară a arborelui cotit.

3. Cifre de turbionare relativă momentană a comprimării

$$\Omega_{co} = \frac{\omega_{ca}}{\omega_{ad}} \quad /2.3./$$

adică raportul dintre viteza unghiulară momentană a vîrtejului de aer din cilindru în perioada procesului de comprimare la un anumit unghi / a / de rotație al arborelui cotit și viteza unghiulară a vîrtejului de aer la sfîrșitul procesului de admisiune.

4. Cifre de turbionare relativă a comprimării

$$\Omega_c = \frac{\omega_c}{\omega_{ad}} \quad /2.4./$$

adică raportul dintre viteza unghiulară a vîrtejului de aer din cilindru la sfîrșitul procesului de comprimare și viteza unghiulară de aer din cilindru la sfîrșitul procesului de admisiune.

5. Cifre de turbionare a ciclului

$$\Omega = \frac{\omega_c}{\omega_m} = \Omega_e \Omega_c \quad /2.5./$$

adică raportul dintre viteza unghiulară a vîrtejului de aer din cilindru la sfîrșitul comprimării și viteza unghiulară a arborelui cotit.

In acest capitol al lucrării se stabilesc expresiile cifrelor caracteristice mișcării organizate a aerului. Ex -

presile deduse au fost astfel determinate încit rezolvarea lor să fie posibilă cu ajutorul calculatoarelor electronice.

## 2.2. Mișcarea organizată a serului în procesul de admisiune

### 2.2.1. Consideratii teorice

Mișcarea de rotație a serului în procesul de admisiune se poate realiza cu ajutorul următoarelor organe de admisiune:

- ✓ - canal de admisiune cu o intrare tangentială / fig. 2.1. /,
- canal de admisiune cu o formă spirală / fig. 2.2. /,
- ✓ - supă de admisiune prevăzută cu un ecran / fig. 2.3. /,
- scaun de supă de admisiune prevăzut cu un ecran / fig. 2.4. /,
- canal de admisiune prevăzut cu o lемă directoare / fig. 2.5. /,
- canal de admisiune prevăzut cu un dispozitiv de direcție / fig. 2.6. /.

Se face un studiu preliminar despre un canal de admisiune cu o intrare tangentială și un cilindru ideal, ca cel din fig. 2.7.

Rotatia serului este produsă de mișcarea pistonului, canalul cu o intrare tangentială fiind inclinat cu un unghi  $\gamma$  față de orizontală. Notând viteza de intrare cu  $w$  se poate constata că valorile lui  $w$  și  $\gamma$  influențează mărimea rotației serului. În această aranjare ideală, viteza de intrare a serului în cilindru se poate descompune într-o componentă tangentială  $w_p = w \cdot \cos \gamma$  și într-o componentă axială  $w_a = w \cdot \sin \gamma$ , această componentă fiind considerată separat în funcție de efectele produse în cilindru.

Dependența mișcării de rotație a serului de un-

ghiul și poate fi arătată, luând în considerare velerile lui extreme, adică  $\gamma = 0$  și  $\gamma = 90^\circ$ . Când  $\gamma = 90^\circ$  nu există o mișcare de rotație, iar cind  $\gamma = 0^\circ$  se va obține o mișcare de rotație maximă. Rezultă că mișcarea de rotație a aerului va fi cu atât mai intensă, cu cât vitezarea vitezei  $v$  este mai mare respectiv unghiul  $\gamma$  mai mic.

Se poate observa că aerul admis în cilindru va primi totdeauna o mișcare de rotație în jurul axului cilindrului, cind suma momentelor cinetice ale tuturor particulelor de aer, care curg prin secțiunea controlată de supapă în raport cu axa cilindrului, este diferită de zero.

In cazul real momentul cinetic al maselor de aer admisă în unitate de timp în raport cu axa cilindrului se compune din momentul cinetic primit în timpul curgerii în canalul de admisiune și din momentul cinetic primit la ieșire din secțiunea controlată de supapă.

$$b = b_c + b_i \quad /2.6./$$

In fig. 2.8. se arată un canal de admisiune în formă de spirală. Considerind o particolă de aer din secțiunea controlată de supapă care intră în cilindru cu viteză  $w$ , stănci această viteză se poate descompune într-o componentă  $w_1$ , aflată în planul orizontal și într-o componentă  $w_2$ , aflată în planul vertical, care trece prin axa longitudinală a supapei de admisiune. La rîndul ei componenta  $w_1$  se poate descompune după direcție radială și tangentială respectiv componente  $w_2$  după direcție radială și axială.

Configurația cimpului de viteză la admisiune din planul orizontal în secțiunea controlată de supapă la un canal în formă spirală este arătată în fig. 2.8. S-a constatat / 57 / că aceste cimpuri de viteză sunt asymetrice și diferă de la caz la caz în funcție de particularitățile constructive ale canelului și cursa de ridicare a supapei de pe scaunul său. Din aceste motive configurația cimpului de viteză se poate determina numai pe cale experimentală.

Cu notările din fig. 2.8. se poate determina masa de aer scursă în intervalul de timp  $dt$  prin secțiunea controlată

de suprafață.

$$dm = \int_{\theta=0}^{\theta=2\pi} \varsigma \cdot r \cdot h \cdot w_r \cdot w_p \cdot d\theta \cdot dt \quad /2.7./$$

Viteza de variație a momentului cinetic al masei de aer din canalul de admisiune față de axa longitudinală a supapei se poate exprima:

$$\frac{db}{dt} = \int_{\theta=0}^{\theta=2\pi} \varsigma \cdot r^2 \cdot h \cdot w_r \cdot w_p \cdot d\theta \quad /2.8./$$

Viteza de variație a momentului cinetic de ieșire al masei de aer față de axa longitudinală a cilindrului este:

$$\frac{db_1}{dt} = \int_{\theta=0}^{\theta=2\pi} H \cdot e \cdot \sin [180 - (\theta + \beta)] \cdot d\theta \quad /2.9./$$

în care  $H$  este componenta normală pe axa supapei a impulsului de ieșire. Exprimând pe  $H$  se obține:

$$\frac{db_1}{dt} = \int_{\theta=0}^{\theta=2\pi} \varsigma \cdot r \cdot h \cdot w_r \cdot w_1 \cdot e \cdot \sin(\theta + \beta) \cdot d\theta \quad /2.10./$$

Stiind că

$$dt = \frac{da}{\alpha} \quad /2.11./$$

și integrând expresiile /2.8./ respectiv /2.10./ se obține suma momentelor cinetice ale fiecărei mase de aer elementare admisă în timpul procesului de admisiune.

$$b = \int_{\theta=0}^{\theta=2\pi} \varsigma \cdot r \cdot h \cdot \frac{w_r}{\alpha} \left[ r \cdot w_p + e \cdot w_1 \cdot \sin(\theta + \beta) \right] d\theta \cdot da \quad /2.12./$$

Neglijând pierderile prin frcarea aerului de peretele cilindrului, se poate aplica principiul de conservare al momentului cinetic. Adică suma momentelor cinetice ale fiecărei mase elementare de aer admisă în timpul procesului de admisiune este egal cu momentul cinetic al întregii mase de aer admisă la sfârșitul procesului de admisiune.

Exprimând momentul cinetic față de axa cilindrului al întregii mase de aer admisă,

$$b_{sd} = \frac{1}{2} \cdot R^2 \cdot \omega_{sd} \int_{\theta=0}^{\theta=2\pi} \zeta \cdot r \cdot h \cdot \frac{w}{R} \cdot d\theta \cdot da$$

/2.13./

și egalind cu expresia /2.12./ și știind că

$$w_r = w_1 \cdot \cos \beta$$

/2.14./

$$w_p = w_1 \cdot \sin \beta$$

/2.15./

se obține viteza unghiulară a aerului la sfîrșitul procesului de admisiune

$$\omega_{sd} = \frac{\int_{\theta=0}^{\theta=2\pi} \zeta \cdot r \cdot h \cdot w_1^2 \cdot [r \cdot \sin \beta + e \cdot \sin(\theta + \beta)] \cos \beta \cdot d\theta \cdot da}{\frac{R^2}{2} \cdot \int_{\theta=0}^{\theta=2\pi} \zeta \cdot r \cdot h \cdot w_1 \cdot \cos \beta \cdot d\theta \cdot da} \quad /2.16./$$

sau raportând această viteză unghiulară la viteza unghiulară a arborelui cavită, cîmp de turbinare a admisiunii

$$\Omega = \frac{\int_{\theta=0}^{\theta=2\pi} \zeta \cdot r \cdot h \cdot w_1^2 \cdot [r \cdot \sin \beta + e \cdot \sin(\theta + \beta)] \cos \beta \cdot d\theta \cdot da}{\frac{R^2}{2} \cdot \int_{\theta=0}^{\theta=2\pi} \zeta \cdot r \cdot h \cdot w_1 \cdot \cos \beta \cdot d\theta \cdot da} \quad /2.17./$$

Expresia /2.17./ se poate rezolva, dacă se cunoște cîmpul de viteze  $w_1$  în secțiunea controlată de supapă în funcție de presiunea din cilindrul motorului și unghiul de rotație al arborelui cavită. Determinarea acestui cîmp de viteze pe cale analitică nu este posibilă, iar experimental este foarte dificilă. Totuși expresia /2.17./, poate servi la explicarea unor influențe asupra mișcării organizate a aerului din cilindrul motorului. Din acest motiv s-a elaborat în continuare o metodă de calcul a mișcării organizate a aerului, bazată pe măsurarea directă a vitezei unghiulare a aerului în cilindru în funcție de presiunea din cilindru și cursa de ridicare a supapei de admisiune de pe secundul său cu

ajutorul unui stend cvasistatician. Avantajul acestei metode de calcul față de măsurătorile dinamice pe motor constă în faptul că, variindu-se un singur parametru și menținându-se celelalte constante, ceea ce experimental este greu realizabil, se pot studia o serie de dependențe. Desemnește pe acestă cale se pot verifica măsurările efectuate.

### 2.2.2. Stabilirea cifrei de turbionare a

#### admisiei

e fac următoarele ipoteze:

1. Energia de rotație a tuturor particulelor de aer intrate în cilindru în timpul procesului de admisiune este egală cu energia de rotație a masei de aer de la sfîrșitul procesului de admisiune.

2. Efectele frecării cu peretei se neglijeză.

3. Aerul în cilindru la sfîrșitul procesului de admisiune se rotește în baza legii corpului cvasisolid.

Schemă pentru calculul cifrei de turbionare a admisiunii se arată în fig. 2.9:

Cunoscind masa și viteza unghiulară a aerului, care intră în fiecare moment în cilindru în timpul procesului de admisiune  $(\omega_A)_a$  și aplicând principiul de conservare a momentului cinetic se obține egalitatea:

$$\frac{k^2}{2} \omega_{ad} \int_{a=a_{dss}}^{a=a_{iss}} dm = \frac{\alpha^2}{2} \int_{a=a_{dss}}^{a=a_{iss}} (\omega_A)_a dm \quad /2.18./$$

din care rezultă, prin împărțirea expresiei cu viteza unghiulară a axelor lui constituit, cifra de turbionare

$$\Omega_s = \frac{\int_{a=a_{dss}}^{a=a_{iss}} \left( \frac{\omega_A}{\omega_a} \right) dm}{\int_{a=a_{dss}}^{a=a_{iss}} dm} \quad /2.19./$$

Deoarece la un canel de admisie, stătarea de aer admisă prin acesta în cilindru, cît și mișcarea organizată a aerului generată de acest canel depinde de presiunea din cilindru, se determină variația presiunii din cilindru cu ajutorul metodiei indicate în / 69 /.

Ecuația diferențială a variației presiunii în cilindru conform / 69 / este, pentru cazul curgerii subcritice, cînd raportul

$$\frac{p_z}{p_0} > \left( \frac{2}{x+1} \right)^{\frac{x}{x-1}}$$

$$\frac{dp_z}{p_z} = \frac{x}{z} \left[ \frac{\mu \sigma \cdot r_e \cdot \sqrt{2R \cdot T_0}}{180 \cdot w_{\infty}} p_0^{\frac{1-x}{2x}} \cdot p_z^{\frac{1}{2x}} \cdot \sqrt{p_0 - p_z} \cdot \left( \frac{p_0}{p_z} \right)^{\frac{x-1}{x}} da - dz \right] \quad / 2.20. /$$

în care  $w_z = \frac{V_z}{V_{\infty}}$

/ 2.21. /

$$V = 0,474$$

$r_e$  - coeficientul de încălzire

iar viteza aerului în secțiunea controlată de supapă

$$w_A = \sqrt{2R \cdot T_0 \cdot p_0} \cdot p_z^{\frac{1-x}{2x}} \cdot p_z^{-\frac{1}{2x}} \cdot \sqrt{p_0 - p_z} \quad / 2.22. /$$

Pentru cazul curgerii supracritice, cînd presiunea din cilindru  $p_z$  scăde sub presiunea critică

$$P_{cr} = p_0 \left( \frac{2}{x+1} \right)^{\frac{x}{x-1}} \quad / 2.23. /$$

iar presiunea în secțiunea cea mai redusă controlată de supapă nu poate scădea sub presiunea critică, nici viteză din această secțiune sub viteză critică

$$w_A = w_e = w_0 \cdot \sqrt{\frac{2}{x+1}} \quad / 2.24. /$$

$$\frac{dp_z}{p_z} = \frac{x}{z} \left[ \frac{\mu \sigma \cdot r_e \cdot \sqrt{2R \cdot T_0}}{180 \cdot w_{\infty}} \cdot p_0 \left( \frac{2}{x+1} \right)^{\frac{1}{x-1}} \sqrt{\frac{x}{x+1}} da - dz \right] \quad / 2.25. /$$

Metodele de rezolvare ale ecuației diferențiale se indică în / 69 /. Cunoscind variație de presiune din cilindru se poate stabili ecuația diferențială a variației nespei de aer admisă prin canalul de admisie.

$$dm_s = S_s \cdot q \cdot w_A \cdot dt \quad /2.26./$$

utilizând / 2.11. / și expresile:

$$S_s = S_0 \left( \frac{P_s}{P_0} \right)^{1/x} \quad /2.27./$$

$$w_A = \frac{S \cdot \pi}{36 \cdot l} \quad /2.28./$$

$$q = \mu \sigma \cdot l \frac{\pi \cdot D^2}{4} \quad /2.29./$$

în care înseamnă

$w_A$  – viteză medie convențională a aerului în secțiunea liberă a secțiunii supapei

$q$  – secțiunea efectivă controlată de supapă

$$l = \frac{d^2}{D^2} \quad /2.30./$$

se obține

$$dm_s = \frac{S_0 \cdot \frac{\pi \cdot D^2}{4} \cdot S \cdot \mu \sigma \cdot w}{180 \cdot w_A} \left( \frac{P_s}{P_0} \right)^{1/x} da \quad /2.31./$$

Cunoscind ecuația diferențială a nespei de aer admisă, înlocuind-o în expresie /2.19./ și simplificând rezultatul rezervorul de turbinare al admisiunii:

$$\Omega_s = \frac{\int_{a=a_{des}}^{a=a_{ies}} \left( \frac{w}{w_A} \right)_a \cdot \mu \sigma \cdot w \cdot \left( \frac{P_s}{P_0} \right)^{1/x} da}{\int_{a=a_{des}}^{a=a_{ies}} \mu \sigma \cdot w \cdot \left( \frac{P_s}{P_0} \right)^{1/x} da} \quad /2.32./$$

Inlocuind în expresie /2.32./ viteză aerului din secțiunea controlată de supapă se obține:

$$\Omega_1 = \frac{\int_{a=a_{\text{des}}}^{a=a_{\text{ies}} \cdot \frac{x}{2x}} \mu \sigma \cdot p_s \cdot \sqrt{p_0 - p_s} \left( \frac{p_s}{p_0} \right)^{1/x} da}{\int_{a=a_{\text{des}}}^{a=a_{\text{ies}} \cdot \frac{x}{2x}} \mu \sigma \cdot p_s \cdot \sqrt{p_0 - p_s} \left( \frac{p_s}{p_0} \right)^{1/x} da}$$

12.33./

pentru cazul cangării supracritice

$$\Omega_1 = \frac{\int_{a=a_{\text{des}}}^{a=a_{\text{ies}}} \mu \sigma da}{\int_{a=a_{\text{des}}}^{a=a_{\text{ies}}} \mu \sigma da}$$

12.34./

Pentru simplificare se notescă factorii constanți și expresiile utilizate ca:

$$k_1 = \sqrt{\frac{2k \cdot T_0}{2k \cdot T_0}} \quad /2.35./$$

$$k_2 = \frac{1}{180 \cdot v_0} \quad /2.36./$$

$$k_3 = v_0 \cdot v_b \sqrt{\frac{2k \cdot T_0}{180 \cdot v_0}} \quad /2.37./$$

$$k_4 = \frac{1}{x+1} \left( \frac{x}{x+1} \right)^{\frac{1}{x-1}} \quad /2.38./$$

$$k_5 = k_2 \cdot k_4 \quad /2.39./$$

$$k_6 = k_3 \cdot k_4 \quad /2.40./$$

În următoarele funcții ca:

$$x_1 = p_0 \cdot p_s \cdot \sqrt{p_0 - p_s} \left( \frac{p_s}{p_0} \right)^{\frac{x-1}{x}} \quad /2.41./$$

$$x_{II} = p_0 \cdot p_s \cdot \sqrt{p_0 - p_s} \quad /2.42./$$

$$x_{III} = p_0 \cdot \frac{\frac{x}{2x}}{p_0} \cdot \left| \frac{p_0}{p_0} \right|^{1/x} \sqrt{p_0 - p_0}$$

12.43./

rezultă pentru cazul cogerii subcritice

$$\frac{dp_s}{p_0} = \frac{x}{2} \left| K_2 \cdot x_I \cdot \tau_0 \cdot \mu \sigma \cdot da - ds \right|$$

12.44./

$$w_A = K_1 \cdot x_{II}$$

12.45./

$$w_s = K_3 \begin{cases} a=a_{iss} \\ a=a_{dss} \end{cases} \left| x_{III} \cdot \mu \sigma \cdot da \right.$$

12.46./

$$n_v = K_2 \begin{cases} a=a_{iss} \\ a=a_{dss} \end{cases} \left| x_{III} \cdot \mu \sigma \cdot da \right.$$

12.47./

$$\Omega_s = \frac{\int_{a=a_{dss}}^{a=a_{iss}} x_{III} \cdot \mu \sigma \left| \frac{w_A}{w_s} \right| \cdot da}{\int_{a=a_{dss}}^{a=a_{iss}} x_{III} \cdot \mu \sigma \cdot da}$$

12.48./

rezultă pentru cazul cogerii supracritice

$$\frac{dp_s}{p_0} = \frac{x}{2} \left| K_5 \frac{p_0}{p_0} \tau_0 \cdot \mu \sigma \cdot da - ds \right|$$

12.49./

$$w_A = K_1 \sqrt{\frac{x}{x+1}}$$

12.50./

$$w_s = K_6 \begin{cases} a=a_{iss} \\ a=a_{dss} \end{cases} \left| \mu \sigma \cdot da \right.$$

12.51./

$$n_v = K_5 \begin{cases} a=a_{iss} \\ a=a_{dss} \end{cases} \left| \mu \sigma \cdot da \right.$$

12.52./

$$\Omega_e = \frac{\int_{a-a}^{a+a} \mu c \cdot \left( \frac{\omega}{\omega_m} \right) dx}{\int_{a-a}^{a+a} \mu c \cdot dx}$$

12.53.1

Prin integrarea grafică / 7c / s-a calculat masă de aer admisă  $m_g$ , coeficientul de umplere  $\eta$  și cifra de turbienare a admisiunii.

### 2.3. Mișcarea organizată a aerului în procesul de comprimare

#### 2.3.1. Considerații generale

La motoarele cu sprindere prin comprimare cu camere de ardere uniteră pistonul posedă o cameră de ardere / cupă /. În acest caz, în procesul de comprimare, există o diferență între viteza de reducere a volumului efect deasupra pragului și a volumului deasupra cupei pistonului. Prin aceasta există o tendință permanentă de egalizare a presiunii în ambele volume, prin expulzarea în direcția centripetă a unei cantități corespunzătoare de aer din spațiul efect deasupra pragului în spațiul de deasupra camerei, rezultând astfel o deplasare permanentă a aerului în curs de comprimare de la periferie cilindrului spre central lui. În prezență unei mișcări organizate, expulzarea aerului din cameră înelată are rolul de a acceleră mișcarea de rotație în jurul unei cilindrelui, cauzată la admisie. Această accelerare este cauzată de mișcarea momentului de inerție masiv al masii de aer comprimat în cameră pistonului, considerind momentul cinetic al masii de aer admis constant în curs de comprimare.

Visualizările și măsurările / cap.4 / efectuate în camere de ardere au arătat, că în linii mari aerul în camere de ardere se rotește în baza legii corpului ovoidoid, iar aerul efect în cameră înslăbat și intersticiul între chiulad și piston se rotește în baza legii unghiului excentric.

In realitate procesele de curgere ale aerului in camera de ardere sunt foarte complicate, din cauze viscozitatii aerului, inertiei aerului, frecarii cu peretii, turbulentei, pierderilor prin neetanșietati etc.

O determinare precisă a mișcării aerului în camera de ardere este imposibilă în cazul de față, adică a unei curgeri turbulente, curbilinie, instantanee.

Scopul care se urmărește în continuare este, de a studia efectele mărimilor principale de influență asupra mișcării aerului în camera de ardere, prin intermediul modelării acestaia.

### 2.3.2. Stabilirea cifrei de turbionare relative

#### a comprimării

Se fac următoarele ipoteze:

1. Energia de rotație a aerului refuzat din spațiul inelar este prelucrată integral de aerul din spațiul deasupra cupei pistonului, ceea ce înseamnă că momentul cinetic al maselor de aer admisă în orice poziție a pistonului va rămâne constant / neglijând forțele de frecare /.

2. Procesele sunt axiale simetrice, fără inertie și pierderi prin neetanșietăți.

3. Aerul în cilindru la sfîrșitul procesului de admiștere se rotește în baza legii corpului cvasisolid.

4. Aerul în camera de ardere în procesul de comprimare se rotește în baza corpului cvasisolid.

Se consideră o cameră de ardere de formă cilindrică. / fig.2.10./ Cu aceste ipoteze de bază se stabilesc relațiile de calcul ale cifrei de turbionare relative a comprimării din camera de ardere, respectiv din camera inelară.

#### 2.3.2.1. Cifra de turbionare relativă a comprimării din camera de ardere

Schemă pentru calculul cifrei de turbionare relative a comprimării din camera de ardere se arată în fig.2.10:

Momentul cinetic al masei de aer la sfîrșitul cursel de admisiune se compune din momentele cinetice ale maseelor de aer aflate în volumul cupei /  $V_c$  /, volumul interstițialui /  $V_o$  / și volumul cilindreei /  $V_s$  /, deci

$$b_s = (J_c + J_o + J_s) \cdot \omega_{ad} \quad /2.54./$$

$J_c, J_o, J_s$  sunt momentele de inertie corespunzătoare maselor de aer din volumele  $V_c, V_o$  și  $V_s$ .

Momentul cinetic al masei de aer în timpul cursel de comprimare este un anumit unghi de rotație al arborelui cotit /  $\alpha$  / se compune din momentele cinetice ale maseelor de aer aflate în volumul deasupra fundului cupei /  $V_{Ma}$  - volumul hașurat vertical în fig. 2.10. / și volumul deasupra umărului inelar /  $V_{Ra}$  - volumul hașurat orizontal în fig. 2.10./, deci

$$b_{ca} = (J_{Ma} + J_{Ra}) \cdot \omega_{ca} \quad /2.55./$$

$J_{Ma}$  și  $J_{Ra}$  sunt momentele de inertie corespunzătoare maseilor de aer din volumele  $V_{Ma}$  și  $V_{Ra}$ .

În virtutea principiului de conservare al momentului cinetic se postează că:

$$J_{Ra} \cdot \omega_{ca} = J_{Re} \cdot \omega_{ad} \quad /2.56./$$

în care  $J_{Re}$  este momentul de inertie al masei de aer din volumul inelar /  $V_{Re}$ , din p.m.e. echivalent volumului inelar  $V_{Ra}$  determinat din egalitatea maseelor de aer din cele două volume.

$$\omega_{Ra} = \omega_{Re} \quad /2.57./$$

Raportul de comprimare momentan pentru un anumit unghi de rotație al arborelui cotit se postează

$$\varepsilon_a = \frac{V_{Ma} + V_{Ra}}{V_{Ma} + V_{Ra}} = \frac{V}{V_s} \quad /2.58./$$

Considerind că în tot timpul comprimării nu există scăpare rezultă egalitatea masei de aer momentană „  $m_a$  ” cu masa de aer din începutul comprimării „  $m$  ”. Exprimând,  $V = 1/\beta_0 \cdot m$  respectiv  $V_s = 1/\beta_a \cdot m$  și introducând aceste relații în relație /2.58./, se obține

$$\varepsilon_a = \frac{\beta_a}{\beta_0} \quad /2.58-a./$$

Din egalitatea maselor /2.57./ se obține volumul inelar, echivalent:

$$V_{Re} = \varepsilon_a \cdot V_{Ra} \quad /2.59./$$

se exprimă volumele rezultă reză echivalentă

$$R_e^2 = R^2 - \varepsilon_a \frac{(R^2 - r^2) \cdot (h_0 + S_a)}{h_0 + S} \quad /2.60./$$

Din fig.2.20 se observă că momentul de inertie al masei de aer din volumul inelar echivalent este:

$$J_{Re} = J_0 + J_s + J_e \quad /2.61./$$

în care  $J_e$  reprezintă momentul de inertie al masei de aer din volumul cilindrului cu reză echivalentă  $R_e$ , adică

$$J_e = \rho_0 \cdot \pi \cdot \frac{R_e^4}{2} \cdot (h_0 + S) \quad /2.62./$$

În virtutea principiului de conservare al momentului cinetic se pot egala expresiile /2.54./ și /2.55./ și înlocuind expresiile /2.56./ și /2.61./ se obține cifre de turbinare momentană a comprimării din camera de ardere pentru un anumit unghi de rotație al arborelui cotit  $\alpha$

$$\Omega_{co} = \frac{J_c + J_e}{J_{Ma}} \quad /2.63./$$

Exprimând

$$J_{Ma} = \rho_a \frac{\pi \cdot r^4}{2} (h_0 + H_0 + S_a) \quad /2.64./$$

$$J_c = \rho_0 \frac{\pi \cdot r^4}{2} h_0 \quad /2.65./$$

$$S_a = S \cdot F_a \quad /2.66./$$

în care:

$$F_a = 1/2 \cdot (1 - \cos \alpha + 1/2 \cdot \lambda \cdot \sin^2 \alpha + 1/8 \cdot \lambda^3 \cdot \sin^4 \alpha) \quad /2.67./$$

și utilizând expresiile /2.58./ și /2.60./ rezultă:

$$\Omega_{co} = \frac{r^4 \cdot h_0 + \left[ R^2 - \varepsilon_a \frac{(R^2 - r^2)(h_0 + S \cdot F_a)}{h_0 + S} \right]^2 (h_0 + S)}{\varepsilon_a \cdot r^4 (h_0 + H_0 + S \cdot F_a)} \quad /2.68./$$

Introducind următoarele mărimi relative:

$$\beta = \frac{r}{R} \quad \text{rasă relativă a camerei de ardere} \quad /2.69./$$

$$\delta = \frac{h_o}{S} \quad \text{înălțimea relativă a camerei de ardere} \quad /2.70./$$

$$\varepsilon_0 = \frac{V_o}{V_s} = \frac{H_o}{S} \quad \text{volumul relativ al interstițiului} \quad /2.71./$$

$$\varepsilon_M = \frac{V_o}{V_s} = \frac{r^2 \cdot h_o}{R \cdot S} = \beta^2 \cdot \delta \quad \text{volumul relativ al camerei de ardere} \quad /2.72./$$

și știind că

$$\varepsilon = 1 + \frac{1}{\varepsilon_0 + \varepsilon_M} \quad /2.73./$$

$$\varepsilon_a = \frac{1 + \varepsilon_0 + \varepsilon_M}{\varepsilon_M + \varepsilon_0 + F_a} \quad /2.74./$$

rezultă după unele transformări algebrice:

$$\Omega_{co} = \frac{\beta^2 \cdot \varepsilon_M + \left[ (1 + \varepsilon_0)^2 - (1 + \varepsilon_0)(1 - \beta^2) \left( \frac{\varepsilon}{\varepsilon - 1} - \varepsilon_M \cdot \varepsilon_a \right) \right]^2}{\beta^4 \frac{\varepsilon}{\varepsilon - 1} + \beta^2 (1 - \beta^2) \varepsilon_M \cdot \varepsilon_a} \quad /2.75./$$

Se constată că cifra de turbionare relativă momentană a comprimării este dependent de mărimile relative  $\beta$ ,  $\varepsilon_0$ ,  $\varepsilon_M$ ,  $\varepsilon_a$ .

Cifra de turbionare relativă a comprimării se obține prin egalarea lui  $\varepsilon_a$  cu  $\varepsilon$ . Executând aceasta în expresia /2.75./ rezultă:

$$\Omega_c = \frac{\beta^2 \cdot \varepsilon_M + \left[ (1 + \varepsilon_0)^2 - (1 + \varepsilon_0)(1 - \beta^2) \varepsilon \varepsilon_0 \right]^2}{\beta^2 \left[ \frac{\varepsilon}{\varepsilon - 1} - (1 - \beta^2) \varepsilon \varepsilon_0 \right]} \quad /2.76./$$

### 2.3.2.2. Cifra de turbionare relativă a comprimării din camera înclinară a interstițiului

Schema pentru calculul cifrei de turbionare relativă a comprimării din camera înclinară se arată în fig. 2.10.

Notind raza curentă /care variază între  $r$  și  $R$ /, a camerei inelare / $V_{Rn}$ / la un anumit unghi de rotație a arborelui cotit / $\alpha$ / cu  $R_{na}$  se poate calcula raza curentă echivalentă  $R_{nea}$  al camerei inelare / $V_{Rne}$ / din p.m.e.

Utilizând expresia /2.58./ se poate scrie

$$V_{R_{nea}} = \varepsilon_a \cdot V_{R_{na}} \quad /2.77./$$

de unde raza echivalentă este:

$$R_{nea}^2 = R^2 - \varepsilon_a^2 \frac{(R^2 - R_{na}^2)(H_0 + S_a)}{H_0 + S} \quad /2.78./$$

În virtutea principiului de conservare al momentului kinetic se poate stabili că

$$J_{R_{na}} \cdot \omega_{R_{na}} = J_{R_{ne}} \cdot \omega_{sd} \quad /2.79./$$

știind că

$$J_{R_{na}} = J_{R_{ne}} \quad /2.80./$$

rezultă din /2.79./

$$(R^2 + R_{na}^2) \cdot \omega_{R_{na}} = (R^2 + R_{ne}^2) \cdot \omega_{sd} \quad /2.81./$$

$$\text{pentru } R_{na} = R \text{ și } \omega_{R_{na}} = R = \omega_{sd} \quad /2.82./$$

se obține

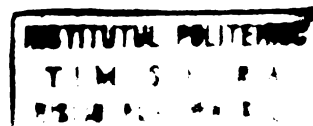
$$\frac{\omega_{R_{na}}}{\omega_{sd}} = \frac{R_{nea}^2}{R_n^2} \quad /2.83./$$

Notind rază relativă curentă cu

$$\beta_n = \frac{R_n}{R} \quad /2.84./$$

și utilizând mărimele relative  $\varepsilon_o$  și  $\varepsilon_M$  în expresia /2.78./, care se introduce în /2.83./, precum și executând unele transformări algebrice se obține cifre de turbinare relativă în timpul comprimării din camera inelară și intersticiului /între chiulă și capul pistonului/.

$$(\Omega_\infty)_{R_n} = \frac{\omega_{R_{na}}}{\omega_{sd}} = 1 + \varepsilon_M \frac{\varepsilon_a - 1}{\varepsilon_o + 1} \left( \frac{1}{\beta_n^2} - 1 \right) \quad /2.85./$$



Cifra de turbionare relativă a comprimării din camere inelare se obține prin egalaarea lui  $\varepsilon_a$  cu  $\varepsilon$ , adică

$$(\Omega_c)_{R_n} = 1 + \varepsilon_M \frac{\varepsilon - 1}{\varepsilon_0 + 1} \left( \frac{1}{r_n^2} - 1 \right)$$

/2.86./

### 2.3.3. Cifrele relative de turbionare ale comprimării pentru diferite forme de camere de ardere

Aplicând principiul de conservare al momentului cinetic și procedind la calculele cifrelor de turbionare relative ale comprimării acestenător ca în cazul camerei de ardere cilindrice / cap. 2.3.2.1. / se obțin expresiile redate tabular în tablă 2.1.

Formă camerei	Formă camerei $\frac{R_n}{H_0}$	$\Omega_{c0} \cdot \frac{\omega_c}{\omega_{ad}}$	$\Omega_c \cdot \frac{\omega_c}{\omega_{ad}}$
	Camere de ardere eliptice $\sqrt{1 + \frac{4}{3} \left( \frac{R_n}{H_0} \right)^2} \left( \frac{R_n}{H_0} + S F_n \right)$	$\frac{1}{2} \frac{1520r^2 \cdot H_0 \cdot 3H_0 \cdot 15r^2 \cdot (H_0 + S)}{420r^2 \cdot (5r^2 + 3H_0) \cdot 15r^2 \cdot (H_0 + S F_n)} \left[ 1 - \frac{(1 - \frac{r^2}{R_n})}{H_0 + S} \right]^2$ (2.87)	$\frac{1}{2} \frac{H_0^2 (20r^2 - 15r^2 + 3H_0^2) \cdot 15r^2 \cdot (H_0 + S)}{A^2 (20r^2 - 15r^2 + 3H_0^2) \cdot 15r^2 \cdot H_0} \left[ 1 - \frac{(1 - \frac{r^2}{R_n})}{H_0 + S} \right]^2$ (2.88)
	Camere de ardere hiperbolice $\sqrt{1 + \frac{4}{3} \left( \frac{R_n}{H_0} \right)^2} \left( \frac{R_n}{H_0} + S F_n \right)$	$\frac{1}{2} \frac{2200r^2 \cdot r^2 \cdot (H_0 + S)}{2200r^2 \cdot r^2 \cdot (H_0 + S F_n)} \left[ 1 - \frac{(1 - \frac{r^2}{R_n})}{H_0 + S} \right]^2$ (2.89)	$\frac{1}{2} \frac{2200r^2 \cdot r^2 \cdot (H_0 + S)}{2200r^2 \cdot r^2 \cdot H_0} \left[ 1 - \frac{(1 - \frac{r^2}{R_n})}{H_0 + S} \right]^2$ (2.90)
	Camere de ardere hiperbolice cu un nod $\sqrt{1 + \frac{4}{3} \left( \frac{R_n}{H_0} \right)^2} \left( \frac{R_n}{H_0} + S F_n \right)$	$\frac{1}{2} \frac{2200r^2 \cdot r^2 \cdot (H_0 + S) \cdot 2r^2 \cdot 20^2 \cdot (H_0 + S F_n)}{2200r^2 \cdot r^2 \cdot (4r^2 + 3r^2) \cdot 2r^2 \cdot 20^2 \cdot H_0} \left[ 1 - \frac{(1 - \frac{r^2}{R_n})}{H_0 + S} \right]^2$ (2.91)	$\frac{1}{2} \frac{2200r^2 \cdot r^2 \cdot 20^2 \cdot (H_0 + S) \cdot 2r^2 \cdot 20^2 \cdot H_0}{2200r^2 \cdot r^2 \cdot 20^2 \cdot H_0} \left[ 1 - \frac{(1 - \frac{r^2}{R_n})}{H_0 + S} \right]^2$ (2.92)
	Camere de ardere hiperbolice cu două nodule $\sqrt{1 + \frac{4}{3} \left( \frac{R_n}{H_0} \right)^2} \left( \frac{R_n}{H_0} + S F_n \right)$	$\frac{1}{2} \frac{2200r^2 \cdot r^2 \cdot (H_0 + S) \cdot 20^2 \cdot (H_0 + S F_n)}{2200r^2 \cdot r^2 \cdot 20^2 \cdot H_0} \left[ 1 - \frac{(1 - \frac{r^2}{R_n})}{H_0 + S} \right]^2$ (2.93)	$\frac{1}{2} \frac{2200r^2 \cdot r^2 \cdot 20^2 \cdot (H_0 + S) \cdot 20^2 \cdot H_0}{2200r^2 \cdot r^2 \cdot 20^2 \cdot H_0} \left[ 1 - \frac{(1 - \frac{r^2}{R_n})}{H_0 + S} \right]^2$ (2.94)
	Camere de ardere hiperbolice cu trei nodule $\sqrt{1 + \frac{4}{3} \left( \frac{R_n}{H_0} \right)^2} \left( \frac{R_n}{H_0} + S F_n \right)$	$\frac{1}{2} \frac{2200r^2 \cdot r^2 \cdot (H_0 + S) \cdot 20^2 \cdot (H_0 + S F_n)}{2200r^2 \cdot r^2 \cdot 20^2 \cdot H_0} \left[ 1 - \frac{(1 - \frac{r^2}{R_n})}{H_0 + S} \right]^2$ (2.95)	$\frac{1}{2} \frac{2200r^2 \cdot r^2 \cdot 20^2 \cdot (H_0 + S) \cdot 20^2 \cdot H_0}{2200r^2 \cdot r^2 \cdot 20^2 \cdot H_0} \left[ 1 - \frac{(1 - \frac{r^2}{R_n})}{H_0 + S} \right]^2$ (2.96)
	Camere de ardere parabolice cu un nod $\sqrt{1 + \frac{4}{3} \left( \frac{R_n}{H_0} \right)^2} \left( \frac{R_n}{H_0} + S F_n \right)$	$\frac{1}{2} \frac{10580r^2 \cdot r^2 \cdot (H_0 + S) \cdot R^2 \cdot (1 - \frac{r^2}{R_n})}{10580r^2 \cdot r^2 \cdot H_0 \cdot R^2} \left[ 1 - \frac{(1 - \frac{r^2}{R_n})}{H_0 + S} \right]^2$ (2.97)	$\frac{1}{2} \frac{10580 \cdot \frac{1}{2} (H_0 + S) \cdot R^2 \cdot (1 - \frac{r^2}{R_n})}{10580 \cdot \frac{1}{2} \cdot H_0 \cdot R^2} \left[ 1 - \frac{(1 - \frac{r^2}{R_n})}{H_0 + S} \right]^2$ (2.98)
	Camere de ardere parabolice cu două nodule $\sqrt{1 + \frac{4}{3} \left( \frac{R_n}{H_0} \right)^2} \left( \frac{R_n}{H_0} + S F_n \right)$	$\frac{1}{2} \frac{10580r^2 \cdot r^2 \cdot 10^2 \cdot (H_0 + S) \cdot R^2 \cdot (1 - \frac{r^2}{R_n})}{10580r^2 \cdot r^2 \cdot H_0 \cdot R^2} \left[ 1 - \frac{(1 - \frac{r^2}{R_n})}{H_0 + S} \right]^2$ (2.99)	$\frac{1}{2} \frac{10580 \cdot 10^2 \cdot (H_0 + S) \cdot R^2 \cdot (1 - \frac{r^2}{R_n})}{10580 \cdot 10^2 \cdot H_0 \cdot R^2} \left[ 1 - \frac{(1 - \frac{r^2}{R_n})}{H_0 + S} \right]^2$ (2.100)

## 2.4. Concluzii

Cu ajutorul relațiilor de calcul stabilite în acest capitol s-a determinat influența unor factori constructivi, funcționali și de stare asupra mărimilor caracteristice ale mișcării organizate a aerului de admisiune / cifra de turbinare, masă de aer admisă, viteză aerului în secțiunee controlată de supapă, coeficientul de umplere, variație presiunii în cilindru /, atât pentru perioada admisiunii, cât și pentru cea de comprimare .

Acești factori de influență sunt:

- la admisiune;
  1. coeficientul de umplere / fig. 5.5.11. /;
  2. curbe de variație a debitului maxim / fig. 5.5.12. /;
  3. poziția maximului a curbei de variație a debitului maxim / fig. 5.5.13. /;
  4. presiunea inițială / fig. 5.5.14. /;
  5. temperatură inițială / fig. 5.5.15.-fig. 5.5.19. /;
  6. viteză de rotație a arborelui rotit / fig. 5.5.20.-fig. 5.5.25. /;
- sarcina;
- 8. coeficientul de încălzire / fig. 5.5.26. și fig. 5.5.28. /;
- 9. legea de deschidere a supapei / fig. 5.5.27. și fig. 5.5.28- fig. 5.5.35. /;
- raportul de comprimare / fig. 5.5.36. și fig. 5.5.38. /;
- supapa ecranată / fig. 5.5.18. /;
- la comprimare;
  1. viteză de rotație a arborelui rotit / fig. 5.6.7.b și fig. 5.6.18. /;
  2. volumul intersticiului / fig. 5.6.6.a, fig. 5.6.7.b și fig. 5.6.8.A,B,D. /;
  3. raportul de comprimare / fig. 5.6.8.C,D și fig. 5.6.18. /;
  4. diametrul relativ al comerei de ardere / fig. 5.6.14. și fig. 5.6.15. /;
  5. cursa relativă a pistonului / fig. 5.6.16. /;
  6. arhitectura comerei de ardere / fig. 5.6.19. /.

Influența acestor factori este tratată mai amănuntit în capitolul 5 al prezentei lucrări.

**Cap. 3. INSTALATII DE INCERCARE, APARATURA POLOCITA  
SI METODICA CERCETARILOR EXPERIMENTALE**

**3.1. Modelarea electrică cu hirtie electro-conductoare  
a curgerii gazodinamice prin canalul de admisiune**

**3.1.1. Generalități**

Dacă curgerea aerului prin canalul de admisiune și în jurul supapei de admisiune este o curgere cu pierderi gazodinamice, totuși analizarea acestei curgeri idealizate, adică a unei curgeri potențiale este foarte utilă, deoarece ea permite depistarea și eliminarea în ceea ce există a unei pierderi, care sunt cauzate de zonile de desprindere ale curentului de aer.

Cimpul electric într-un mediu conductibil și cimpul potențial al unui fluid ideal incompresibil se definesc prin ecuații anume, care derivă din ecuația lui Laplace. Expresile anumite ale ecuației pentru cele două cimpuri se arată în tabel 3.1.

Tabel 3.1.

Cimp electric al curentului într-un mediu conductibil	Cimp potențial fluidului într-un mediu incompresibil
$E$	$\phi$
$\vec{J}$	$\vec{V}$
$d\vec{J}/d\vec{r}$	$\vec{V}^2$
$\nabla \times \vec{E} = 0$	$\nabla^2 \phi = 0$
$\rho$ — densitate electrică	$\rho$ — densitate fluid
$E$ — tensiune electrică	$\phi$ — potențial electric
$J_x$ — intensitate electrică	$V_x$ — intensitate fluid
$\rho J_x$	$\rho V_x$
$\sigma$ — sursă	$\sigma$ — sursă
$\tau$ — timp	$\tau$ — timp
$\alpha$ — curenț de apăzură	$\alpha$ — curenț de apăzură

Din această tabelă rezultă, posibilitatea modelării cimpului potențial al unui fluid ideal, prin cimpul electric al unui mediu conductibil.

- Se cunosc două procedee de modelare electrică:
- modelare electrică umedă / cu vasul electrolitic /,
  - modelare electrică uscată.
- In fig. 3.1.1. se arată curgere fluidului printr-un canal.

cu trei linii de curent  $L_1, L_2$  și  $L_3$ . Linia mijlocie imparte curentul de fluid în două părți egale. Fig. 3.1.1.b prezintă un vas din stíplex, umplut cu un electrolit, în care se află două plăci din tablă, care reproduc peretii canalului din fig. 3.1.1.a. Pe peretii din tablă se aplică o diferență de potențial de 9 volti. Linia de potențial  $U=4,5$  vlti - constant este conform celor arătate mai sus identică cu linia de curent  $L_2$  a curgerii fluidului. După propunerile lui L. Melavard / 71 / se poate înlocui suprafața electrolitului cu hirtie electro-conductoare / fig. 3.1.1.c./, obținându-se cîmpuri plane. O secțiune prin această hirtie se arată în fig. 3.1.2.

La modelarea electrică cu hirtie electro-conductoare din cauza dualității cîmpurilor plane, arătate în tabelle 3.1.2. se cunosc pentru cîmpurile aerodinamice două modele electrice și anume sistemul de analogie A și B. Linile echipotențiale din primul sistem / A / corespund cu liniile de curent din al doilea / B / și viceversa.

Tabelă 3.1.2.

Sistem A	Sistem B
tensiunea $u_A$	curent $i_B$
curent $i_A$	tensiunea $u_B$
coordonata $x$	coordonata $y$
coordonata $y$	coordonata $x$
conductibilitatea unui strat în direcția $xy$ , $f_s$	rezistența specifică unei fâni în direcția $xy$ ; $\beta \cdot f_s$
admitanța $g \cdot f_s$	rezistență $R \cdot \frac{1}{g}$

Pentru înregistrarea unei liniilor de curent din sistemul de analogie A se aleg astfel rezistențele electrice  $R_1$  și  $R_2$  / fig. 3.1.3. / ca ele să se comporte ca și debitile  $G_1$  și  $G_2$  din ștînga respectiv din dreapta liniei de curent. Cu ajutorul senzorului „S” se palpează hirtie electro-conductoare. Toate punctele pentru care ampermetrul „A” nu indică un curent electric, sunt puncte ale liniei de curent căutate. Viteza se măsoară cu o sondă dublă „SD” / fig. 3.1.4. /. Sonda dublă se aşeză astfel pe hirtie electro-conductoare, ca linia de legătură a celor două virfură să fie perpendiculară pe linia de curent. Tensiunea „U” între virfură este proporțională cu vîteza din punctul mijlociu al distanței virfurilor.

Prin sistemul de analogie B se obțin liniile de egală

presiune, adică izobarele, care se înregistrează în mod identic ca le liniiile de curenț din sistemul de analogie A. Cunoscând izobarele se pot calcula sau se pot construi grafic / 72 / liniiile de curenț, iar viteză din diferite puncte se poate calcula ca ecuație debitului.

Schemele electrice pentru sistemele de analogie A și B se arată în ~~fig. 3.1.5.~~

Electrezii pot fi din cupru care se lipesc / 73 / sau se prezescă / 74 / pe hirtie electro-conductoare.

### 3.1.2. Instalația de încrecare și operătura folositoare

Instalația de încrecare se arată în ~~fig. 3.1.6.~~ și se compune dintr-un model de hirtie electro-conductoare, o sondă de măsurare a linilor echipotențiale, o sondă de măsurare a vitezelor, o punte Wheatstone cu un amplificator transistorizat un galvanometru cu spot luminos și o sursă de curenț continuu. Schema electrică a instalației de încrecare se arată în ~~fig. 3.1.7.~~

### 3.1.3. Metode de cercetările experimentale

Aprecierea calității curgerii prin metoda modelării electrice se face prin analizarea repartiției vitezelor de-a lungul secțiunii transversale a curentului și de-a lungul linilor de curenț. Alura linilor de viteză, în interesul unei curgeri cu desprinderi minime, trebuie să fie cât mai uniform crescătoare și descreșcătoare. În locurile unde se locuiesc burușoare mărimii viteză există totdeauna perioade de desprinderi a curentului.

Cu metoda de modelare electrică a curentilor de surse se obțin rezultate cantitative, ca de exemplu corespunzător coeficientului de debit, ci numai rezultate calitative. Se pot obține însă și rezultate cantitative, dacă se stabilește pe calea experimentală valoile vitezelor în puncte convenabil alese.

### 3.2. Instalații pentru vizualizarea mișcării serului în canalul de admisiune și cilindru și metodele încercărilor experimentale

#### 3.2.1. Standuri de probă

Vizualizarea mișcării serului în canalul de admisiune s-a executat cu ajutorul standului staționar, care se descrie în cap. 3.3.

Pentru unele metode de vizualizare executate în canalul de admisiune s-a folosit modelul de canal de admisiune ca unul executat din ipsos și secționat după axe de simetrie, așa cum se poate observa în fig. 3.2.1.

Suprafața rezultată prin secționare este acoperită etens cu o placă din plexiglas. Prin această placă s-a observat și s-a fotografiat mișcarea serului.

Vizualizarea mișcării serului în cadrul de ardere s-a executat pe modelul dinamic / motor monocilindric /, care se descrie în cap. 3.5.

#### 3.2.2. Metode de vizualizare / 196 /

##### 3.2.2.1. Metode de vizualizare folosite la canalul de admisiune

În literatura tehnică de specialitate / 75 / și / 76 / sunt descrise mai multe metode pentru vizualizarea mișcării serului.

În cercetările executate cu modelul secționat din ipsos și cu modelul din aluminiu al canalului de admisiune al motorului de tractor D-103 s-au folosit următoarele metode de vizualizare / parțial originale, parțial combinate, adoptate după cele descrise în literatură de specialitate /:

###### 3.2.2.1.1. Metoda cu naftalină / 76 /

Pe peretii canalului de admisiune s-a aplicat prin strepire uniformă o soluție saturată a naftalinei în benzina. După

evaporarea benzinei rămâne un strat alb și uniform de naftalină, care săbă acțiunea curentului de aer se evaporează mai rapid în domeniul turbulent, rămânind un strat alb în domeniul laminar, după cum se poate observa din fig. 3.2.2.

#### 3.2.2.1.2. Metoda cu un smestec de motorină, ulei și fumingine / 77 /

Pe peretii canalului de admisiune s-a stropit un smestec de motorină cu ulei și fumingine. Particolele de fumingine, fiind antrenate de curentul de aer, trasează liniile de curgere ale acestui curent.

#### 3.2.2.1.3. Metoda cu nicotină

Sunt introduse în curentul de aer une sau mai multe țigări de foi sprinse. Nicotina din fumul antrenat de curentul de aer se depune în zonele zone, unde curentul se desprinde de peretii canalului din cauză întoarcerii curentului. Rezultatele obținute pot fi urmărite în fig. 3.2.2.3.

#### 3.2.2.1.4. Metoda cu hirtie osalid și vaporii de amoniac / 78 /

Pe peretii canalului de admisiune s-a aplicat prin lipire hirtie osalid. În curentul de aer se introduce cu ajutorul unor ajutăjii vaporii de amoniac, care antrenătă de curentul de aer, intră în reacție cu substanțele chimice ale hirtiei osalid. Astfel apar liniile de curgere în sfârșit locurilor de desprindere unde nu sunt locuri chimice / fig. 3.2.2.4.

#### 3.2.2.1.5. Metoda depunerii de praf

Pe peretii canalului de admisiune s-a aplicat prin stropire uniformă o soluție de motorină și ulei. Prin injecțoare de praf de oxid de magneziu respectiv praf de cărbune animalic în curentul de aer s-a realizat un smestec uniform de praf și aer. Această praf antrenat de curentul de aer trasează

linile de curenț și se depune în zonele în care nu loc desprinderi, după cum se poate observa din ~~fig. 3.2.4.9. b. 1.2~~.

### 3.2.2.2. Metode de vizualizare folosite la cilindru motorului

La aceste încercări s-a utilizat modelul din stipler al cilindrului motorului Diesel D-103, montat pe standul statio-

nar.

#### 3.2.2.2.1. Metoda cu praf de aluminiu / 79 /

S-a introdus în canelul de admisiune și anumită cantitate de praf de aluminiu. Praful de aluminiu antrenat de curențul de aer din interiorul cilindrului s-a permis vizualizarea mișcării de rotație a serului după cum se poate observa în ~~fig. 3.2.5.~~

#### 3.2.2.2.2. Metoda cu oxid de magneziu / 80 / sau cu fulgi de metaldhidă / 81 /

ACESTE DOUĂ METODE SINT IDENTICE CU CELE DESCRISE MAI ÎNAINTE.

#### 3.2.2.2.3. Metoda de depunere de praf / 106 /

In scopul de a face vizibil linile de curgere ale serului la periferia cilindrului, s-a înbrăcat periferia intregioră a cilindrului cu o folie din masă plastică, unsă cu ulei fin. Praful antrenat de curențul de aer din interiorul cilindrului s-a depus pe stratul de ulei după cum se vede în ~~fig. 3.2.6.~~

### 3.2.2.3. Metoda de vizualizare folosită la camere de ardere

Încercarea această a fost executată cu ajutorul modelului dinamic. Pe peretii camerei de ardere și pe capul pistonului s-a aplicat un amestec de motorină, molibdendisulfit, litiu, unsure, vopsea roșie de smilină și praf de aluminiu / ~~fig. 3.2.7.~~ /.

După rezonanța chiulesei s-a accelerat modelul dinamic la o viteză de rotație de  $n = 1900$  rot/min, funcționând ocazional 15 s după care s-a fost oprit. Visualizările obținute cu această metodă din camera de ardere amplasată în piston, respectiv în chiulească sunt arătate în fig. 3.2.8.

**3.2.3. Instalație pentru visualizarea mișcării serului prin descărcări electrice de frecvență și tensiune foarte înaltă / 110 /**

Visualizarea unui cimp de curgere prin descărcări electrice s-a realizat pentru prima oară de Townsend / 82 /, Schekl / 83 /, Krugel / 84 / și Vogel / 85 / cu întânatățit substanțial această metodă, folosind o aparatură modernă electronică și executând măsurători cantitative la curgeri suprarezitive și subcritice.

Metoda se bazează pe următorul principiu: o primă descărcare electrică dintre doi electrozi produce o scintărie. Pe traiectoria scintei apare o vînă de plasma care este captată și suținută de curentul de ser. Vîna de plasma are o rezistență electrică mai mică decât traseul inițial al scintei dintre doi electrozi. Dacă se alege frecvențe impulsurilor de tensiune înaltă astfel, încât durata lor să fie mai mică decât durata de deionizare a serului, atunci descărcarea electrică nu se mai produce pe traseul cel mai scurt dintre doi electrozi, ci are loc prin serul ionizat, adică vîna de plasma va lucea periodic, ca cum se poate observa în fig. 3.2.9. Cunoscând timpul dintre două scinte și spațiul din imagini fotografice, se poate determina viteza serului.

În fig. 3.2.10. se arată schema electronică pentru scinte scurte realizate în cadrul lucrării.

Visualizările în conductoare de admisioane s-au efectuat numai în zona secumului. În acest scop s-au executat din secumul zonă mai multe modele din stiplex, care reproduc numai o parte din suprafață și secumul ei. Visualizările efectuate în secumul număără a secumului, la diferite vîze de curgere se arată în fotografiiile din fig. 3.2.11.

### 3.3. Stand stationar pentru determinarea cifrelor caracteristice ale canalelor de admisiune și metode cercetărilor experimentale

Acum stand a fost proiectat și realizat în cadrul lucrării de diplomă nr. 501 - 1966 / 104 /.

Schemă instalației de incercare este arătată în fig. 3.3.1. și în fotografie / fig. 3.3.2. / reprezentă instalația de admisiune. Instalația se compune din următoarele componente principale:

- o instalație de admisiune, compusă dintr-un canal de admisiune /1/ și executată din mai multe secțiuni, dintr-un dispozitiv cu comparitor /2/ pentru acționarea și indicarea poziției supapei de admisiune originale a motorului D-le3 și dintr-o piesă de legătură cu cilindrul instalației, în care se găsește și sezonul supapei de admisiune;
- un model de cilindru /3/ executat din stiplax;
- un dispozitiv de măsurat viteză de rotație a surubului de admisiune, amplasat în partea inferioară a cilindrului și compus dintr-un anemometru /4/ și un contor de ture /5/;
- o instalație de alimentare cu aer, compusă dintr-un rezervor de linătire /6/, o conductă principală /7/ cu un dispozitiv de măsurare al debitului de aer fig. 3.3.4. și o pompă de vid cu inel de spă / tip BH-3 /, acționată de un motor electric de 7 kW /8/.

Instalație de încercare funcționează în felul următor: Aerul este aspirat în canalul de admisiune /1/, cilindrul /3/, rezervorul de linătire /6/ și în conductă principală /7/ prin intermediul pompei de vid /8/. Un orificiu de reglare /9/ înaintea pompei permite reglarea diferitelor debitelor. Deschiderile supapei de admisiune se pot regla respectiv măsurarea continuă cu ajutorul dispozitivului cu comparitor /2/. Viteză de rotație a anemometrului /4/ se măsoară cu ajutorul contorului de ture de rotații /5/.

Pierderile gazodinamice sunt într-un domeniu larg independente de viteza de cădere /32/. De aceea s-a ales astfel debitul de aer la sfârșitul de probă, încât viteză surubului în secțiunile controlate de supă să fie aproximativ egală cu viteza medie a surubului la funcționarea motorului. S-a menținut constantă

presiunea din rezervorul de limitare, prin intermediul piezometrului amplasat pe rezervor. Cunoscind această presiune se poate determina valoarea teoretică a debitului masic de aer scurs, supapa de admisiune fiind demontată

$$G_t = \rho F_V \sqrt{2 \frac{\Delta p}{\gamma_m}} \quad /3.1./$$

în care  $F_V$  = suprafață liberă a secumului / supapa de admisiune fiind demontată /,

$\rho$  = densitatea aerului admis în cilindru,

$\gamma_m$  = densitatea medie a aerului de la intrarea în canel și de la intrarea în cilindru.

Reportul între debitul masic real al aerului măsurat cu diafragmă și debitul masic teoretic corespunde cu produsul coeficientului de debit  $\mu$  și de opturare  $\sigma$ .

$$\mu\sigma = G_x/G_t \quad /3.2./$$

Comparativ cantitativă relativă a unor construcții de canale din punct de vedere al pierderilor hidrodinamice, având diferite diametre „d” pentru secumul supapei de admisiune, se poate efectua cel mai ușor cu ajutorul curbelor  $\mu\sigma$ , traseate în funcție de cursă relativă a supapei de admisiune  $h/d$ .

Se pot deduce și alte cifre caracteristice, care reprezintă mărimi comparative pentru coeficientul de umplere și secumul de energie la schimbarea încărcăturii / 86 /.

Stiind că o cîfră caracteristică importantă pentru determinarea secțiunii active de curgere a unui motor este viteză medie a gazului  $v_m = \frac{S \cdot n}{D \cdot \beta}$  / viteză pe care ar avea-o un mediu incompresibil prin secțiunea liberă de curgere corespunzătoare diametrului interior al secumului supapei, pistonul cilindrului deplasindu-se cu viteză medie  $c_m = \frac{S \cdot n}{D}$  /, se poate deduce cifra caracteristică definită în felul următor:

Dacă în locul secțiunii libere a secumului supapei de admisiune se admete o secțiune activă constantă, care reprezintă integrala secțiunii active reale între cele două puncte morte,

adică  $(\mu\sigma)_m^* = \frac{1}{\pi} \int_{a-a_pmi}^{a+a_pme} \mu\sigma \, da \quad /3.3./$

se obține viteză medie

$$\bar{w}_m = \frac{\bar{w}_m}{(\mu\sigma)_m}$$

/3.4./

O altă viteză medie a gazului și suntește:

$$\bar{w}_m = \frac{\bar{w}_m}{(\mu\sigma)_m}$$

/3.5./

se obține, dacă se admite aceeași pierdere medie de presiune  $\Delta p_m$ , limitarea procesului de schimb de gaze la cele două puncte noapte și ipoteza unor medii incompresibile

$$\Delta p_m = 1/2 \cdot \bar{w}_m^2 = 1/V_S \cdot \int_{V=0}^{V=V_S} 1/2 \cdot \rho \cdot w^2 \cdot dV$$

/3.6./

w este viteză serului prin secțiunee activă controlată de suprafață /q/ corespunzătoare vitezei momentane a pistonului /c/

$$w = c \cdot \frac{\pi \cdot D^2}{4 \cdot q}$$

/3.7./

sesu exprimând pe c și q și subtituind în /3.7./ rezultă:

$$w = \frac{\pi \cdot D \cdot S}{36 \cdot \rho} \cdot \frac{df(a)}{da}$$

/3.8./

Inlocuind această expresie în /3.6./ și exprimând dV se obține

$$\bar{w}_m = \frac{S \cdot \pi \cdot n}{\ell \cdot \rho} \sqrt{\int_{a=0}^{a=\infty} \frac{1}{\mu \sigma^2} \cdot \left( \frac{df(a)}{da} \right)^3}$$

/3.9./

sesu utilizând expresia /3.5./

$$(\bar{w}_m)_{\bar{w}} = \frac{1}{\pi} \sqrt{\int_{a=0}^{a=\infty} \frac{1}{\mu \sigma^2} \cdot \left( \frac{df(a)}{da} \right)^3}$$

/3.10./

Prin integrarea grafică / regula lui Simpson / s-ă calculat cifrele caracteristice staționare indicate mai sus.

In vederea definirii unei cifre caracteristice pentru mișcarea organizată a serului în regim staționar, este util să se accepte că încărcătura se comportă ca un corp solid de formă cilindrică cu un volum egal cu cilindrul / V\_s / și al cărui moment cinetic este egal cu suma momentelor cinetice din cadrul procesului de admisiune. Momentul cinetic al unei elementare de ser

admis în intervalul de timp da poate fi caracterizat prin viteza de rotație  $n_M/a$  a unui disc cilindric cu un volum egal cu  $dV$ . Deoarece se reportează cele două momente cinetice egale la viteza de rotație a arborelui cotit, atunci se obține un raport median de viteză de rotații / denumit pe scurt cifre de turbionare /.

$$\Omega_m = (n_M/n)_m = \frac{1}{\pi \cdot V_s} \int_{V=0}^{V=V_s} n_M(a) \cdot dV \quad /3.11./$$

Să admis că încărcătura din cilindru nu este compresibilă și cursa de admisiune se extinde de la p.m.i. pînă la p.m.e.

Viteza de rotație a aerului din cilindru  $n_M$  poate fi determinată în funcție de cursa supapei de admisiune / h / prin încercări statice efectuate la aceeași presiune din cilindru, ca și ceea ce utilizată la determinarea cifrelor caracteristice  $n_s$ . La aceste măsurări se obține raportul între viteza de rotație a anemometrului  $n_M$  și debitului de aer, în funcție de cursa supapei de admisiune. Este mai avantajos ca în locul acestui raport  $n_M/G_p$  să se aleagă o reprezentare adimensională și anume o rază denumită cifră de turbionare staționară  $n_M(a)/n_s$  la care  $n_s$  reprezintă o viteză de rotație virtuală a momentului, obținută prin egalearea vitezei de curgere axiale din modelul cilindralui cu viteza medie a pistonului  $a_m$ . Astfel după unele simplificări se obține expresia:

$$n_s = \frac{30 \cdot G_p}{\pi \cdot V_s} \quad /3.12./$$

Exprimând debitul masiv din această ecuație prin intermediul vitezei axiale din cilindru, considerată egală cu viteza momentului a pistonului, se obține, după unele simplificări expresia:

$$n = n_s \cdot \frac{1}{\pi \cdot \frac{da}{dx}} \quad /3.13./$$

Inlocuind această expresie în /3.11./ și exprimând pe  $dV$  se obține cifre de turbionare:

$$\Omega_m = (n_M/n)_m = \pi \int_0^{\frac{n_M(a)}{n_s}} \left( \frac{da}{dx} \right)^2 \cdot da \quad /3.14./$$

Așadar cifre de turbionare staționare  $n_M(a)/n_s$ , cît și cifre de turbionare  $(n_M/n)_m$  sunt proporționale cu raportul S/D. Deoarece

compară canalele de admisiune de la diferitele construcții de motoare, astunci este adecvat de a referi aceste cifre caracteristice la un report unitar de exemplu S/D - 1.

Integrala din expresia /3.14./ se determină prin integrare grafică.

### 3.4. Stand cvasistacionar pentru determinarea caracteristicilor canelului de admisiune și metode cercetării experimentale

Schema instalației de încercare și spăratare folosită este arătată în fig.: 3.4.1., în care noteazăile au următoarele semnificații: /1/ canal de admisiune, /2/ model de cilindru, /3/ rezervor de linăstire, /4/ conductă de măsurare a debitului de aer, /5/ disfragmă pentru măsurarea debitului, /6/ optometor, /7/ două pompe de vid tip BSH-3, /8/ anemometru, /9/ sursă de lumină /10/ fotodiode cu unitatea electronică de amplificare și formare a impulsului de înregistrare, /11/ comparator pentru indicație curbei supapei de admisiune, /12/ și /13/ piezometru, /14/ și /15/ termometru, /16/ barometru, /17/ higrometru, /18/ frevențometru digital tip FEA-FH 61 A pentru indicație viteză de rotație a anemometrului.

Standul cvasistacionar se deosebește de standul stătiosnăr prin posibilitatea de a putea produce presiuni în modelul de cilindru, echivalente cu cele efective, care apar în cilindrul motorului în timpul procesului de admisiune, prin intermediul a două pompe de vid legate în paralel. Deoarece și vitezele de rotație ale anemometrului sunt mult mai mari, decât cele obținute la încercările stătioare, ele au fost măsurate pe cale fotoelectrică.

Pe acest stand cvasistacionar se măsoară pentru diferite presiuni din modelul de cilindru și diferite deschideri ale supapei de admisiune, debitul masic și viteză de rotație a anemometrului. Cu ajutorul acestor rezultate se determină pentru un anumit canal următoarele familii de curbe caracteristice:

- familia de curbe de debit masic în funcție de presiunea în cilindru, având ca parametru deschiderea supapei de admisiune, domeniu pe scurt caracteristică de debit a canelului de admisiune,

- familia de curbe de viteză de rotație ale anemometru-

lui în funcție de presiunea din modelul de cilindru, având ca parametru deschiderea supapei de admisiune, denumită pe scurt caracteristica de turbionare a canelului de admisiune.

Cu aceste caracteristici s-au calculat cu ajutorul exprimilor /2.48./ respectiv /2.53./ cifrele de turbionare. În fig. 5.5.1. - fig. 5.5.2. sunt redate aceste caracteristici pentru diferite canale de admisiune.

3.5. Stand dinamic pentru cercetarea mișcării organizate a serului și metode cercetărilor experimentale /117/

Cercetarea mișcării organizate a serului în camere de ardere în regim dinamic impune instalației și spațajului de măsurare o serie de condiții speciale. Instalația și spațajul de măsurare trebuie să permită:

- modificarea ușoară și rapidă a unor factori construcțivi ai motorului / organele de turbionare ale canelului de admisiune, forma camerei de ardere, raportul de comprimare, jocul intersticiului etc. /,
- reglarea rapidă a vitezei de rotație a motorului pentru a evita distrugerile trădicatorului,
- realizarea unei încărcări termice minime a trădicatorilor de măsurare, raportele de comprimare fiind cele obisnuite ale motoarelor prin sprindere prin comprimare,
- înregistrarea rapidă a mărimilor măsurate,
- vizualizarea mișcării serului.

Pentru a putea îndeplini toate aceste condiții s-a proiectat în concepție proprie și s-a realizat în cadrul lucrării o instalație compusă dintr-un motor monocilindric cu extensie din exterior / model dinamic de motor / și o schemă de alimentare electrică și comandă electronică a motorului, complet automată, care permite înregistrarea concomitentă și complet automată a mărimilor măsurate / fig. 3.5.1. a b /.

Datele caracteristice ale modelului dinamic de motor sunt următoarele:

- diametrul cilindralui
- cursa pistonului
- cilindrees

$$\begin{aligned} D &= 108 \text{ mm} \\ S &= 130 \text{ mm} \\ V_c &= 1,19 \text{ l} \end{aligned}$$

- viteza de rotație maximă	n = 1800 rev/min
- reportul de comprimare	$\varepsilon = 17$
- reportul bielă-menivelă	$\lambda = 0,26$
- cursa supapei	11,6 mm
- fazele distribuției:	
deschiderea supapei de admisiune la $30^\circ$ înaintea p.m.i.	
închiderea supapei de admisiune la $72^\circ$ după p.m.e.	
deschiderea supapei de evacuare la $66^\circ$ înaintea p.m.e.	
închiderea supapei de evacuare la $28^\circ$ după p.m.i.	

Ca motor de antrenare s-a utilizat un motor electric de 14 KW, cu care s-a realizat accelerarea motorului pînă la oprire în aproximativ 40 de secunde.

Modelul dinamic de motor a fost conceput astfel încît permite realizarea a patru variante de montaj:

- varianta 1 se folosește la încercări dinamice, motorul fiind echipat cu chiulase originală a motorului D-lo3 / fig. 3-5-2-1 /

- varianta 2 se utilizează la încercări dinamice și de vizualizare, motorul fiind echipat cu o chiulă specială / fig. 3-5-2-2-1 /

- varianta 3 servește pentru încercări dinamice și de vizualizare cu ajutorul cilindrului 1 / fig. 3-5-4-1 /

- varianta 4 se folosește deasemenea pentru încercări dinamice și de vizualizare în două plane perpendiculare prin intermediul cilindrului 1 și periscopului 5 / fig. 3-5-5-1 / .

In lucrarea prezentă s-a utilizat numai primele două variante de montaj.

Influența unor factori constructivi asupra mișcării organizate a seralui s-a studiat cu ajutorul variantei de montaj 2, la care camera de ardere este amplasată în chiulă / fig. 3-5-3-1 / și prin aceasta amplasare devine ușor accesibilă și schimbabilă. Prin introducerea unui disc din sticlă de cuart în locul piesei de închidere a camerei de ardere se pot efectua și vizualizări.

In cadrul studierii mișcării organizate a seralui la diferite viteză de rotație ale arborelui cotit al modelului dinamic, s-a construit o instalație electronică de comandă, care permite efectuarea măsurărilor în domeniul descreșterii vite-

zei de rotație a modelului dinamic. Această descreștere a vitezei de rotație trebuie să fie atât de redusă, încât viteza să nu varieze cu mai mult de 5% în cursul unui ciclu complet. De către se admite o descreștere liniară a vitezei de rotație, atunci deceleratia admisibilă este determinată de viteză de rotație minimă, care prezintă încă interes pentru măsurători / n = 800 rot/min /. Pentru coborârea vitezei de rotație a modelului dinamic de la 880 rot/min sunt necesare cel puțin 0,32 s pentru a ajunge la 800 rot/min, care corespund cu două rotații complete. Astfel pentru procesul de reglare prin încetinire a vitezei de rotație de la 1800 rot/min pînă la zero rezultă o durată minimă acceptabilă de 7,2 s.

Pentru asigurarea unui grad de neregularitate acceptabil / δ = 1/180 - 1/150 / / 87 / s-a montat 2 volanți, unul pe arborele cotit, iar celălalt pe un alt arbore, aşezat pe două lagăre.

Din cauze complicațiilor constructive, care ar fi intervenit în cazul unei echilibrări complete, s-a acceptat echilibrarea totală a forței centrifuge și parțială / 50 % / a forței de inertie de ordinul I. Echilibrarea s-a efectuat prin intermediul unor contragreutăți montate pe brațele mănuivelor arborelui cotit.

Mișcarea organizată a serului din camera de ardere s-a măsurat cu ajutorul unui anemometru, a cărui viteză de rotație s-a înregistrat cu ajutorul unui traductor inductiv fără contact ministurisat.

Condiția principală pentru construcția unui anemometru, utilizat pentru măsurarea mișcării organizate a serului în camera de ardere, este, ca partea lui rotitoare să aibă o masă respectiv un moment de inertie cât mai redus. Anemometrele, în funcție de mărimile lor, au avut mase cuprinse între 0,14 g pînă la 0,23 g. Momentele de inertie relative ale anemometrelor, definite ca raporturile între momentele de inertie ale anemometrelor și momentele de inertie ale maselor de aer din camere de ardere la sfîrșitul cursului de comprimare, erau cuprinse între 0 - 0,014 pînă la 0 - 0,05.

În vederea menținerii constante a frecării în lagărele anemometrului, în cadrul unui șir de măsurători, lagărele su-

fost confectionate din piatră semiprecioasă, unor cu o masă specială rezistentă la temperaturi înalte „Völker - Moly-Lithium Gresse nr.2” / 88 %. Jocul axial și legătura de 0,05 pînă la 0,1 mm se poate regla cu ajutorul unui con.

Aranjamentului anemometrului și traductorului inductiv / răcit cu apă /, în diferitele camere de ardere, montajele în chiulase specială se arată în fig. 3.5.6.

În fig. 3.5.6.a se arată amplasarea anemometrului pe chiulase, în cazul cînd camera de ardere se află în piston. Anemometru se scufundă în camera de ardere și pistonul nu mai intră din nou în domeniul unghiului de rotație al arborelui cît / aprox.  $45^{\circ}$  RAC însînt de p.m.i. pînă la aprox.  $45^{\circ}$  RAC după p.m.i. / în rest este rotit de vîrtejul aerului situat deasupra pistoanelui.

Distanța dintre traductorul inductiv cu dișmecul de 6,2 mm și paletele anemometrului este de aprox. 0,5 mm.

În chiulase specială cu camera de ardere, mișcarea organizată a serualui să fie produsă cu ajutorul unor supele carabete /  $\alpha = 120^{\circ}$  și  $\alpha = 180^{\circ}$  / și căror poziție să fie fixă cu ajutorul dispozitivului din fig. 3.5.7.

Instalația de comandă, de automatizare și măsurare se arată schematic în fig. 3.5.8., în care montajele se următoarele semnificări: /1/ model dinamic, /2/ volant, /3/ cuplaj, /4/ volant suplimentar cu roata de cărcă, /5/ disc cu fante, pentru măraj de unghi  $90^{\circ}$  RAC, /6/ pompă de ulei de ungere cu electro-motor de acționare, /7/ filtru de ulei, /8/ răcitor pentru uleiul de ungere, /9/ motor electric de 14 kW, /10/ chiulase, /11/ traductor de presiune, /12/ traductor inductiv fără contact miniaturizat, /13/ anemometru, /14/ disc cu contacte pentru sincronizare, /15/ fotodiodă, /16/ tăcugenerator, /17/ condensator pentru apă de răcire, /18/ anemometru cu contacte electrice pentru uleiul de ungere, /19/ unitate electronică de programare și viteza de rotație a arborelui cît, /20/ unitate electronică de sincronizare a momentului măsurării, /21/ și /22/ unități electronice de amplificare și formare a impulsului traductorului inductiv miniaturizat, /23/ unitate electronică de amplificare și formare a impulsului mărajului de unghi, /24/ generator de frecvență TESLA-BM 356U pentru mărajul de timp, /25/ comutator, /26/ termometru pentru mediu ambient, /27/ barometru, /28/ anemometru

de control al presiunii uleiului de ungere, /29/ tironistru pentru viteză de rotație a arborelui cotit, / 30 / și /32/ osciloscoape cu două spoturi TKS LA D 581, /31/ pană cu amplificator de frecvență purtătoare Mettinger Baldwin tip AUS/T5 transductor inductiv fără contact pentru marcajul p.m.i./ fig. 3.5.11.

Transductorul inductiv fără contact ministurizat /12/ arătat în fig. 3.5.9 se leagă prin intermediul unui amplificator /21/ și formator de impulsuri electrice positive / trigger de tip Schmidt /, /22/ la bornele osciloscopului. De asemenea bornă a osciloscopului se leagă și triggerul de tip Schmidt /23/ pentru impulsuri electrice negative ale transducto- rului fotoelectric /15/ al marcajului de unghi. Prin acest mon- teaj se înregistrează ambele mărimi cu același spot al osciloscopului eliminându-se astfel desincronizările posibile între cele două spoturi ale osciloscopului. Transductorul de presiune /11/ se leagă prin intermediul panții cu amplificatorul de frecvență purtătoare /31/ la osciloscop.

In principiu instalația de comandă și sincronizare funcționează în felul următor:

1. Se porneste pompa de ulei. La stingerea presiunii prescrise a uleiului de ungere, manometrul cu contacte electrice face posibilă pornirea modelului dinamic. In lipsa presiunii modelul dinamic este oprit.
2. Se introduce cu ajutorul potențiometrelor  $P_1$  și  $P_2$  din unitate de programare /19/ respectiv unitate de sincronizare valoarea vitezei de rotație a arborelui cotit, la care urmează să se efectueze măsurările, apoi se pună în funcțiune unitatea de sincronizare prin închiderea contactului  $\beta_1$ , ceea ce are ca urmare închiderea contactelor  $C_1, C_2$  și  $C_3$ .
3. Cu ajutorul discalni cu contacte /14/, fixat reglabil pe arboreale cu care al modelului dinamic se reglează mărimile de semimul de măsurare. Aceste poze fiind în frântime din cadrul unui ciclu, un ciclu întreg conține mai multe cicluri. Deasemenea se reglează momentul începerii măsurării în cadrul unui ciclu.
4. Se porneste instalație, iar viteză de rotație a arborelui cotit este controlată prin telegenerator și compărată în unitate /19/ cu valoarea prescrisă. La stingerea valoarei pro- gramele electromagnetul cu contactele  $b_1, b_2$  și  $b_3$  este ali- mentat.

tat și prin deschiderea contactului  $b_3$ , alimentarea motorului electric de acționare este întreruptă. În același timp se deschide și contactul  $b_2$ , care pune în funcțiune unitatea de sincronizare, care la discul cu contacte /14/ menține o tensiune de + 24 voltî un timp proporțional cu vitezarea vitezei de rotație programate. În momentul în care contactul fix stinge contactul rotitor de pe discul /14/, tensiunea de + 24 voltî ajunge la bornele de sincronizare a osciloscopului, care este reglată ca să funcționeze ca sincronoscop / spotul luminescentă o singură dată /. Aparatul fotografic, fiind deschis, înregistrează pe pelicula fotosensibilă spotul luminos. Astfel se realizează complet automat comanda și înregistrarea diferențelor regimuri de funcționare însinute programate.

Cu această instalație nu s-au executat măsurători cu ardere, deoarece pe de o parte rezultatele puteau fi eronate, iar pe de altă parte anemometrul și traductorul inductiv pentru măsurarea vitezelor de rotație a anemometrului nu ar fi rezistat încărcărilor termice.

Pentru fiecare sir de măsurări s-a efectuat un control, repetând după circa o lună măsurarea corespunzătoare a vitezelor de rotație a arborelui cotit, cu care s-a inceput șirul respectiv de măsurări.

Cu ajutorul unui circuit deschis de spălare, temperaturile speciale de răcire și ale uleiului de ungere au fost tăiate la valori cît mai reduse posibile. Prin această măsură s-a putut mări durata de exploatare a anemometrului și a traductorului inductiv.

La măsurătorile efectuate s-au obținut oscilogramme de tipul celor arătate în fig. 3.5.10., pe care sunt înregistrate următoarele:

- impulsurile anemometrului / la o rotație a anemometrului se obține 2 impulski /,
- poziție p.m.i.
- impulsurile arborelui cotit / la fiecare  $15^\circ$  RAC un impuls /,
- frecvența bazei de timp

Notind cu:

$L$  - distanță în mm pentru  $180^\circ$  RAC,

$\theta$  - distanță în mm între 2 impulsuri a bazei de timp,

$L_A$  - distanță în mm între două impulsuri ale anemometrului.

$C_A$  - distanță în mm între 3 impulsuri a bazei de timp,  
se poate calcula viteza de rotație a arborelui cunoscută cu expresie:

$$n = \frac{3 \cdot C}{L} \quad /3.15./$$

respectiv viteza de rotație a anemometrului

$$n_A = \frac{10 \cdot C_A}{L_A} \quad /3.16./$$

Cifra de turbionare este:

$$\Omega_i = \frac{n_{Ai}}{n} = 3,33 \frac{C_A \cdot L}{C \cdot L_A} \quad /3.17./$$

Prin numărarea impulsurilor anemometrului / n / în timpul admisiunii și comprimării, se obține expresie cifrei de turbionare medie.

$$\Omega_M = \frac{n_{Am}}{n} = \frac{B}{2} \quad /3.18./$$

Numărind impulsurile anemometrului în timpul admisiunii /  $B_{sd}$  / respectiv comprimării /  $B_c$  / se obțin următoarele cifre de turbionare medii:

$$\Omega_{M_{sd}} = \frac{n_{Am_{sd}}}{n} = B_{sd} \quad /3.19./$$

respectiv

$$\Omega_{M_c} = \frac{n_{Am_c}}{n} = B_c \quad /3.20./$$

Viteza periferică  $w_p$  a cerului în cadrul de ardere se calculează cu expresia:

$$w_p = r_m = \frac{\pi \cdot n_{Ai}}{30} \quad /3.21./$$

în care  $r_m$  este raza medie a anemometrului.

### 3.6. Concluzii

In acest capitol sunt descrise toate instalațiile și metodele de experimentare utilizate în prezentă lucrare. Aceste instalații respectiv metode de experimentare permit obținerea unor rezultate calitative și cantitative. Rezultate calitative s-a obținut cu modelare electrică și cu vizualizări, iar rezultate cantitative cu standul de încercare staționar, cvasistaționar și dinamic. Cu modelare electrică se pot obține și rezultate cantitative.

tative, dacă se stabilesc pe cale experimentală valorile vitezelor în puncte convenabil alese.

Toate instalațiile și metodele de experimentare corespund nivelului tehnic actual. În special se menționează:

- Aparatura electrică și electronică a standului de încercare dinamic / model de motor monocilindric cu acționare exterioară cu electromotor / care permite înregistrarea concomitentă și complet automată a mărimilor măsurate și cu care s-a putut obține o serie foarte mare de date măsurate / peste 500 de oscilogramme/,

- Tehnologia de execuție a modelelor de canale de admisie / utilizând ceară, ipsos, plastelină, plexiglas, aluminiu/, cu care s-a confectionat relativ ușor peste 70 de variante de secvențe canale pentru motorul D-103.

- Anemometrele extra ușoare realizate pentru determinarea cifrelor de turbionare din camera de ardere. Anemometrele utilizate în prezentă lucrare au avut o greutate cuprinsă între 0,144 g și 0,23 g / față de 1 g, anemometrul cu greutatea cea mai mică descris în literatură tehnică de specialitate/,

Erorile de măsurare sunt destul de mari, majoritatea erorilor medii patratice relative globale fiind sub 1 %.

Despremențe se menționează că instalațiile existente reprezintă o bază de plecare pentru studiul, cercetarea și perfecționarea altor motoare de fabricație românească din punct de vedere al optimizării mișcării organizate a aerului.

#### Cap.4. CONSIDERATII PRIVIND PRECIZIA ...ASURATORILOR

##### 4.1. Erori la măsurarea debitului

Pentru determinarea erorii medii pătratice relative a debitului se utilizează metoda de calcul indicată în / 89 /.

Eroarea medie pătratică relativă a debitului este:

$$\sigma_{ogg} = \sqrt{\sigma_{oa}^2 + \sigma_0^2 + 4\sigma_{od}^2 + 1/4\cdot\sigma_{oh}^2 + \sigma_{okt}^2 + 1/4\cdot\sigma_{oy}^2} \quad /4.1./$$

În care erorile medii pătratice sunt următoarele semnificații și valori:

1. Eroarea medie pătratică relativă pentru coeficientul real de debit, care se compune din erorile medii pătratice relative corespunzătoare coeficientului initial de debit, factorului de corecție pentru viscozitate, factorului de corecție pentru rugozitatea canelului și factorul de corecție pentru teșirea mușchiilor de stec, adică

$$\sigma_{oa} = \sqrt{\sigma_{oain}^2 + \sigma_{oa_1}^2 + \sigma_{oa_2}^2 + \sigma_{oa_3}^2} = \sqrt{0,5^2 + 0,3^2 + 0,5^2 + 1} = \pm 1,26 \quad /4.2./$$

2. Eroarea medie pătratică relativă a factorului de corecție pentru destindere /  $\sigma_0$  / și a diametrului găurii dispozitivului de laminare /  $\sigma_{od}$  / și a factorului de corecție /  $\sigma_{okt}$  / pot fi neglijate, având în vedere valorile lor mici în comparație cu celelalte erori medii pătratice.

3. Eroarea medie pătratică relativă la măsurarea căderii de presiune cu un manometru de clasa de precizie 1 este:

$$\sigma_{oh} = 1/3 \frac{p_{max}}{p_1} \gamma_{op} = \pm 0,56\% \quad /4.3./$$

În care:  $p_{max}$  - limite superioară a scăderii manometrului,  
 $p_1$  - valoarea măsurată,  
 $\gamma_{op}$  - coeficient egal cu clasa de precizie.

4. Eroarea medie pătratică relativă la determinarea greutății specifice se compune din erorile medii pătratice relative de la măsurarea căderii de presiune /  $\sigma_{op_1}$  / și măsurarea temperaturii /  $\sigma_{ot_1}$  /, precum și din mărimea /  $\sigma_{ok_1}$  /, care depinde de metoda de determinare a coeficientului  $k$ , adică

$$\sigma_{\text{er}_1} = \sqrt{\sigma_{\text{op}_1}^2 + \sigma_{\text{OT}_1}^2 + \sigma_{\text{ek}}^2} = \sqrt{0,56^2 + 0,28^2 + 0,5^2} = \pm 0,8\% \quad /4.4.1/$$

In ceea ce s-a determinat cu expresia /4.3./

$$\sigma_{\text{OT}_1} = 1/3 \cdot \frac{T_{\text{max}}}{T_1} \cdot \gamma_{\text{OT}} = \pm 0,28\% \quad /4.5.1/$$

$T_{\text{max}}$  - limite superioare de măsurare a termometrului,

$T_1$  - valoarea măsurată,

$\gamma_{\text{OT}}$  - coeeficient egal cu clasa de precizie.

Indemnind valorile obținute în /4.1./ se obține crearea pătratică relativă globală a debitului  $\sigma_{\text{eqg}} = \pm 1,35\%$ .

Crearea limită posibilă pentru debit este:

$$\delta_{\text{eqg}} = 3 \cdot \sigma_{\text{eqg}} = \pm 4\% \quad /4.6.1/$$

In ceea ce se compară debitalele obținute pe același stand se pot elibera crearea medie pătratică relativă a debitului determinat pe același stand  $\sigma_{\text{eqg}}^+ = \pm 0,5\%$ , iar crearea limită posibilă este  $\delta_{\text{eqg}}^+ = \pm 1,5\%$ .

Rezultă că crearea medie pătratică relativă a debitului determinat pe același stand  $\sigma_{\text{eqg}}^+ = \pm 0,5\%$ , iar crearea limită posibilă este  $\delta_{\text{eqg}}^+ = \pm 1,5\%$ .

#### 4.2. Exerciții împreună la măsurarea presiunii din cilindrul modelului dinamic

Trădactorul utilizat pentru măsurarea presiunii din cilindru în timpul procesului de admisiune este de tip cu membrană, a cărei deformare s-a măsurat pe cale electrotenso-metrical. Exercițiile măsurătorilor de presiune executate cu ajutorul acestui tip de trădactor sunt determinate de cuplarea dinamică a canalului de legătură al trădectorului, precum și a membranei acesteia. Deasemenea ele depind și de condițiile în care se efectuează măsurarea electrotenso-metrică.

Schemă constructivă a trădectorului utilizat și schema analogică electrică / 9c / se arată în fig.4.1.

Măsurările introduse de canalul de legătură / 91 / pot avea valori de peste  $\pm 10\%$  și sunt cauzate de variațiile de presiune, de viteză finită a sunetului, precum și de pierderile de atracție impulsurilor și frecările. Considerând ca predominante influența variației nestacionare din canal și neglijind

căcelalte efecte, prin utilizarea metodei caracteristicilor din lucrările lui P.G.Bradley și D.Wellat / 92 /, se deduce o relație simplă pentru calculul presiunii efective la momentul „ 2 ”, cunoscind presiunile măsurate la momentul precedent „ 1 ” și momentul următor „ 3 ”.

$$P_2 = \frac{[P_1 + P_3]}{2} \left[ \frac{1/7}{1/7} \right]^{1/7}$$

/4.7./

Pentru ilustrarea rezultatelor obținute, în tabele 4.1. sunt reduse presiunile relative calculate teoretic, presiunile măsurate și cele măsurate și corectate, precum și abaterile presiunii măsurate față de cea teoretică.

Tabel 4.1.

$\alpha$	$\frac{P_z}{\rho_0}$ teor.	$\frac{P_z}{\rho_0}$ măs.	$\frac{P_z}{\rho_0}$ corec.	$\Delta\%$	$\alpha$	$\frac{P_z}{\rho_0}$ teor.	$\frac{P_z}{\rho_0}$ măs.	$\frac{P_z}{\rho_0}$ corec.	$\Delta\%$	$\alpha$	$\frac{P_z}{\rho_0}$ teor.	$\frac{P_z}{\rho_0}$ măs.	$\frac{P_z}{\rho_0}$ corec.	$\Delta\%$
0	1	1	1	0	70	0,715	0,720			140	0,736	0,735		
5	0,960		0,955	2,23	75	0,710		0,7227	-1,74	145	0,733		0,7274	-2,65
10	0,905	0,850			80	0,702	0,725			150	0,720	0,715		
15	0,855		0,8443	1,23	85	0,710		0,725	-2,11	155	0,832		0,857	-3,03
20	0,775	0,810			90	0,713	0,725			160	0,850	0,875		
25	0,718		0,769	-5,9	95	0,717		0,7224	-0,75	165	0,855		0,882	-1,847
30	0,695	0,730			100	0,725	0,720			170	0,885	0,890		
35	0,70		0,7249	-3,55	105	0,730		0,7299	0,013	175	0,900		0,9098	-1,08
40	0,706	0,710			110	0,740	0,740			180	0,915	0,930		
45	0,7125		0,7149	-3,35	115	0,7475		0,745	0,33	185	0,935		0,9498	-1,58
50	0,713	0,710			120	0,765	0,750			190	0,950	0,970		
55	0,718		0,713	0,696	125	0,760		0,7697	-1,27	195	0,975		0,9849	-1,52
60	0,720	0,715			130	0,774	0,79			200	1	1	1	0
65	0,718		0,7149	0,431	135	0,785		0,8024	-3,82					

Deformării membranii fiind măsurată pe cale electrotenso-metricală, se aplică metoda de calcul a erorilor indicată de K. Pink și C. Mohrbeck / 99 /.

Eroarea relativă limită este:

$$\delta_{\text{tens}} = C_1 \cdot C_2 \cdot C_3 \cdot C_4^{-1} \quad /4.8./$$

în care -  $C_1$  caracterizează erorile provenite de la puntea de măsurare, cutiile de comunicație, cablurile de legătură, compensarea incompletă a temperaturii și fixarea punctului zero,

-  $C_2$  caracterizează erorile provenite în timp prin îmbătrânirea timbrelor electrotenso-metrice și prin influențe umidității,

-  $C_3$  caracterizează erorile provenite de cedarea lejeră a calității timbrelor,

-  $C_4$  caracterizează erorile provenite la determinarea factorului  $K$ , prin histereză, etalonare și sparsură de înregistrare.

În cazul măsurărilor dinamice cu o etalonare prealabilă a fișoarelor să arătăteze de determinată după / 93 / în felul următor:

$$C_1 = 1 + \frac{1 \cdot 10^{-5}}{\varepsilon} \quad /4.9./$$

în care reprezintă deformăție specifică. Pentru celelalte cifre se indică valurile  $C_2=1$  și  $C_4=1,02$ . Cu aceste valori în funcție de trei valori ale deformăției specifice, se obțin erorile relative limite reduse în tabele următoare:

$\varepsilon \%$	1	0,1	0,01
$\delta_{\text{tens}} \%$	3	12	102

În vederea reducerii erorilor de măsurare la o valoare minimă se impune la dimensionarea membranei trădactorului de presiune următoarele:

- o deformăție specifică  $\varepsilon = 1\%$  la presiunea maximă de lucru
- condiție de linieritate,  $f/h \leq 0,2$ , / 94 /
- utilizarea de timbre tensiométrice pentru membrane

/ Hettiger tip 6/120 MK 11 / cu reză maximă a spiralei  $\leq 0,6R$  / 94 / legate în semipunte pentru compensarea influenței temperaturii.

Eforturile tangențiale și radiale se calculează cu expresiile:

$$\sigma_t = p \cdot 3/8 \cdot (R/h)^2 \cdot [1 + \mu - (1 + 3\mu) \cdot (r/R)^2] \quad /4.10./$$

$$\sigma_r = p \cdot 3/8 \cdot (R/h)^2 \cdot [1 + \mu - (3 + \mu) \cdot (r/R)^2] \quad /4.11./$$

iar deformăriile specifice:

$$\varepsilon_t = 1/E \cdot (\sigma_t - \mu \cdot \sigma_r) \quad /4.12./$$

$$\varepsilon_r = 1/E \cdot (\sigma_r - \mu \cdot \sigma_t) \quad /4.13./$$

în care:

$\mu$  - coeficientul de contractie transversală,

$E$  - modulul de elasticitate,

$r$  - raza vectoare,

$R$  - raza membranei,

$h$  - grosimea membranei,

$f$  - săgeata membranei.

Reperul pentru condiția de linieritate se calculează cu expresia:

$$f/h = 3/16 \cdot p \cdot \frac{1-\mu^2}{E} \cdot (R/h)^4 \quad /4.14./$$

Frecvența proprie circulară a membranei este dată de relația:

$$\omega_0 = 5,12 \cdot h/R \sqrt{\frac{E}{3(1-\mu^2)}} \quad /4.15./$$

Cu aceste expresii, ținându-se seama de condițiile impuse mai sus, s-a obținut o membrană cu o rază  $R = 16$  mm și cu o grosime de  $h = 0,3$  mm. În tabela 4.2. sunt sintetizate valorile caracteristice ale traductorului în funcție de diferite presiuni de lucru, precum și eroile obținute.

Tabel 4.2.

$p/\text{kg/m}^2$	$r$ [mm]	$E_t$ [%]	$\varepsilon_{t,\text{modu}}$ [%]	$E_r$ [%]	$\varepsilon_{r,\text{modu}}$ [%]	$w_0$ [rad/s]	$G_{\text{max}}$ [N/m <sup>2</sup> ]	$2 \cdot \varepsilon_{t,\text{modu}}$ [%]	$\delta_{\text{tors}}$ [%]	$\delta_{\text{tors}}$ [%]
$0,10^2$	0	0,0416		0,0416			$4,00 \cdot 10^6$	0,08	11,5	13,8
	2,5	0,0405	0,04	0,038	0,036					
	5	0,037		0,028						
$0,310^2$	0	0,125		0,125			$4,56 \cdot 10^6$	0,24	6	12
	2,5	0,122	0,12	0,115	0,100					
	5	0,111		0,083						
$0,610^2$	0	0,25		0,25			$4,1 \cdot 10^6$	0,48	4,5	15
	2,5	0,245	0,24	0,23	0,217					
	5	0,22		0,167						
$1,010^2$	0	0,42		0,42			$3,8 \cdot 10^6$	0,8	3,5	16
	2,5	0,406	0,4	0,382	0,36					
	5	0,372		0,278						
$2,010^2$	0	1		1			$4,7 \cdot 10^6$	192	25	48
	2,5	0,972	0,96	0,916	0,86					
	5	0,889		0,667						

Erorile ce pot sprea la înregistrare fotografică de pe osciloscop, se elimină prin folosirea marcajului de unghi și de timp.

Considerind la prelucrarea oscilogramelor că eroarea absolută maximă, valoarea celei mai mici diviziuni a riglei, adică  $\Delta h = \pm 1 \text{ mm}$  rezultă o eroare medie pătratică pentru presiunile de  $0,1 \cdot 10^5 \text{ N/m}^2$  și  $0,3 \cdot 10^5 \text{ N/m}^2$  de  $\pm 2\%$  respectiv  $\pm 0,6\%$ , calculată cu expresia:

$$\sigma_h = 1/3 \cdot \Delta h/h$$

/4.16./

în care  $h$  reprezintă înălțimea punctului considerat pe diagramă. Eroarea medie pătratică relativă globală, se calculează cu expresia:

$$\sigma_{p_0} = \sqrt{\sigma_{tens}^2 + \sigma_h^2}$$

/4.17./

rezultă că la un domeniu de presiune de  $0,1 \cdot 10^5 \text{ N/m}^2$  -  $0,3 \cdot 10^5 \text{ N/m}^2$  eroarea medie pătratică relativă globală variază între  $\pm 4,3\%$  -  $\pm 2,1\%$ , iar eroarea limită posibilă între  $12,8\%$  -  $6,3\%$ .

#### 4.3. Erori înregistrate la măsurarea vitezelor de rotație ale arborelui cotit și ale anemometrului

Pentru viteză de rotație maximă a arborelui cotit corespunde o frecvență de 30 Hz respectiv pentru viteză de rotație maximă a anemometrului corespunde o frecvență de 500 Hz. Având în vedere calitățile dinamice ale sparaturii utilizate, nu au existat distorsiuni introduse de aceste instrumente,

Considerind la prelucrarea oscilogramelor următoarele:

- eroarea absolută maximă la determinarea distanțelor  $L$  și  $C$  / expresia 3.15. / este de  $\pm 1 \text{ mm}$ , diviziunea cea mai mică a riglei,

- eroarea absolută la determinarea distanțelor  $L_A$  și  $C_A$  / expresia 3.16. / este de  $\pm 0,1 \text{ mm}$ , diviziunea cea mai mică a riglei dispozitivului optic de măsurare,

- clasa de precizie a frevențiometrului 1,5,  
se obține eroarea medie pătrată globală la determinarea vitezei  
de rotație maxime a arborelui cotit:

$$\sigma_n = \sqrt{\sigma_\gamma^2 + \sigma_c^2 + \sigma_L^2} = \pm 0,8 \% \quad /4.17./$$

iar la determinarea vitezei de rotație maxime a anemometrului:

$$\sigma_{nA} = \sqrt{\sigma_\gamma^2 + \sigma_{LA}^2 + \sigma_{LA}^2} = \pm 0,85 \% \quad /4.18./$$

respectiv erorile limită  $\delta_n = \pm 2,44 \%$  și  $\delta_{nA} = \pm 2,6 \%$ .

#### 4.4. Concluzii

Erorile de măsurare se încadrează în limite acceptabile  
tehnice, majoritatea erorilor medii pătrătice relative globale  
fiind sub 1 %.

## Cap.5. rezultatele cercetării

### 5.1. Generalități

Cu ajutorul modelului matematic și al instalațiilor de încercare descrise în cap.2 respectiv 3 s-au executat cercetări fundamentale și aplicative asupra mișcării organizate a aerului, precum și asupra pierderilor gazodinamice, care însotesc această mișcare. Aceste cercetări s-au efectuat în diferite etape pornind de la cazul idealizat și sfîrșind cu cel real. Astfel, în prima parte a acestui capitol s-a studiat curgerea idealizată a aerului prin canalul de admisiune cu metoda de modelare electrică și apoi curgerea reală prin diferite metode de vizualizare, obținându-se numai rezultate calitative. Aceste rezultate calitative au indicat acele părți constructive ale modelului de canal de admisiune, prin care se pot actiona asupra pierderilor gazodinamice și asupra mișcării organizate a aerului. Rezultate cantitative privitoare la mișcarea organizată a aerului și a pierderilor gazodinamice s-au obținut, pornind de la cazul simplificat la cel real, prin metoda de încercare staționară, metoda de încercare cvasistaționară și metoda de încercare dinamică. În vederea verificării rezultatelor obținute, acestea au fost confruntate cu cele determinante cu ajutorul modelului de calcul. La studierea unor factori de influență, la care nu s-au putut executa încercări sau executarea lor cu ajutorul modelului dinamic ar fi fost prea complicată, s-au determinat influențele lor numai prin calcul.

Majoritatea încercărilor s-au efectuat lăsând ca bază motorul de tractor D-103.

### 5.2. Rezultatele obținute prin modelarea electrică și prin vizualizarea curgerii aerului în canalul de admisiune.

Încercările experimentale s-au efectuat la canalul de admisiune al motorului D-103 de tractor, precum și al motorului 12LDA28, cu care se echipaază locomotiva diesel-electrică 060-DA.

În fig.5.2.1. și fig.5.2.2. se arată canalul de admisiune original al motorului D-103, respectiv supapa și partea

scaunului de la acest canal.

Din alura liniilor de curent și din diagramele vitezelor se poate constata că există desprinderi ale curentului de aer /acestea sint cauzate de variațiile pronunțate ale secțiunii transversale a canalului/, așa după cum s-a indicat în fig. 5.2.3., dar mai ales în zona scaunului /fig. 5.2.4./, unde se locuiește o variație bruscă a vitezei de curgere și o deviere puternică a curentului. Un alt dezavantaj constă în faptul că, după cum se poate observa din fig. 5.2.5., pe o anumită înălțime a deschiderii supapei, suprafața inelară minimă de curgere "b" rămâne constantă, deși suprafața inelară "a" variază prin deschiderea supapei și în consecință curentul de aer este strangulat suplimentar.

In fig. 5.2.6. se arată liniile de curent și diagramele de variație a vitezelor din zona scaunului și a supapei canalului de admisiune original al motorului locomotivei diesel-electricice 060-DA din care rezultă proprietăți de curgere mai bune.

In vederea îmbunătățirii formei constructive a canalului de admisiune al motorului D-103 s-au executat o serie de modificări constructive, respectând la construcția canalelor următoarele criterii principale:

- Energie cinetică a aerului să fie cât mai mică în secțiunea de trecere a supapei ;
- Energie cinetică a aerului la intrarea în cilindru să fie recuperată cât mai mult, utilizând în acest scop un scaun de supapă cu difuzor.

Comparăția între diferențele scaune și supape de admisiune modificate cu cele originale ale motorului D-103 se arată în fig. 5.2.7. In fig. 5.2.7. se arată liniile de curent și diagramele vitezelor la un scaun de supapă îmbunătățit, din care rezultă că desprinderile curentului s-au redus față de cele constatate la scaunul original.

Analizând vizualizările realizate /vezi cap. 3.2./ cu actualul canal de admisiune al motorului D-103, se poate constata că acestea prezintă desprinderi ale curentului de aer în zona de răcordare , la poarta supapei, în zona bosajului, în colțul porții supapei și mai ales în colțul scaunului supapei /s-au consta-

tat depunerii intense de praf, respectiv de nicotină în acest colț.

Pe baza modelării electrice și vizualizării curgerii aerului în canalele de admisiune se pot trage următoarele concluzii general valabile:

- Canalul de admisiune să fie construit cît mai larg, cu o secțiune transversală continuu descrescătoare și cu rotații corespunzătoare la schimbările de direcție;

- Strangularea maximă a canalului de admisiune să fie plasată imediat deasupra scaunului. Prin aceasta curentul de aer este îndreptat asupra scaunului supapei, impiedicindu-se desprinderea lui de la muchia interioară a scaunului;

- Este avantajoasă rotația muchiei interioare și exterioare a scaunului supapei, cît și a muchiilor supapei de admisiune;

- Umărul situat după muchia exterioară a scaunului supapei de admisiune să fie cît mai mic posibil;

- Secțiunea de curgere la supapa de admisiune trebuie largită pînă la muchia exterioară a supapei prin mărire diametrului. Această largire se poate utiliza ca un difuzor. Dar, pentru a avea o recuperare de energie prin difuzor, este necesar ca, curentul de aer să urmărească peretii, adică respectând condițiiile de mai sus să nu apară desprinderi pronunțate la muchia interioară a supapei.

### 5.3. Rezultatele experimentale obținute la vizualizarea mișcării aerului în cilindru și camera de ardere

Prin vizualizările efectuate în modelul de cilindru cu metoda prafului de aluminiu /cap. 3.2.2.2.1./ s-a urmărit stabilirea poziției axei vîrtejului de aer față de axa cilindrului, poziție care în cazul motorului D-103 coincide cu axa cilindrului.

Din examinarea fotografiei /vezi fig. 5.2.6./ obținute la vizualizarea mișcării organizate a aerului în cilindru cu metoda depunerii de praf, s-au putut constata următoarele:

- Câmpul cilindrului are distanță minimă față de axa supapei pentru unghiul  $\psi = 180^\circ$ ;

- În partea dreaptă a figurii se observă deplasarea celei mai mari părți a cantității de aer admisă prin supapă; în partea stingă s-a vizualizat cantitatea mai mică de aer, care se opune mișcării de rotație organizate a aerului în cilindru. Domeniile mai întinse situate sub talerul supapei reprezentă spațiile în care aerul de admisiune are viteză de curgere redusă;

- Unghiul de inclinare al elicei după care se mișcă aerul are valoarea  $\beta = 30^\circ$  și ca urmare raportul între viteză periferică și cea axială a curentului de aer, adică cîfra de turbinație, este:

$$\Omega = \frac{v_p}{v_a} = \operatorname{ctg} 30^\circ = 1,73$$

Din visualizările efectuate în cilindru în regim statiscă se pot trage următoarele concluzii general valabile:

- Configurația cîmpului de viteză în secțiunea controlată de supapă la un canal spiral este asimetrică;

- În funcție de particularitățile constructive ale canalelor de admisiune și de cursele de ridicare ale supapei, cîmpul de viteză în secțiunea de trecere a supapei variază;

- În vederea unei intense mișcări organizate a aerului, curgerea acestuia din secțiunea de trecere controlată de supapă să fie cît mai asimetrică, iar în zonele în care aerul curge în sens opus mișcării principale, vitezele acestuia să fie minime;

- Axa virtejului de aer să fie plasată în axa cilindrului pentru a se evita pierderile de energie cinetică prin fenomene de curgere secundară și frecare interioară.

Scopul încercărilor de vizualizare a mișcării aerului în camera de adere, în regim dinamic a fost acela de a elucida structura acestei mișcări despre care actualmente există păreri contradictorii.

Din lucrările unor cercetători /Urbau, Weidemüller și Horvatin /56 ; 59 ; 58/ reiese că aerul se mișcă în camera

de ardere pe baza legii corpului solid. Acest virtej se mai numește "turbion cvasisolid". La viteze foarte mici ale pisto-nului s-a constatat /Urlaub /55/ formarea unui virtej, care se rotește pe baza legii curgerii cvasipotentiale, denumit pe scurt "turbion cvasipotențial". Alți cercetători /Pischinger /32/, Böttger /19/ presupun că mișcarea aerului din camera de ardere se asemănă cu un turbion cvasipotențial. Rezultatele obținute de Hurlay /95/ asupra structurii mișcării organizate în camera de ardere se arată în fig. 5.3.1., din care se poate observa că viteză tangențială se reduce liniar către axa cilindrului, iar la o anumită rază a cilindrului viteză crește. Această structură a turbionului s-a explicat prin compunerea ușor a virtej cvasisolid cu un virtej cvasipotențial /vezi fig. 5.3.2./.

De asemenea există păreri contradictorii în legătură cu existența unor mișcări secundare a aerului către axa cilindrului.

Cu ajutorul unei încercări simple se poate explica fenomenul de generare a mișcării secundare la o mișcare principală de rotație a unui fluid. Dacă se rotește o cească cu ceai, în care se află o cantitate mică de rezidiu de ceai, atunci se poate observa că particulele rezidiului nu execută numai o mișcare de rotație în jurul axei ceștii, ci și o mișcare secundară, așa cum se arată în continuare. Pe fundul ceștii particulele de ceai se mișcă pe traекторii spirale către mijloc, apoi ele urcă în sus de-a lungul axei de rotație, ajungind la suprafața lichidului de unde parcurg o traectorie spirală spre exterior, pînă la peretele lateral al ceștii, de-a lungul căror particulele coboară pînă la fundul ceștii, de unde își reiau ciclul de mișcare. Această mișcare secundară toroidală este cauzată de frecarea lichidului de pereti și de frecarea diferită între fundul ceștii și suprafața liberă. În cazul în care suprafața liberă a vasului este înlocuită cu un capac, atunci se naște o mișcare dublă toroidală /96/. Cele două forme de curgere, cauzate de efecte secundare, se arată schematic în fig. 5.3.3. Dicksee și Pischinger /96, 32/ presupun existența acestei mișcări secundare și în cazul camerelor de ardere de la motoarele cu ardere internă, pe cînd Weidenmüller /59/ măsurînd cu ajutorul unui termoanemometru vitezele

din camera de ardere, susține că această mișcare secundară, denumită "efectul coști cu coai" nu există.

Prin intermediul metodelor de vizualizare a mișcării aerului arătată în cap. 3.2.2.3. s-au executat multe încercări cu ajutorul unor camere de ardere cu forme diferite. S-a constatat că aerul din volumul inelar al interstițiului se rotește ca un turbion cvasipotențial, care se transformă treptat, începând de la raza camerei de ardere, într-un turbion cvasisolid, așa cum se arată în fig. 5.3.4.(a,b,c). În cazul unei mișcări de rotație intense nu s-a constatat existența unei mișcări secundare de-a lungul peretilor camerei de ardere /fig. 5.3.5/. Se presupune că mișcarea secundară are loc numai în cadrul stratului limită, iar restul aerului din cadrul camerei de ardere se rotește ca un turbion cvasisolid. Această presupunere este confirmată și de cercetările efectuate de Zinner /lo/ și Grohne /97/. La o mișcare de rotație redusă a aerului în camera de ardere s-a constatat formarea mișcărilor secundare, așa cum se poate vedea în fig. 5.3.6.(a,b,c).

Până în prezent s-a vorbit despre mișcarea organizată a aerului, neglijindu-se mișcarea neorganizată, turbulentă. Mișcarea turbulentă apare la curgerea aerului în cilindru, respectiv în camera de ardere.

Degl studierea acestei mișcări turbulentă nu a fost obiectul prezentei lucrări, totuși se reădu informativ unele rezultate obținute de diferiți cercetători.

Rotbrook și Waldron /98/ constată, cu ajutorul metodei de filmare rapidă, că la sfârșitul comprimării curgerea aerului este puțin turbulentă. De asemenea, Dicksee și Lee /99/ constată că durata mișcării turbulentă a aerului în timpul admisiunii este redusă. Ea este aproape anulată în timpul comprimării. La rezultate asemănătoare a ajuns și Horvatin /58/, măsurind turbulentă aerului cu ajutorul termocanemometrului.

Din rezultatele arătate mai sus se pot trage următoarele concluzii:

- Aerul din volumul inelar al interstițiului între chiulach și piston se rotește cu excepția stratului limită, ca un turbion cvasipotențial;

- Aerul din camera de ardere /dispusă în piston sau chiulashă/ se rotește, cu excepția stratului limită, ca un turbion quasi-solid ;

- Mișcarea secundară a aerului în camera de ardere apare numai în cazul mișcării organizate reduse ;

- Perturbările curentului de aer sub formă de turbulențe generate în procesul de umplere al cilindrului, sunt amortizate în timpul comprimării.

#### 5.4. Rezultatele experimentale obținute pe standul statiscic

Scopul încercărilor a fost de a studia, cu ajutorul unui stand simplu, influențele unor factori constructivi ale canalelor de admisiune asupra mișcării organizate a aerului în cilindru și asupra pierderilor gazodinamice, în vederea obținerii unei mișcări organizate intense cu pierderi gazodinamice minime.

Este cunoscut faptul, că o mișcare organizată intensă generată de organele de admisiune, este însoțită de pierderi gazodinamice mari.

Canalul de admisiune care a stat la baza acestor încercări, a fost acela al motorului D-103. Prin încercări de modelare electrică și de vizualizare, s-au pus în evidență locurile de desprindere ale curentului de aer la construcția actuală a canalului de admisiune, modificindu-se traseul canalului de admisiune propriu-zis, supapa și seauul de supapă s-a obținut peste 70 de variante de modele de canale de admisiune, utilizabile la motorul D-103. La construcția acestor variante în scopul îmbunătățirii mișcării organizate a aerului, s-a ținut cont și de expresia /2.17./, care indică factorii constructivi ce influențează această mișcare.

##### 5.4.1. Tehnologia de execuție a podelor de canale de admisiune

S-a secționat longitudinal un canal de admisiune din chiulasa originală a motorului D-103. După montarea exactă a

canalului intr-un dispositiv, s-a umplut interiorul acestuia cu coardă toată. După solidificarea cerii s-a desfășurat dispozitivul, resp. canalul de admisiune și s-a extras miezul de coardă. Cu aceste măsuri s-a confectionat un model de canal de admisiune din aluminiu, secționat în două plane /Fig. 5.4.1./ și mai multe canale din ipsos. Modificarea canalului de admisiune din aluminiu s-a realizat prin modelarea lui interioră cu plastelină și prin montarea diferitelor variante de secante de suprafață, ușor schimbabile pe modelul de cilindru cu ajutorul unei flanje de prindere. Plastelina s-a aplicat în zonele de desprindere ale curentului de aer, cunoscute prin modelare electrică și vizualizare.

Modelele canalelor de admisiune din ipsos s-au executat prin modificarea măsurilor de coardă. S-au modificat formele, secțiunile, razele de recordare, pozițiile față de axa cilindrului etc. ale măsurilor de canal, prin încălzirea lor cu apă caldă și prin adăugarea sau scoaterea de material în anumite locuri. În Fig. 5.4.2. se arată 4 măsuri de canale de admisiune modificate prin încălzire în apă caldă. Măsurile de coardă astfel obținute s-au acoperit cu un strat de lac și altul de vinoare. Peste aceste măsuri s-a turnat ipsos iar după întărirea ipsosului s-au îndepărtat măsurile de coardă prin încălzire. Aceste modele de ipsos au fost execuțiate demontabile prin intermediul unui plan de separație /Fig. 5.4.3./

La măsurările efectuate cu aceste modele de canale s-a constatat că în general la o mărire a produsului "scăde cifra de turbiditate  $n_t/n$  și viceversa. Doseanul în care se situează ordinea de mărime a acestor cifre caracteristice este arătat în Fig. 5.4.4., valorile indicate referindu-se la cele 70 de variante de modele de canale de admisiune.

#### 5.4.2. Studiu influenței geometriei canalelor de admisiune.

##### 5.4.2.1. Înfluența razelor de recordare și a unghiului de inclinare al canalului

In interiorul modelului de canal de admisiune din aluminiu s-au modificat razele de recordare  $r_0$  și  $r_1$  precum și

unghiul de inclinare al canalului  $\varepsilon$  /fig. 5.4.5./. În fig. 5.4.6. se arată cîteva părți ale canalului, care au fost modelate și demontate după măsurători.

Pentru razele de racordare  $r_0$  și  $r_1$ , precum și pentru unghiul de inclinare al canalului  $\varepsilon$  s-au obținut următoarele intervale de valori optime, în funcție de cifrele caracteristice staționare  $\mu$  și  $n_M/n$ :  $r_0 = (0,6-0,8)d$ ,  $r_1 = (0,2-0,4)d$  și  $\varepsilon = 12^\circ-15^\circ$ . La valorile mai mici ale razelor de racordare, resp. la valurile mai mari ale unghiurilor de inclinare,  $\mu$  variază cu 8-10% la deschiderile mari ale supapei. Acest fapt se poate explica prin accea că la deschiderile mari ale supapei /la care suprafața de curgere minimă prin scaunul supapei este mai mare, decit suprafața de curgere minimă din canal/curentul se desprinde de peretele cotului și că urmăre aerul curge asymmetric cu viteze mai mari în cilindru. Rezultatul este micșorarea produsului  $\mu$  și mărirea raportului  $n_M/n$ .

#### 5.4.2.2. Influența arhitecturii scaunului de supapă

Este cunoscut faptul că pierderile gazodinamice cele mai mari în canalul de admisiune apar în zona scaunului de supapă. La încercările de modelare electrică și vizualizare s-au obținut forme de scaune de supapă, la care era de presupus că pierderile gazodinamice vor fi mai mici. În vederea obținerii unor rezultate cantitative s-au confectionat după aceste forme trei tipuri de scaune de supapă, arătate în fig. 5.4.5.(a,b,c).

La înlocuirea scaunului original "a" cu scaunul cu difuzor "c" s-a obținut, la deschiderile mici ale supapei de admisiune, o creștere de 35-40% a produsului  $\mu$ . (influență însemnată asupra pierderilor gazodinamice care și diametrul "d<sub>s</sub>" și raza "r<sub>s</sub>", precum și pragul "g", săpt constatat și de Tanaka /100/. Diametrul "d<sub>s</sub>" trebuie să fie mai mic decit diametrul "d". În acest caz strangularea maximă a canalului se află imediat deasupra scaunului. Curentul de aer este îndreptat asupra scaunului supapei, impiedicind desprindererea lui de muchia interioară a scaunului, adică curgerea lui neasimetrică. Creșterea produsului  $\mu$  prin aceste modificări a fost din nou însoțită de o micșorare a cifrei de turbionare  $n_M/n$ .

Din această cauză s-au studiat în continuare factorii construc-  
tivi, care măresc cifra de turbionare  $n_y/n$  și influența lor asupra  
produsului.

#### 5.4.2.3. Influența poziției colțului canalului

S-a observat experimental că o influență mare asupra  
cifrei de turbionare o are poziția colțului canalului, definitivă  
prin distanța "a" din fig. 5.4.7. În modificare mică a  
acestui distanță se produc variații mari ale lui  $n_y/n$  și  $\mu_T$ , așa  
cum se poate observa în fig. 5.4.7. Prin urmare, toleranțele de  
execuție mari ale acestui colț la diferite canale de admisiune  
dă rezultate la o împrengere a cîfrelor de turbionare  $n_y/n$ .

#### 5.4.2.4. Influența poziției canalului față de axa cilindrului

Mișcarea organizată a aerului în cilindru se poate genera prin curgerea aerului în lungul canalului de admisiune /momentul cinetic primit în timpul curgerii în canalul de admisiune/ și prin scaunul supapei /momentul impulsului de ieșire  
din scaunul supapei/. Expresia /2.10./ arată că momentul im-  
pulsului de ieșire depinde de direcția impulsului și de depăr-  
tarea sa față de axa cilindrului. Modificând la un canal de ad-  
misiune unghiul său " $\gamma$ " și excentritatea " $e_1$ " și " $e_2$ ", se  
poate constata în ce mod se generează mișcarea organizată a ae-  
rului din cilindru.

Din fig. 5.4.8. și 5.4.9. se observă că modificând  
mărimile constructive sus arătate, coefficientul de turbionare  
variază mult mai mult decât produsul  $\mu_T$ , ceea ce denotă că  
atât forma canalului, cât și impulsul de ieșire al aerului din  
scaunul supapei, generează mișcarea de rotație a aerului din ci-  
lindru.

#### 5.4.2.5. Influența unghiului colțului canalului

În fig. 5.4.1c. se arată influența unghiului colțului  
canalului asupra produsului  $\mu_T$  și a cifrei de turbionare. Se  
precizează că din cele patru modele de canale experimentale, se

pot compara curbele cifrelor caracteristice numai de la două canale / A și B /, întrucât numai aceste canale au aproximativ aceeași variație a cifrei de turbionare. Din alura curbelor resp. se poate constata că la canalul fără cot valorile  $\mu^*$  sunt mai mari, iar scăderea așteptată a cifrei de turbionare odată cu mărirea lui  $\mu^*$  este compensată prin mărirea momentului impulsului de ieșire.

#### 5.4.2.6. Influenta supapei ecranate, a scaunului de supapă prevăzut cu un ecran și a capătului de admisiune prevăzut cu o lamelă directoare

Pentru a modifica momentul impulsului aerului la ieșirea din secțiunea controlată de supapă, resp. momentul cinetic față de axa supapei al aerului din canalul de admisiune s-a echipat acest canal, la o serie de încercări, cu o supapă ecranată, la o altă serie cu un scaun de supapă prevăzut cu un ecran și la a treia serie cu o lamelă directoare. Construcțiile respective sunt arătate în fig. 5.4.11.

Valorile maxime ale rotației aerului s-au obținut la o anumită poziție a paravanului față de linia de referință indicată în figurile respective, poziție identică pentru ambele variante de montaj ale paravanului /pe supapă sau pe scaunul supapei/.

La experimentările executate cu canalul prevăzut cu o lamelă directoare s-a observat că produsul  $\mu^*$  crește cu atât mai mult, cu cît orientarea lamelei directoare se apropie de liniile de curgere ale aerului, iar lamela directoare produce o mișcare de rotație intensă chiar și în cazul cind pozițiile ei de orientare sunt numai apropiate de aceste lini.

Comparind curbele cifrelor caracteristice  $\mu^*$  și  $n_y/n$  ale canalelor de admisiune cu și fără dispozitive pentru intensificarea rotației aerului /paravan, resp. lamele directoare / se poate aprecia consumul de energie necesar pentru această intensificare / fig. 5.4.11./.

Prin rotirea supapei ecranate în jurul axei sale s-a constatat că cifrele caracteristice staționare variază între o valoare maximă pozitivă și o valoare negativă. /Fig. 5.4.12./

Aceasta înseamnă că momentul impulsului de ieșire al aerului din secțiunea controlată de supapă este cauza principală care generează mișcarea organizată a aerului în cilindru.

### 5.4.3. Criterii generale pentru construcția canalelor de admisiune

Pe baza incercărilor efectuate cu cele peste 70 de variante de modele de canale de admisiune se indică unele criterii generale pentru construcția unor canale de admisiune cu rezistențe de curgere reduse, resp. canale de admisiune care produc o mișcare organizată corespunzătoare a aerului din cilindru.

#### 5.4.3.1. Canale de admisiune cu rezistențe de curgere reduse

Supapa de admisiune are o influență hotăritoare asupra pierderilor gazodinamice. Ea controlează prin forma, dimensiunile și legătura de mișcare mărimea și variația secțiunilor transversale oferite trecerii aerului în cilindru, precum și devierea curentului acestuia. În lucrările /Sl. 101-103/ se dănd indicații suficiente pentru proiectarea unor supape de admisiune de formă corespunzătoare din punct de vedere gazodinamic.

Perfecționarea canalelor de admisiune din punct de vedere al tehnicii de curgere poate fi realizată în special prin :

- Mărirea secțiunii reale de curgere a supapei ;
- Adaptarea unei construcții adecvate pentru a se direcționa curentul de aer în jurul tijei și ghidajului supapei, astfel încât să nu se producă virtejuri ;
- Amplasarea strangulării maxime a canalului imediat deasupra scaunului supapei, diametrul canalului fiind mai mic decât diametrul scaunului la marginea sa interioară. În acest caz curgerea este aliniată înaintea scaunului supapei, impiedicând desprindererea curentului de aer la muchia interioară a scaunului,

precum și o curgere oblică, resp. neuniformă, prin secțiunea supapei ;

- Rotunjirea muchiei interioare a scaunului supapei ;

- Recuperarea energiei cinetice într-un difuzor amenajat după secțiunea reală de curgere a supapei. În acest scop se largește secțiunea de curgere la supapa de admisiune pînă la muchia exterioară a supapei prin mărirea diametrului. Se precizează însă că o recuperare de energie în acest difuzor este posibilă numai dacă curentul urmează exact traseul peretilor, fără desprindere la muchia interioară și cu o desprindere cît mai redusă la muchia exterioară a scaunului supapei.

#### 5.4.3.2. Canale de admisiune care generează o mișcare organizată a aerului în cilindru

Cea mai potrivită organizare a mișcării aerului de admisiune constă în introducerea acestuia într-o direcție oarecum tangențială la periferia cilindrului. La componentă tangențială a vitezei aerului se asociază o componentă axială produsă de mișcarea pistonului, astfel încît se amorsează o mișcare a aerului în cilindru sub forma unui virtej descendent.

Dirijarea mișcării aerului în acest fel este posibilă prin :

- Orientarea oblică a canalului de admisiune (canal oblic) ;

- Orientarea în spirală a canalului de admisiune (canal spiral) ;

- Echiparea canalului de admisiune cu o lamelă directoare (canal cu o lamelă) ;

- Montarea pe supapa de admisiune a unui ecran (supapa ecranată) ;

- Montarea unui ecran în zona scaunului supapei (scaun de supapă ecranat).

După cum au arătat experiențele descrise în capitolile anterioare, toate aceste căi de organizare ale mișcării aerului de admisiune sunt asociate cu pierderi, astfel încît o

majorare a vitezei de rotație a aerului are ca efect micșorarea produsului

La canalul de admisiune de tipul celui utilizat la motorul D-103, cifrele caracteristice sunt influențate în special de :

- Poziția colțului canalului, definită prin distanța "a" / Fig. 5.4.7. / ;
- Mărimea unghiului  $\delta$  / Fig. 5.4.8. / ;
- Asimetricitatea  $e_1$  și  $e_2$  / Fig. 5.4.8 și 5.4.9. /
- Curbura colțului canalului / Fig. 5.4.10. /

La curse mici ale supapei de admisiune, canalul oblic are o eficacitate redusă. Împrăștierarea cifrelor caracteristice este relativ mare. Canalul oblic este adecvat pentru realizarea unor viteze de rotație medii a aerului.

Canalul spiral permite realizarea unor viteze de rotație medii și mari ale aerului, în modul cel mai economic. Împrăștierarea cifrelor caracteristice este relativ mică. Încadrarea canalului spiral în spațiul disponibil al motorului întâmpină însă deosebiti dificultăți mari.

La canalul cu o lamelă directoare produsul  $\bar{N}$  crește cu atât mai mult, cu cât orientarea lamelei se apropie de liniiile de curgere ale aerului, mișcarea de rotație a aerului fiind intensă chiar și în acest caz.

La canalul echipat cu o supapă ecranată sau cu un scaun de supapă ecranat, valoarea raportului  $n_y/n$  depinde de mărimea și poziția ecranului. Poziția ecranului este de o importanță deosebită. În pozițiile în care ecranul dirijează curentul de aer aproximativ normal pe peretele cilindrului, raportul  $n_y/n$  are valoarea minimă, iar în pozițiile în care curentul este dirijat aproximativ tangențial la perete, acest raport are valoarea maximă. Avantajul principal al supapei ecranate este faptul că permite foarte ușor, printr-o simplă rotire, varierea vitezei de rotație a aerului. Supapa ecranată are dezavantajul că trebuie asigurată împotriva rotirii. Din considerente termice și din cauza pericolului tasării neuniforme a scaunului, rotirea ei este însă de dorit. De asemenea, din cauza nesimetriei ea are o tendință să fie deformată, iar execuția ei este mai scumpă decât a unei supape simple.

Scaunul de supapă ecranat are un efect similar ca și supapa ecranată.

#### 5.4.4. Soluții perfectionate de canale de admisiune pentru motorul D-103

S-au determinat cifrele caracteristice staționare pentru 12 canale de admisiune /3 chiulase cu cîte 4 canale/ ale motorului D-103. Rezultatele obținute sunt redate în diagramele din fig. 5.4.13.a și tabela 5.4.1. Se poate constata că împărtierea cifrei de turbionare pentru S/D = 1 este 30%, adică relativ mare. Din alura curbelor  $\mu_1^{\max}$  și  $\mu_1^{\min}$  în funcție de cursa relativă a supapei h/d se poate trage concluzia că la deschiderile mici și medii ale supapei de admisiune,  $\mu_1$  are valori mult mai mici decît curba teoretică  $\mu_2$  pentru  $\mu = 1$ . Acest fapt arată că partea inferioară a canalului și în special scaunul supapei de admisiune nu are forma cea mai adecvată pentru curgere. Împărtierea relativ mare a cifrei de turbionare este cauzată de toleranțele de execuție mari ale canalului și în special de cele ale colțului curburii canalului/vezi fig. 5.4.7./.

In vederea îmbunătățirii canalului de admisiune original din punct de vedere al cifrelor caracteristice staționare s-au executat 4 modele de canale îmbunătățite. În tabela din fig. 5.4.13.a sunt redate cifrele caracteristice staționare, iar în fig. 5.4.13.b,c, s-au reprezentat curbele de variație ale produsului  $\mu_1$  și ale cifrei de turbionare. Două modele de canale au fost astfel construite, încît curba cifrelor de turbionare să fie la unul din canale aprox. egală cu curba valorilor minime, iar la celălalt canal cu cea a valorilor maxime determine la canalele originale/de la cele trei chiulase originale încercate/

Tabela 5.4.1.

Canal		canal original $\mu_1^{\max}$	canal original $\mu_1^{\min}$	canal original valori medii	canal nou rat. 1 nr. 1	canal nou rat. 1 nr. 2	canal nou rat. 1 nr. 3	canal nou rat. 1 nr. 4
W/m	m/s	69.3	59.3	59.3	69.3	69.3	69.3	69.3
( $\mu_1^{\max}$ ) <sub>m</sub>	-	0.355	0.455	0.330	0.457	0.332	0.484	0.480
W/m	m/s	130.0	150.3	125.5	131.0	130.0	143.3	144.0
( $\mu_1^{\max}$ ) <sub>m</sub>	-	0.320	0.347	0.325	0.363	0.303	0.4298	0.4230
W/m	m/s	216	124	113	100	157	161	163
D <sub>can</sub>	m	0.271	0.247	0.265	0.190	0.145	0.1512	0.155
D <sub>can</sub>	m	1.67	1.57	1.560	2.348	1.135	1.45	2.193
D <sub>can</sub>	m	1.57	1.53	1.53	1.45	1.17	1.03	1.02

S-a constatat că valorile obținute pentru aceste două modele de canale sunt avantajoase, deoarece cifrele caracteristice ( $\bar{v}_m$ ) sunt cu 19,68%, resp. 29,4% mai mari, vitezele medii convenționale  $\bar{v}_m$  cu 16,6%, resp. 23% mai mici și raporturile  $(n_m/n_0)$  pentru S/D = 1 cu 5,17% resp. 8,58% mai mari decât cele determinate la canalele originale.

#### 5.4.5. Soluții constructive de canal de admisiune pentru determinarea mișcării organizate optime la motorul D-103

In vederea optimizării mișcării organizate a aerului la motorul D-103, cît și pentru o eventuală introducere a procesoului "W" la acest motor, este necesară modificarea mișcării de rotație a acestuia cu ajutorul organelor de admisiune. Executarea unor chiulase cu diferite canale de admisiune este complicată și neeconomică, de aceea s-a elaborat o metodă de experimentare bazată pe un canal de admisiune îmbunătățit prevăzut cu un scaun cu difuzor și o supapă ecranată.

Metoda permite optimizarea mișcării organizate a aerului, corespunzătoare unui consum specific minim de combustibil, cu ajutorul unui motor de încercare, prin modificarea rotației aerului cu ajutorul unei supape ecranate. Cunoescind poziția optimă a supapei ecranate, se determină cu ajutorul standului staționar cifrele caracteristice ale ansamblului canal-supapă ecranată. Pe baza acestor cifre se poate construi o chiulă nouă cu canale de admisiune îmbunătățite.

Această metodă de experimentare se poate utiliza numai prin menținerea constantă a cantității combustibilului injectat și a coeficientului de umplere, la o viteză de rotație dată a motorului. Prin introducerea supapei ecranate la canalul original și prin modificarea poziției ei, valorile  $\mu^V$  (vezi fig. 5.4.12.), adică și coeficientul de umplere, variază între limite mari. Acest dezavantaj s-a eliminat prin utilizarea unui canal original îmbunătățit / cu scaun de supapă cu difuzor/.

Rezultatele încercărilor se arată în fig. 5.4.14.  
Se poate observa că modelul de canal cu supapă ecranată/ $\alpha=120^\circ$ ,

în poziția optimă a ecranului ( $\gamma = 0^\circ$ ), are cifrele  $(\bar{\mu})_m \bar{w}_m$ ,  $\bar{\Delta p}_m$  aproximativ egale cu cele ale canalului original, iar cifra  $(n_M/n)_m$  se mărește cu 41,4 %. Din alura diagramelor și  $n_M/n$  în funcție de poziția ecranului se constată că rotația aerului se poate micșora continuu pînă la 25%, concomitent avînd loc scăderea lui  $\bar{\mu}$  cu 2 %, resp. 6,5%. Din aceste diagrame se mai observă că în jurul secțiunii de curgere din scaunul supapei există zone cu valori mari resp. valori mici ale lui  $\bar{\mu}$  și  $n_M/n$ . Calculind cifrele medii pentru circumferința totală a secțiunii de curgere

$$(\bar{\mu})_m = 1/2 \int_0^{2\pi} \bar{\mu} d\gamma \quad 15.1./$$

$$(n_M/n)_m^* = 1/2 \int_0^{2\pi} n_M/n d\gamma \quad 15.2./$$

se pot deduce valorile cifrelor caracteristice din zona acoperită de ecran.

$$(\bar{\mu})_e = 360/e (\bar{\mu})_m - (\frac{360-e}{e}) \bar{\mu} \quad 15.3./$$

$$(n_M/n)_e = 360/e (n_M/n)_m^* - (\frac{360-e}{e}) n_M/n \quad 15.4./$$

In fig.5.4.14. s-au prezentat valorile  $(\bar{\mu})_e$  și  $(w_p/w_a)_e$  în funcție de poziția ecranului. In această diagramă s-a înlocuit  $(n_M/n)_e$  cu raportul dintre viteza periferică și cea axială a aerului  $(w_p/w_a)_e$ , știind că aceste două rapoarte sunt proporționale. Din alura acestor curbe s-au determinat zonele avantajoase de curgere  $/200^\circ \leq \gamma \leq 280^\circ/$  și de rotație ale aerului  $/120^\circ \leq \gamma \leq 200^\circ/$ , domenii care nu trebuie să fie acoperite de dispozitive de turbionare. Aceste zone avantajoase pentru curgerea și rotația aerului există și la canalul spiral fără supapă ecranată. De aici rezultă că canalul spiral pentru mărirea intensității rotației aerului trebuie astfel construit, încît în zonele unde aerul curge contrar mișcării de rotație principale, viteza periferică a aerului să fie menținută cât mai mică posibil și cîmpul acestor viteze să fie amplasat în zonele dezavantajoase pentru curgere. In zonele avantajoase pentru curgere, viteza aerului trebuie mărită.

Prin aceste încercări experimentale s-a arătat că

este posibilă reglarea mișcării organizate a aerului din camera de ardere a motorului D-103, cu menținerea aproximativ constantă a coeficientului de umplere prin folosirea unei supape ecranante / $\alpha=120^\circ$ / și a unei chiulase originale, la care canalul de admisiune este îmbunătățit din punct de vedere gazodinamic.

### 5.5. Rezultate obținute pe baza curbelor caracteristice ale canalelor de admisiune determinate prin încercări cvasistationare

La baza calculului cvasistationar /expresia 2.48 și 2.53./ al mișcării organizate a aerului din cilindru în cursul procesului de admisiune stă cunoașterea curbelor caracteristice de turbionare și de debit masic ale canalelor de admisiune, determinate cu ajutorul standului descris în cap. 3.4.

Scopul urmărit prin calculul cvasistationar a fost cercetarea influenței unor parametri asupra mișcării organizate a aerului din cilindru și verificarea prin confruntare cu rezultatele obținute la măsurătorile executate pe standul dinamic. Această metodă de cercetare s-a mai utilizat din motivul că la unele încercări experimentale este foarte greu de a se varia un singur parametru pentru a se putea studia influența lui asupra intensității mișcării organizate a aerului. Calculele s-au efectuat numai pentru procesul de admisiune. Trebuie menționat că valorile cifrei de turbionare de la sfîrșitul procesului de admisiune determinate astfel, se pot utiliza și pentru caracterizarea intensității mișcării organizate a aerului în cursul procesului de formare al amestecului, atât timp cât nu s-a modificat camera de ardere și volumul intersticiului.

Problema principală, care s-a urmărit prin încercări cvasistationare, a fost de a se elucida factorii de influență din timpul admisiunii asupra mișcării organizate a aerului din cilindru.

Curbele caracteristice determinate prin încercări cvasistationare pentru canalul original D-103, pentru chiulasă specială cu camera de ardere, pentru canalul original D-103 echipat cu o supapă ecranată, pentru modelul de canal de admisiune

îmbunătățit nr.6, se arată în fig. 5.5.1 - 5.5.7.

ACESTE CURBE CARACTERISTICE AU STAT LA BAZA CALCULOR EFECTUATE. DIN EXPRESIILE 2.48 și 2.53 SE poate OBSERVA că CIFRA DE TURBIONARE DEPINDE DE MASA DE AER ADMISĂ, d, ACEEA PENTRU SIMPLIFICARE S-AU PRESCRIS FORME GEOMETRICE SIMPLE/dreptunghi, trapez, triunghi/ DE CURBE DE VARIATIE ALE DEBITULUI MASIC DE AER ÎN TIMPUL PROCESULUI DE ADMISIUNE. DUPĂ CE S-A STUDIAT, PRIN ACEASTĂ METODĂ SIMPLIFICATĂ, INFLUENȚA FORMEI CURBEI DE VARIATIE A DEBITULUI MASIC ASUPRA MIȘCĂRIII ORGANIZATE A AERULUI, S-A TRECUT LA CALCULUL EXACT, DETERMININDU-SE ANALITIC RESP. PRIN MĂSURARE, PRESIUNEA DIN CILINDRUL MOTORULUI ÎN TIMPUL PROCESULUI DE ADMISIUNE. CUNOSCEND PRESIUNEA, S-A CALCULAT VARIATIA MASEI DE AER ADMISĂ și APOL CIFRA DE TURBIONARE.

PENTRU CALCULUL SIMPLIFICAT S-AU UTILIZAT CURBELE CARACTERISTICE ARITATE ÎN FIG. 5.5.8. și 5.5.9. (care s-au OBȚINUT PRIN ELIMINAREA PARAMETRULUI PRESIUNE DIN CILINDRU) PRECUM și PRIN VARIATIA VOLUMULUI DIN CILINDRU, A DESCHIDERII SUPAPEI DE ADMISIUNE și A CURSEI PISTONULUI, ÎN FUNCȚIE DE UNGHIAUL DE ROTIRE AL ARBORELUI COTIT /FIG. 5.5.10./.

### 5.5.1. Influențele asupra mișcării organizate a aerului din cilindru în timpul procesului de admisiune

#### 5.5.1.1. Influența coeficientului de umplere

S-AU CONSIDERAT DIFERITE CURBE DE VARIATIE ALE DEBITULUI MASIC, AȘA CUM SE ARATĂ ÎN FIG. 5.5.11., FIECARE CURBĂ AVIND DURATA PROCESULUI DE ADMISIUNE EGALĂ și COEFICIENTUL DE UMLEARE PROPORTIONAL CU SUPRAFAȚA DINTRE ACESTE CURBE și ABSISA ACESTOR CURBE. REZULTATELE OBȚINUTE/ FIG. 5.5.11./ ARATĂ că LA AFIRGIȚUL CURSEI DE ADMISIUNE, LA O CREȘTERE A COEFICIENTULUI RELATIV DE UMLEARE CREȘTE LINIAR VITEZA UNGHIALĂRĂ A ROTAȚIEI AERULUI. ACEASTĂ CREȘTERE SE EXPLICĂ PRIN FAPTUL că MOMENTUL CINETIC AL MASEI DE AER ADMISĂ LA DESCHIDERILE MICI ALĂ SUPAPEI CREȘTE CU MĂRIREA DEBITULUI MASIC PRIN CANALUL DE ADMISIUNE. MĂRIREA ACEASTĂ ESTE LIMITATĂ DE DEBITUL MASIC, LA CARE APARE VITESA SUNETULUI ÎN SECȚIUNEA DE TRECERE CONTROLATĂ

de supapa de admisiune.

In practică, așa cum se arată în capituloare care vor urma, apare la creșterea coeficientului de umplere al unei instalații de admisiune și o schimbare a curbei de variație a debitului masic de altă natură decit cea considerată. În consecință nu va apărea o dependență strict proporțională între coeficientul de umplere și viteza unghiulară.

Prin rezultatele arătate mai sus se constată că intensitatea mișcării organizate a aerului este dependentă de coeficientul de umplere.

#### 5.5.1.2. Influența curbei de variație a debitului masic prin canalul de admisiune în cazul menținerii constante a coeficientului de umplere

In vederea determinării allurei de variație a debitului masic prin canalul de admisiune s-au ales diferite curbe /15, 5, 5, 12, /, menținindu-se constantă suprafața de sub curba și forma canei de admisiune.

Rezultatele obținute sunt redăte în fig. 5.5.12. din care se poate observa influența allurei curbelor de variație ale debitului masic asupra vitezei unghiulare a aerului în timpul procesului de admisiune. Se mai observă că mărimea maximului curbei debitului masic influențează în mod deosebit viteză unghiulară a aerului de la sfîrșitul cursei de admisiune.

Din acest motiv rezultă că, pentru a se obține o mișcare organizată intensă a aerului în cilindru, la un coeficient de umplere constant, este necesar un debit masic maxim de aer în canalul de admisiune. În cazul în care debitul masic maxim este redus și curge pe un interval mic din timpul procesului de admisiune, momentul cinetic total al aerului va fi scăzut din cauza vitezelor unghiulare mici ale aerului.

Pentru a se obține o mișcare organizată intensă este mai avantajos ca la deschiderile mici ale supapei de admisiune, la care viteza unghiulară a aerului este redusă, să curgă o cantitate mică de aer, iar la deschiderile mari să curgă o cantitate cit mai mare de aer în cilindru, obținindu-se astfel o încărcătură

de aer cu un moment cinetic mare.

In consecință rezultă că la un anumit canal de admisiune nu este obligatoriu să se obțină la același coeficient de umplere aceeași intensitate a mișcării organizate a aerului.

**5.5.1.3. Influenta pozitiei maximului curbei de variație a debitului masic prin canalul de admisiune în cazul menținerii constante a coeficientului de umplere**

In capitolul precedent s-a constatat că mărimea maximului curbei de variație a debitului masic prin canalul de admisiune are o influență hotărîtoare asupra intensității mișcării organizate a aerului. De aceea, s-a studiat în continuare influența pozitiei acestui maxim față de deschiderea maximă a supapei de admisiune asupra mișcării organizate a aerului.

Deoarece alura curbei de variație reală a debitului masic în funcție de deschiderea supapei de admisiune are o formă trapezoidală, s-au ales trei curbe cu această formă. Curba mijlocie s-a amplasat cu mijlocul domeniului maxim în dreptul curselor maxime a supapei de admisiune, iar celelalte două curbe s-au mutat cu  $20^{\circ}$  RAC în stînga, resp. în dreapta, așa după cum se poate vedea din fig. 5.5.13. Se constată că această modificare a curbei de variație a debitului exercită o influență neînsemnată asupra mișcării organizate a aerului din cilindru la sfîrșitul procesului de admisiune. Rezultă că mijlocul domeniului maxim al curbei de variație a debitului masic nu trebuie să corespundă cu cursa maximă a supapei de admisiune. La canalul de admisiune încercat, o mutare a domeniului maxim al curbei de variație a debitului masic cu  $20^{\circ}$  RAC în stînga sau în dreapta este posibilă, fără să apară o schimbare sensibilă a mișcării organizate a aerului la sfîrșitul procesului de admisiune. Măsurările efectuate pe canalele de admisiune cercetate cu ajutorul standului cvasistaționar au arătat că abaterea valorii maxime a curbei de variație a debitului masic față de cursa maximă a supapei de admisiune se situează în domeniul arătat mai sus.

Domeniul admisibil pentru abaterea valori maxime a

curbei de variație a debitului masic nu se poate generaliza. Trebuie determinat pentru fiecare canal în parte. Acest fapt se poate explica cu ajutorul fig. 5.5.9., la care pe abscisa s-a trecut cursa supapei de admisiune, iar pe ordinată debitul masic al aerului scurs prin canalul de admisiune. Din curbele de egală viteză unghiulară se poate observa că de la o anumită deschidere a supapei de admisiune /h = 7 mm/, viteză unghiulară a aerului rămâne aproximativ constantă la același debit masic, deci supapa de admisiune se deschide în continuare. Alura cu pantă redusă și a vitezelor unghiulare constante, în domeniul curselor mari ale supapei de admisiune, explică insensibilitatea canalului de admisiune din punct de vedere al mișcării organizate a aerului în cilindru asupra poziției valorii maxime a curbei de variație a debitului masic.

În cazul în care pantă liniilor de egală viteză accentuată pînă la cursa maximă a supapei de admisiune, poziția valorii maxime a curbei de variație a debitului maxim influențează mult mișcarea organizată a aerului în cilindru. Aceasta înseamnă că forma canei de admisiune va influența mult această mișcare. Adaptarea acestei cane la canalul de admisiune este o operație dificilă. Prin urmare, la concepția canalelor de admisiune este recomandată realizarea unei mișcări organizate intențioane de la deschideri repuse ale supapei de admisiune.

După acest studiu general s-a trecut la cercetarea influenței factorilor de stare, funcționali și constructivi asupra mișcării organizate a aerului și a pierderilor gazodinamice.

#### 5.5.1.4. Influența factorilor de stare

##### Presiunea initială

Prin presiunea initială se înțelege presiunea încărcăturii prospete la intrarea ei în organele de admisiune ale motorului. Pentru motorul cu admisiune normală, presiunea initială este în general presiunea mediului ambient. Variatiile presiunii initiale au o influență mare asupra presiunii din cilindru și prin aceasta asupra masei de aer admisă. Astfel, reducerea presiunii exterioare determină micșorarea presiunii de admisiune.

Coefficientul de umplere  $\gamma$ , este raportul dintre

masa de încărcătură proaspătă  $m_z$  care intră în realitate în cilindru și masa de încărcătură proaspătă  $m_0$  care poate ocupa cilindrerea  $V_s$  în condițiile initiale de referință, adică în urma unui proces fără pierderi termogazodinamice.

Masa de aer care intră în realitate în cilindru  $m_z$  este influențată de variațiile presiunii initiale, deoarece aceste variații provoacă o modificare a densității aerului. Astfel, pentru un motor dat și în condițiile variației presiunii initiale, rezultă:

$$m_z = m_0 \cdot v = \rho_0 \cdot V_s \cdot v = V_s \cdot p_0 / R T_0 \cdot v = p_0 \cdot \text{const.}$$

și deci masa de aer reținută în cilindru variază direct proporțional cu presiunea initială.

Pentru calcul s-a ales alura curbei de variație a debitului masic prin canalul de admisiune de formă trapezoidală pentru o anumită presiune initială, cu care s-au determinat apoi curbele proporționale, în funcție de presiunea initială, așa cum se arată în fig. 5.5.14. La majorarea presiunii initiale, se constată o creștere a vitezei unghiulare a aerului la sfârșitul procesului de admisiune, fapt ce se poate explica prin mărirea masei de aer admisă în cilindru, resp. a momentului cinetic al acestei mase.

În cazul supraalimentării motorului rezultă o intensificare a mișcării organizate a aerului, iar în cazul functionării motorului la o anumită altitudine se reduce intensitatea acestei mișcări. La o altitudine de cca 2.000 m, cifra de turbionare se reduce cu cca 13 % față de cea determinată la nivelul mării.

#### Temperatura inițială

Prin temperatură inițială se înțelege temperatura încărcăturii proaspete la intrarea ei în organele de admisiune ale motorului. Pentru motorul cu admisiune normală, temperatură inițială  $T_0$  este temperatura mediului ambiant.

În vederea studierii acestui parametru de influență s-a calculat în primul rînd variația presiunii din cilindru, considerind cifra de încălzire  $\gamma_e = 1$ . Din variația presiunii din cilindru s-au determinat cu expresiile deduse în cap. 2.2.2.

Masa de aer admisă  $m_{zA}$  în intervalul de timp  $5^0$  RAC și viteza unghiulară cvasistationară a aerului  $\omega_A$ . Cu aceste două mărimi s-a determinat apoi curba de variație a cifrei de turbionare. Variația mărimilor calculate în funcție de unghiul de rotație al arborelui cotit, pentru temperaturile de  $253^0K$ ,  $301^0K$  și  $323^0K$ , sunt redate în figurile 5.5.15.-5.5.18., iar comparația rezultatelor obținute în fig. 5.5.19. Cu creșterea temperaturii inițiale se constată o scădere a intensității mișcării organizate a aerului, deși coeficientul de umplere crește. Acest fapt se explică în felul următor :

Masa încărcăturii reținute în cilindru este

$$m_z = S_0 V_z \tau_v = \text{const. } S_0 \tau_v,$$

deci trebuie examinată dubla dependență a lui  $m_z$  de  $T_0$  și anume prin intermediul lui  $S_0 = \text{const.}/T_0$ , care scade cu creșterea lui  $T_0$  și prin intermediul lui  $\tau_v$ , care crește la mărirea lui  $T_0$ . Din calcul se constată că la mărirea temperaturii inițiale  $T_0$ , densitatea aerului scade mai mult decât crește coeficientul de umplere. Prin urmare, masa  $m_z$  de aer care umple în realitate cilindrul se micșorează și prin aceasta scade și momentul kinetic al aerului admis, rezultând o cifră de turbionare mai redusă.

Analizând expresia /3.20./ se constată că o majorare a temperaturii de la  $T_{01}$  la  $T_{02}$  se manifestă ca și cum  $w_{ml}$  să ar fi redus la  $w_{m2} = w_{ml} \cdot T_{01}/T_{02}$ . La aceeași cursă a pistonului S și același diametru relativ  $b$ , reducerea sus menționată este echivalentă cu o reducere a vitezei de rotație a arborelui cotit. Această reducere, așa cum se arată în capitolul următor, este echivalentă cu o reducere în aceeași proporție a cifrei de turbionare.

#### 5.5.1.5. Influența factorilor funcționali

##### Viteza de rotație a arborelui cotit

Influența vitezei de rotație a arborelui cotit asupra mișcării organizate a aerului în cilindru s-a studiat în regim subcritic și supracritic, aplicând expresiile deduse în cap.2.2.2.

În cazul în care presiunea din cilindru în timpul admisiunii nu atinge presiunea critică, se constată, așa cum se arată în fig. 5.5.20., o dependență proporțională între viteza

unghiulară a aerului la sfîrșitul admisiunii și viteza de rotație a arborelui cotit. Raportul celor două mărimi, denumit cifra de turbionare, este constant pe întregul domeniu de variație a vitezei de rotație a arborelui cotit. Vîrtejul aerului se comportă parcă a fi cuplat cu arborele cotit cu un anumit raport de transmisiune.

Din diagramele din fig. 5.5.21. - 5.5.25. se observă că în momentul în care se atinge viteza critică a aerului în secțiunea de trecere controlată de supapă, adică presiunea din cilindru scade sub presiunea critică, dependența proporțională între viteza unghiulară a aerului la sfîrșitul admisiunii și viteza de rotație a arborelui cotit nu mai este satisfăcută. Aceasta înseamnă că cifra de turbionare nu mai este constantă pe întregul domeniu de viteze de rotație ale arborelui cotit. De la o anumită viteză de rotație a arborelui cotit cifra de turbionare descrește cu mărirea vitezei de rotație.

### Sarcina

In general la motoarele cu formarea amestecului în interior prin injectie, la variația sarcinii motorului variază numai cantitatea de combustibil injectat și nu se modifică nimic în procesul de admisiune al încărcăturii proaspete. Cu toate acestea, sarcina motorului poate manifesta o oarecare influență asupra încărcăturii proaspete. În adevăr, de ex. la mărirea sarcinii crește cantitatea de gaze arse reziduale și se intensifică regimul termic al motorului. În consecință cresc temperaturile suprafețelor cu care ia contact încărcatura proaspătă, la trecerea ei prin sistemul de admisiune și în cilindru. Din această cauză coeficientul de umplere se îngăduitește în oarecare măsură și prin aceasta și mișcarea organizată a aerului de admisiune. Efectul de încălzire al aerului admis în cilindru s-a studiat prin intermediul coeficientului de încălzire  $\tilde{\tau}_e$ .

### Coefficientul de încălzire $\tilde{\tau}_e$

In calculele efectuate pînă la acest capitol al

lucrării s-a considerat pentru simplificare, coeficientul de încălzire  $\tilde{\gamma}_e = 1$ , ceace este valabil în cazul motorului aținut din exterior, adică al modelului dinamic.

Determinarea coeficientului de încălzire  $\tilde{\gamma}_e$  este foarte dificilă și realizabilă numai pe cale experimentală.

Stambuleanu /79/, Drucker /79/ și Kess /79/ indică formule pentru calculul coeficientului de încălzire bazate pe cercetări experimentale.

Analizând expresia /2.20./ se constată, că încălzirea încărcăturii în cursul procesului de admisiune se manifestă asupra variației presiunii în cilindru ca și o schimbare a vitezei medii  $v_m$ . La același cursă a pistonului S și același diametru relativ  $b$ , schimbarea vitezei medii este echivalentă cu schimbarea vitezei de rotație a arborelui cotit.

$$v_{m2} = v_{m1} \tilde{\gamma}_1 \tilde{\gamma}_2 \text{ sau } n_2 = n_1 1/\tilde{\gamma}_2, \text{ pentru } \tilde{\gamma}_1 = 1.$$

Crescerea coeficientului de încălzire se manifestă ca o reducere a vitezei de rotație a arborelui cotit și prin aceasta, așa cum s-a arătat, scade și intensitatea mișcării organizate a aerului din cilindru.

Curbele obținute la un exemplu de calcul pentru  $\tilde{\gamma}_e = 1,06$  se arată în fig. 5.5.26. Comparând cifra de turbionare de la sfîrșitul admisiunii pentru  $\tilde{\gamma}_e = 1,06$  cu cea obținută pentru  $\tilde{\gamma}_e = 1$  (fig. 5.5.28) se obține o scădere a acestei cifre cu cca. 5%.

#### 5.5.1.6. Influența factorilor constructivi

##### Luzna de deschidere a supapei de admisiune

Influența legii de deschidere a supapei de admisiune asupra mișcării organizate a aerului în cilindru s-a studiat, în prima etapă, cu ajutorul curbei de variație a debitului masic de formă trapezoidală. Pentru a evidenția numai influența formei camei de admisiune s-a considerat, pentru ambele variante de came studiate, aceeași curbă de variație a debitului masic. În cazul funcționării motorului cu modificarea camei de admisiune, așa cum se va arăta mai jos, se modifică și forma curbei de variație a debitului masic din canalul de admisiune.

Din fig. 5.5.27. se poate observa că printr-o deschidere mai rapidă decit în cazul motorului original, se obține o mărire a cifrei de turbionare de la sfîrșitul procesului de comprimare de cca. 2,5 - 3 %.

In cazul cind se ține seamă și de modificarea curbei de variație a debitului masic în timpul procesului de admisiune, așa cum se întâmplă în realitate în motor în urmă modificării legii de deschidere a supapei de admisiune, se constată că cifra de turbionare este foarte puțin influențată de forma camei de admisiune.

In tabel care urmează (tabela 5.5.1.) sunt redate legile de deschidere a supapei de admisiune studiate . In cadrul acestui studiu s-a cercetat și influența jocului între supapa de admisiune și culbutor. Se observă o creștere a intensității mișcării organizate a aerului cu mărirea jocului între supapa de admisiune și culbutor, dar acest fenomen este însoțit de o micșorare a coeficientului de umplere, așa cum a fost de așteptat.

In concluzie, modificările efectuate asupra legii de deschidere a supapei de admisiune a motorului de D-loz au arătat că ele nu influențează sensibil mișcarea organizată a aerului în cilindru la sfîrșitul procesului de admisiune. Acest fapt se explică prin alura cu o pantă redusă a curbelor caracteristice / vezi fig. 5.5.28./ ale canalului de admisiune al acestui motor.

#### Raportul de comprimare

Valoarea raportului de comprimare s-a modificat prin intermediul volumului camerei de ardere, variind înălțimea ei.

Rezultatele obținute pentru raportul de comprimare  $\varepsilon = 10$  se arată în fig. 5.5.36. Comparind cifra de turbionare de la sfîrșitul procesului de admisiune cu cea obținută la  $\varepsilon = 17$  /fig. 5.5.38./ resultă o modificare neglijabilă a intensității mișcării organizate a aerului.

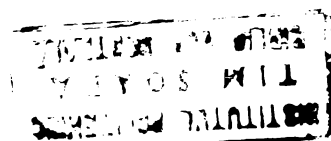


Tabela 5.5.1.

#	nr	5.5.20 h[mm]	5.5.29 h[mm]	5.5.30 h[mm]	5.5.31 h[mm]	5.5.32 h[mm]	5.5.33 h[mm]	5.5.34 h[mm]	5.5.35 h[mm]
1	0	0,73	0,77	0,67	0,77	1,13	0,33	0	0,77
2	10	1,44	2,20	1,20	2,20	1,83	1,04	0,134	2,00
3	20	2,64	3,80	1,90	3,80	3,04	2,24	1,54	3,80
4	30	4,24	5,53	3,00	5,50	4,64	3,84	3,14	5,50
5	40	5,85	7,00	4,60	7,00	6,25	5,45	4,75	7,00
6	50	7,28	8,30	6,20	8,30	7,68	6,88	6,18	8,50
7	60	8,50	9,40	7,60	9,40	8,90	8,10	7,40	9,50
8	70	9,52	10,10	8,90	10,10	9,90	9,10	8,40	10,20
9	80	10,30	10,60	9,90	10,60	10,63	9,89	9,19	10,70
10	90	10,82	11,90	10,70	11,00	11,20	10,42	9,72	11,00
11	100	11,15	11,20	11,20	11,20	11,55	10,75	10,05	11,15
12	110	11,20	11,10	11,10	11,10	11,57	10,77	10,10	11,20
13	120	11,05	10,90	10,90	10,90	11,45	10,65	10,05	10,05
14	130	10,70	10,50	10,30	10,70	11,10	10,30	9,60	10,70
15	140	10,00	9,70	9,30	10,40	10,48	9,68	8,98	10,00
16	150	9,25	8,70	8,00	9,80	9,66	8,86	8,16	9,26
17	160	8,20	7,50	6,50	8,90	8,65	7,85	7,05	8,25
18	170	7,04	6,00	5,20	7,80	7,45	6,65	5,95	7,045
19	180	5,55	4,50	3,40	6,70	6,05	5,25	4,55	5,65
20	22 ad	3,57	3,58	3,56	3,59	3,60	3,66	3,72	3,58
21	8+	0,867	0,87	0,825	0,882	0,872	0,85	0,837	0,869

### Supapa ecranață

Variatia mărimilor calculate pentru cazul în care s-a echipat canalul de admisiune original al motorului D-103 cu o supapă ecranață este redată în fig. 5.5.18. Se constată mărirea așteptată a intensității mișcării organizate a aerului, ceea ce și reduceerea coeficientului de umplere prin utilizarea supapei e-cranațe.

### 5.5.2. Canale de admisiune îmbunătățite ale motorului D-lo<sub>3</sub>

Pe baza concluziilor trase la încercările staționare s-au construit două modele de canale de admisiune îmbunătățite din punct de vedere al pierderilor gazodinamice și mișcării organizate a aerului și care s-au notat cu numerele 5 și 6. La aceste modele de canale de admisiune s-au determinat cu ajutorul standului cvasistaționar curbele caracteristice.

In fig. 5.5.37., resp. 5.5.38. sunt arătate variațiile mărimilor caracteristice ale celor două canale, calculate în funcție de unghiul de rotație al arborelui cotit. Comparind curbele de variație ale cifrei de turbionare și ale masei de aer admis cu cele obținute la canalul original, se constată la modelul de canal nr.5 o mărire a coeficientului de umplere cu 6 % și o micșorare a cifrei de turbionare cu 7,5 %.

La modelul de canal nr.6 /al cărui miez se arată în fig. 5.5.39./ luându-se măsuri pentru intensificarea mișcării organizate a aerului și reducerea pierderilor gazodinamice, printr-o modelare corespunzătoare a secțiunilor de curgere ale canalului, s-a obținut o mărire a coeficientului de umplere cu 6,5 % și o mărire a cifrei de turbionare cu 10 %.

In consecință aceste modele de canale și în special modelul de canal nr.6 arată că este posibilă îmbunătățirea canalului original al motorului D-lo<sub>3</sub> atât din punct de vedere al pierderilor gazodinamice, cât și al mișcării organizate a aerului.

### 5.6. Rezultatele obținute la cercetarea mișcării organizate a aerului cu ajutorul modelului dinamic și comparația lor cu cele determinate cu ajutorul modelului de calcul

In acest capitol sunt redate rezultatele obținute în urma prelucrării celor peste 500 de oscilograme, înregistrate cu ajutorul modelului dinamic pentru diferite regimuri de funcționare și variante de montaj ale modelului. De asemenea sunt arătate rezultatele obținute la studiul analitic al unor

factori de influență constructivi asupra mișcării organizate a aerului în camera de ardere în timpul procesului de comprimare, cu ajutorul modelului de calcul prezentat în cap.2.3. al lucrării. Resultatele obținute cu ambele metode sunt comprimate în cadrul subcapitolelor care urmează.

### 5.6.1. Mișcarea organizată a aerului într-un cilindru fără cavitate în piston

În vederea studierii mișcării organizate a aerului într-un cilindru fără efect de expluzare a aerului în direcția radială în timpul procesului de comprimare, s-a umplut cavitatea pistonului /camera de ardere/ cu o răsină sintetică. Volumul, resp. înălțimea interstițiului dintre chiulase și piston s-a mărit pînă la o valoare care a permis montarea anemometrului și a lagărelor sale. Această modificare atrage după sine micșorarea raportului de comprimare care, așa cum s-a arătat nu are o influență sensibilă asupra mișcării organizate a aerului la sfîrșitul procesului de admisiune.

În fig. 5.6.1. sunt arătate rezultatele obținute cu varianta de montaj a modelului dinamic descrisă mai sus. Pe linăgă curba de variație a vitezei de rotație a anemometrului s-a trecut în diagramă și curba de variație a cifrei de turbionare

$\Omega_{ad}$ , a raportului relativ de viteză unghiulară a aerului  $\omega_A/\omega$  și a masei de aer admisă  $m_{gA}$  în intervalul  $\alpha = 5^\circ$  RAC. Ultimele două curbe s-au determinat cu ajutorul standului cvasistacionar, iar cu aceste curbe s-a calculat variația cifrei de turbionare în funcție de unghiul de rotație al arborelui cotit.

Se constată că la finele procesului de admisiune întreaga încărcatură a cilindrului are o viteză medie de rotație care se păstrează și în procesul de comprimare, avînd o tendință de scădere din cauza fenomenelor de frecare.

La calculul vitezei unghiulare a aerului în cilindru s-a admis că acesta este complet gol și că nu există scăpări și frecări la curgerea aerului. În realitate însă, situația este puțin diferită, așa cum arată de altfel și curba măsurată a vitezei de rotație a anemometrului. În cilindrul modelului dinamic, la începutul unui nou ciclu, există încă o masă remanentă

de aer, de la ciclul precedent, cu un anumit moment cinetic care nu este neglijabil, mai ales la inceputul procesului de admisiune. Așa după cum arată măsurătorile efectuate la umplerea cilindrului cu încărcătură proaspătă influența vîrtejului remanent asupra intensității mișcării organizate a aerului din cilindru scade, ajungând aproape neglijabil la sfîrșitul admisiunii.

### 5.6.2. Mișcarea organizată a aerului în camera de ardere

Mișcarea organizată a aerului în camera de ardere s-a studiat cu ajutorul chiulasei speciale descrise în capitolul 3.5. /prevăzută cu o cameră de ardere foarte ușor accesibilă și schimbabilă/, precum și cu ajutorul camerei de ardere de formă cilindrică în pistonul original al motorului D-103.

In fig.5.6.2. sint arătate rezultatele experimentale obținute la măsurarea vitezei de rotație a aerului din camera de ardere a chiulasei speciale, echipate cu o supapă ecranată. Măsurătorile au fost executate cu anemometre de mărimi diferite. Se poate constata că în timpul procesului de comprimare apare intensificarea așteptată a mișcării organizate a aerului. Această intensificare este accentuată către sfîrșitul procesului de comprimare, începînd de la cca. 300° RAC. Comparînd curbele obținute cu cele trei anemometre se observă că structura vîrtejului din camera de ardere se modifică. Determinînd vîteza periferică în funcție de raza camerei de ardere, pentru cîteva unghiuri de rotație ale arborelui cotit /vezi în partea de sus a fig. 5.6.2./, se poate determina felul cum se modifică structura vîrtejului. Se constată că în jurul punctului mort interior structura vîrtejului este apropiată de cea a unui turbion care se rotește în baza legii corpului cvasisolid, fapt constatat și prin vizualizările efectuate în camera de ardere.

Variatia vitezei de rotație a anemometrului în funcție de unghiul RAC, pentru un ciclu întreg și pentru două supape ecranate (cu diferențe unghiuri ale ecranului) sunt reda-

te în fig. 5.6.3. Alura acestor curbe se explică în felul următor: La începutul procesului de admisiune masa de aer din camera de ardere are o viteză de rotație destul de mare, pe cind masa de aer admisă proaspăt are o viteză de rotație mică, iar prin aceasta se reduce intensitatea mișcării organizate a aerului. Înăuntră cu deschiderea supapei de admisiune crește masa de aer admisă și prin aceasta momentul cinetic al încărcăturii. Efectul acestei creșteri este intensificarea mișcării organizate a aerului către sfîrșitul procesului de admisiune. În timpul procesului de comprimare, printr-o altă repartizare a maselor și în virtutea legii de conservare a momentului cinetic, mișcarea organizată a aerului este intensificată, ajungindu-se la un maxim în jurul p.m.i. Poziția maximului după p.m.i. este cauzată de inertiea masei de aer și a anemometrului. Curgerea aerului din camera de ardere în timpul procesului de desfindere produce, conform legii de conservare a momentului cinetic, o nouă mișcare de rotație a aerului în ciindru.

Rezultatul obținut în un exemplu de calcul pentru procesul de comprimare este indicat în fig. 5.6.4. În partea dreaptă sus a figurii este redată curba de variație a cifrei de turbionare din cavitatea pistonului /camera de ardere/, iar în partea dreaptă jos a figurii curba de variație a cifrei de turbionare din volumul inelar al interstițiului dintre chiulamă și capul pistonului, pentru diferite raze relative ale acestui volum, în funcție de unghiul de rotație al arborelui cotit. Partea stingă sus a figurii reprezintă structura mișcării organizate a aerului în camera de ardere, iar în partea de jos structura acestei mișcări în volumul inelar, pentru diferite unghiuri de rotație ale arborelui cotit.

Analizând aceste diagrame se constată că mișcarea organizată a aerului în camera de ardere se intensifică în jurul unghiului  $\approx 300^\circ$ RAC, fapt constatat și la măsurătorile efectuate pe modelul dinamic. Maximul acestei curbe se situează în p.m.i., fiind neglijate efectele de inertie.

În fig. 5.6.5. este redată pentru aceeași variante de montaj ale modelului dinamic o comparație între cifrele turbinare determinate atât pe cale teoretică, cât și prin măsură-

tori experimentale. Se poate constata că curbele de variație ale celor două cifre de turbionare sunt asemănătoare, curba măsurată experimental fiind puțin deplasată față de cea teoretică din cauza inertiei aerului și a anemometrului. Valoarea maximă a cifrei de turbionare măsurată experimental este mai redusă decât cea determinată pe cale teoretică, din cauza pierderilor prin frecare și neetansietății.

### 5.6.3. Influente asupra mișcării organizate a aerului în camera de ardere

#### 5.6.3.1. Influenta factorului funcțional viteza de rotație a arborelui cotit

Influența vitezei de rotație a arborelui cotit asupra mișcării organizate a aerului s-a studiat în capitolul 5.5.15. În diagramele din fig. 5.6.6. și 5.6.7. sunt prezentate rezultatele obținute la măsurarea vitezei de rotație a aerului în camera de ardere. Pentru fiecare variantă de montaj s-a reprezentat viteză de rotație a anemometrului funcție de viteză de rotație a arborelui cotit și strucatura mișcării organizate a aerului din camera de ardere. Se constată și pe cale experimentală că în cazul normal, cînd nu apare viteză critică în sechitura de trecere controlată de supapă de admisiune, virtejul de aer din camera de ardere se comportă parcă ar fi cuplat de arborele cotit printr-un anumit raport de transmisie. În fig. 5.6.6. a resp. 5.6.7.b se arată și o comparație între vitezele de rotație ale aerului la sfîrșitul procesului de admisiune resp. de comprimare, calculate teoretic și măsurate experimental. Se observă că valorile vitezelor măsurate sunt inferioare celor calculate, așa după cum s-a și așteptat.

În cazul măsurătorilor efectuate cu chiulasa specială, cu diverse forme de camere de ardere /vezi fig. 5.6.17./, se constată că dependența proporțională între viteză de rotație a anemometrului și cea a arborelui cotit este satisfăcută pînă la o viteză de rotație a arborelui cotit de aproximativ 950 rot/min. Acest fapt corespunde cu rezultatele

obținute pe cale analitică în baza curbelor caracteristice ale canalilor de admisiune, unde s-a constatat apariția vitezei critice la o viteză de rotație a arborelui cotit de cca. 900 rot/min. După atingerea vitezei critice în secțiunea de treiere controlată de supapa de admisiune, mărirea în continuare a vitezei de rotație a arborelui cotit are ca efect o creștere din ce în ce mai mică a vitezei de rotație a aerului. De la o viteză a arborelui cotit de cca. 1450 rot/min., vîteza aerului rămîne constantă, deși vîteza arborelui cotit crește remarcindu-se chiar la atingerea valorii de 1750 rot/min. o tendință de scădere a vitezei de rotație a aerului, fapt ce se explică prin scăderea momentului cinetic al maselor de aer admisi, din cauza creșterii pierderilor gazodinamice.

### 5.6.3.2. Influența factorilor constructive

#### Volumul relativ al interstițiului $\varepsilon_0$

Din măsurările efectuate pentru diferite volume relative ale interstițiului / $\varepsilon_0 = 0,0096$  și  $0,0560$ , fig. 5.6.6.a și fig. 5.6.7.b/ se constată o influență însenată a acestui volum asupra mișcării organizate a aerului. Astfel la o majorare a acestui volum de la  $0,0096$  la  $0,0560$  se micșorează vîteza de rotație a aerului din camera de ardere la sfîrșitul procesului de comprimare de aprox. 1,55 ori.

Influența volumului interstițiului se poate studia fie prin varierea raportului de comprimare, fie prin menținerea constantă a acestui raport. Întrucât modificările necesare la modelul dinamic pentru acest studiu sunt complicate, s-a continuat cercetarea pe cale analitică.

În fig. 5.6.8.A și fig. 5.6.8.B se pune în evidență faptul că creșterea volumului interstițiului influențează mult mișcarea organizată a aerului în ambele cazuri ale raportului de comprimare /considerat variabil, resp. constant/. Această comportare este o consecință a reîncerii maselor de aer care refulează din volumul inelar al interstițiului în camera de ardere.

Înolul deosebit de dezavantajos al sporirii volumului interstițiului asupra puterii motorului se manifestă pe două căi. Pe de o parte aerul rămas în volumul inelar al interstiți-

lui nu este direct disponibil pentru formarea amestecului și pentru ardere, iar pe de altă parte el reduce intensitatea mișcării organizate din camera de ardere, mișcare extrem de importantă pentru procesul de formare a amestecului.

Dependențele cifrei de turbionare de volumul relativ al interstițiului și de raportul de comprimare pentru diferite valori ale diametrului relativ al camerei de ardere sunt arătate în fig. 5.6.8.D.

#### Raportul de comprimare

Modificind la modelul dinamic raportul de comprimare prin intermediul înălțimii camerei de ardere amplasată în chiulasă specială și măsurând viteza de rotație a aerului în camera de ardere, se constată că această modificare nu are o influență sensibilă asupra mișcării organizate a aerului în această cameră. Rezultatele măsurătorilor obținute pentru rapoarte de comprimare de 8,15 ; 10,8 ; 11,3 și 15 sunt redăte în oscilogramele nr. 225 /fig. 5.6.10./, 54 /fig. 5.6.12./, 74 /fig. 5.6.11./ și 76 /fig. 5.6.9./.

Influența raportului de comprimare asupra mișcării organizate a aerului depinde și de modul în care se modifică acest raport. Valoarea raportului de comprimare poate fi modificată fie prin varierea volumului relativ al camerei de ardere / $\varepsilon_M$ /, fie prin modificarea volumului relativ al interstițiului / $\varepsilon_O$ /, fie pe ambele căi. Acest studiu fiind complicat în cazul modelului dinamic, s-a continuat cercetarea numai pe cale analitică.

Dependența dintre cifra de turbionare și raportul de comprimare pentru diferite volume și diametre relative ale camerei de ardere, precum și pentru o valoare constantă a volumului relativ al interstițiului, se prezintă în fig. 5.6.8.C. Din aceste diagrame se observă acelaș lucru ca și la măsurătorile efectuate pe modelul dinamic, anume că raportul de comprimare influențează într-un mod neînsemnat mișcarea organizată a aerului în camera de ardere. Domeniul de variație al cifrei de turbionare pentru diferite valori ale diametrului relativ al camerei de ardere și pentru limitele raportului

de comprimare  $\varepsilon = 10 - 19$  se arată în fig. 5.6.8. D.

In cazul menținerii constante a volumului relativ al camerei de ardere /fig. 5.6.13./ se constată o dependență inversă a cifrei de turbionare de raportul de comprimare. Această dependență se explică prin faptul că menținând constant volumul relativ al camerei de ardere, trebuie să se varieze volumul relativ al interstițiului. Astfel, o scădere a raportului de comprimare este însotită de o creștere rapidă a volumului relativ al interstițiului. Această creștere are ca efect o reducere a intensității mișcării organizate a aerului.

#### Diametrul relativ al camerei de ardere

In fig. 5.6.14. se arată oscilogramele obținute la măsurările efectuate cu diferite camere de ardere pe modelul dinamic. Primele două camere de ardere fiind cilindrice se deschid numai prin diametrele lor relative. Comparând curba vitezei de rotație a anemometrului pentru prima cameră de ardere / $\beta = 0,48$ / cu cea obținută pentru a două / $\beta = 0,45$ /, se observă o creștere a intensității mișcării organizate a aerului de 1,135 ori.

In toate diagramele determinate pe cale experimentală și prezentate mai sus se remarcă o influență mare a parametrului "diametrul relativ al camerei de ardere" asupra intensității mișcării organizate a aerului în camera de ardere.

C creștere a diametrului relativ al camerei de ardere /fig. 5.6.15./ micșorează evident cifra de turbionare prin mărirea momentului de inertie al maselor de aer din camera de ardere.

C comparație între valorile calculate și cele măsurate obținute cu cele două camere de ardere cilindrice cu  $\beta = 0,48$ , resp.  $0,45$ , se arată în tabelul din fig. 5.6.14. Se constată o concordanță bună între valorile obținute pe cale experimentală și prin calcul.

#### Cursa relativă a pistonului S/D

Influența raportului S/D asupra mișcării organizate

a aerului s-a studiat pe cale teoretică, deoarece ar fi fost greu de realizat pe modelul dinamic.

In cazul în care se menține diametrul cilindrului constant, se obține cursa relativă a pistonului. Considerind la calculele efectuate raportul de comprimare, volumul relativ al camerei de ardere, înălțimea volumului intersticiului și diametrul relativ al cămărei de ardere constantă, se obțin curbele din fig. 5.6.16.a. Aceste curbe pun în evidență caracterul variabil al cifrei de turbionare în funcție de cursa relativă a pistonului. Se observă o creștere a cifrei de turbionare odată cu creșterea cursei relative a pistonului, creștere care este mai pronunțată la valorile mici ale diametrului relativ al cămărei de ardere și la valori mai mari ale înălțimii volumului intersticiului / $H_0$ / . Pentru cazul cînd se menține constant raportul de comprimare, volumul cămărei de ardere și volumul relativ al intersticiului, se obține dependența între cursa relativă a pistonului și cifra de turbionare pentru diferite înălțimi /h/ ale cămărei de ardere. Se constată o scădere a cifrei de turbionare la creșterea cursei relative a pistonului, cauzată de creșterea concomitentă a diametrului relativ al cămărei de ardere /β/ și a înălțimii volumului intersticiului / $H_0$ / . Considerind cursa constantă ( $S=130$  mm) și modificind diametrul cilindrului se obțin curbele din fig. 5.6.16.b.

#### Arhitectura cămărei de ardere

Din încercările efectuate cu ajutorul modelului dinamic s-a constatat o dependență însemnată între arhitectura cămărei de ardere și intensitatea mișcării organizate a aerului. Astfel, în fig. 5.6.17. sunt redate comparativ curbele de variație ale vitezei de rotație a anemometrului în funcție de viteză de rotație a arborelui cotit pentru cămărele de ardere cilindrice și pentru o cameră sferică, toate cămărele de ardere avînd același volum al cavitatei. În fig. 5.6.14. și fig. 5.6.18. se arată oscilogramele obținute pentru cele trei cămăre de ardere. În tabelul din figura 5.6.14. se observă o creștere de cca. 1,28 ori a intensității mișcării organizate a aerului în cazul înlocuirii cămărei de ardere cilindrice / $\beta = 0,48$ / cu o ca-

neră de ardere sferică. Calculind analitic cifrele de turbionare pentru cele două camere de ardere și comparindu-le cu valoările măsurate se constată și în acest caz o bună concordanță.

Examinarea în continuare a influenței arhitecturii camerei de ardere asupra mișcării organizate a aerului s-a efectuat, din motive de simplificare, pe cale analitică. Expresiile pentru calculul cifrei de turbionare pentru diferite forme de camere de ardere, au fost deduse în cap. 2.3.3.

Resultatele obținute pentru diferite tipuri de camere de ardere sunt arătate în fig. 5.6.18. În fig. 5.6.19. se mai arată variația raportului vitezelor periferice ( $\frac{W_c}{W_{ad}}$ ).

Tabela 5.6.1.

Formă camerei de ardere	Cifra de turbionare $\Omega_c$	Raportul $\frac{\Omega_c}{\Omega_{c=cilindr}}$	Raportul $\frac{\Omega_c}{\Omega_{c=tor.p.d.}}$
tronconică	4,75	1,300	1,58
tronconică + cilindrică + conică	4,35	1,190	1,45
sferică	4,25	1,160	1,41
cilindrică	3,66	1,000	1,22
toroidală cu pereți inclinați în exterior	2,78	0,760	0,93
toroidală cu pereți drepti	3,00	0,820	1,00
toroidală	3,32	0,905	1,11
toroidală cu prag mariit	3,35	0,915	1,12
toroidală cu pereți inclinați interior	3,68	1,020	1,23

În tabela de mai sus (tabela 5.6.1.) se face o comparație între cifrele de turbionare obținute la diferite forme de camere de ardere.

#### Canale de admisiune cu supape ecranante

Influența canalelor de admisiune echipate cu supape ecranante asupra mișcării organizate a aerului în camera de ardere

s-a cercetat cu ajutorul măsurătorilor efectuate pe modelul dinamic. În acest scop s-a prevăzut o chiulasă specială cu supape ecranate de admisiune, cu unghiul ecranului de  $\epsilon = 120^\circ$ , resp.  $\epsilon = 180^\circ$ . Supapa ecranată a fost fixată într-un dispozitiv care a permis rotirea ei în jurul axei sale cu  $360^\circ$ .

Fig. 5.6.20 și fig. 5.6.21. arată influența unghiului de rotire a supapei ecranate / $\epsilon = 120^\circ$ / asupra vitezei de rotație a aerului în cilindru și asupra vitezei periferice a aerului  $w_p$ , calculate la diametrul  $d_w$  al camerei de ardere. Valorile pozitive ale vitezei de rotație a aerului indică o rotire în sensul acelor de ceasornic / văzut de deasupra cilindrului/, iar valorile negative o rotire în sens contrar. Se observă că la o rotație completă a supapei ecranate, viteză de rotație a aerului prezintă un maxim pentru ambele sensuri de rotație a vîrtejului de aer. Curba vitezei de rotație a aerului are o alură sinusoidală, iar vitezele de rotație maxime sunt aprox. egale. Viteză de rotație a aerului este nulă pentru  $\gamma = 90^\circ$  și  $270^\circ$  și prezintă valori maxime pentru  $\gamma = 180^\circ$  și  $360^\circ$ .

In fig. 5.6.22. și 5.6.23. se arată influența unghiului de rotire a supapei ecranate / $\epsilon = 180^\circ$ / asupra vitezei de rotație a aerului în cilindru și asupra vitezei periferice a aerului, pentru diferite camere de ardere. Comparând curbele obținute cu supapa ecranată (cu un unghi al ecranului de  $\epsilon = 180^\circ$ ) cu cele obținute cu o supapă ecranată (cu un unghi al ecranului de  $\epsilon = 120^\circ$ ), se constată o mărire a intensității mișcării organizate a aerului o dată cu majorarea unghiului ecranului supapei. După cum rezultă din fig. 5.6.14., alurele de variație ale vitezei de rotație a aerului pentru diferite camere de ardere sunt asemănătoare. La cele trei camere de ardere cercetate s-a obținut viteză de rotație maximă cu camera de ardere de tip Meurer. Viteză de rotație maximă la camera de ardere aferică este de 1,35 ori mai mare decât cea obținută la camera cilindrică cu un diametru relativ al camerei de ardere de  $\beta = 0,48$ .

Influența canalelor de admisiune nesimétrice, echipate cu supape ecranate / $\epsilon = 120^\circ$  și  $\epsilon = 180^\circ$ / asupra mișcării organizate a aerului în camera de ardere s-a cercetat cu ajutorul modelului dinamic prevăzut cu chiulasa originală a motorului

D-103. Din examinarea curbelor de variație ale vitezei de rotație a aerului în funcție de unghiul de rotație al ecranului, pentru cele două variante de montaj /fig. 5.6.24, fig. 5.6.25/, rezultă că maximul vitezei de rotație în cazul rotirii aerului în sensul mișcării acelor de ceasornic este mai mare decât maximul observat la rotirea în sens opus. Aceasta explică prin faptul că canalul de admisiune cu supapa de admisiune fără paravan generează o mișcare de rotație a aerului destul de mare în sensul mișcării acelor de ceasornic. De aceea și pozițiile de zero ale vitezei de rotație sunt deplasate față de valorile teoretice de  $90^\circ$  și  $270^\circ$ . La fel sunt deplasate și vitezele de rotație maxime pentru valorile teoretice de  $180^\circ$  și  $360^\circ$ . Această fenomen s-a constatat și la încercările staționare efectuate și prezentate în cap. 5.5.1.6.

Din studiul influenței canalului de admisiune echipat cu o supapă ecranată asupra intensității mișcării organizate a aerului în camera de ardere se conchide că prin intermediul supapei ecranate se poate regla ușor această mișcare de la o valoare maximă pînă la valoarea zero.

#### 5.6.4. Soluții constructive îmbunătățite din punct de vedere al mișcării organizate a aerului pentru motorul D-103

Studiul mișcării organizate a aerului în timpul procesului de comprimare, efectuat cu ajutorul măsurătorilor pe modelul dinamic și cu ajutorul modelului de calcul, au arătat că intensificarea mișcării de rotație a aerului se poate realiza nu numai prin organele de admisiune în timpul procesului de admisiune, ci și în timpul procesului de comprimare. Marele avantaj al intensificării mișcării organizate a aerului în timpul procesului de comprimare constă în faptul că acesta nu este însoțită de pierderi gazodinamice aşa de mari ca și în cazul procesului de admisiune. Astfel, prin transformarea formei camerei de ardere de tipul D-103/toroidală cu pereti drepti/ într-o cameră de ardere toroidală, se obține o creștere a cifrei de turbionare cu cca 11%, fără a se influența coeficientul de umplere. De asemenea, prin reducerea

diametrului camerei de ardere toroidale de la  $\varnothing$  61,8 mm la  $\varnothing$  59,8 mm se obține o mărire a cifrei de turbionare cu 9 %, resp. 20 %, față de actuala cameră de ardere a motorului D-103. Prin reducerea înălțimii interstițiului dintre chiulasă și capul pistonului, de la  $H_0 = 1,25$  mm la 0,75 mm, se obține o mărire a cifrei de turbionare cu 5 %. Aplicând toate aceste modificări constructive la motorul D-103 se poate obține o mărire a intensității mișcării organizate a aerului cu aprox. 25 % față de intensitatea actuală și fără a se modifica coeeficientul de umplere. Se precizează că o asemenea îmbunătățire este foarte greu de realizat numai cu organele de admisio-ne, la un coeficient de umplere neschimbă, așa cum am arătat cercetările efectuate pe standul staționar și cvasistaționar.

#### 5.6.5. Camera de ardere pentru aplicarea procederului M la motorul D-103.

In vederea aplicării procedeului M la motorul D-103 s-au calculat cu ajutorul metodei indicate de Urlaub/54/ cifrele de turbionare optime pentru cazul clasic de formare a amestecului și pentru cazul procedeului M. Din calculele efectuate pentru diferite viteze de rotație ale arborelui constă rezultă că în cazul formării termice a amestecului/procedeu Meurer/este necesară o cifră de turbionare a aerului în camera de ardere de 1,33 - 1,45 ori mai mare decât cea obținută în cazul amestecării optime clasice.

Utilizând la motorul D-103 o cameră de ardere afi-rică cu dimensiunile indicate în fig. 5.6.26, se obține o ci-fră de turbionare de 1,4 ori mai mare decât cea obținută în camera de ardere actuală a motorului D-103.

Prin urmare, cu actuala chiulasă a motorului D-103 se poate trece la experimentarea procedeului M, prin modifica-rea camerei de ardere după sun s-a arătat mai sus.

Cap.6. C O N C L U Z I I

1. La motoarele cu aprindere prin comprimare cu cameră de ardere unitară, consumul specific de combustibil depinde într-o măsură mare de mișcarea organizată a aerului în camera de ardere. Cunoașterea legilor care guvernează această mișcare este una din premizele necesare pentru a se putea influența favorabil procesul de formare al amestecului și procesul de ardere.

2. La începutul elaborării prezentei teze s-a constatat că materialul documentar asupra mișcării organizate a aerului în camera de ardere este relativ sărac. În timpul elaborării tezei au apărut o serie de lucrări noi /51,54,58,60/, care însă se limitează în special la măsurarea parametrilor mișcării organizate a aerului într-o cameră de ardere, fără a se efectua un studiu sistematic asupra factorilor de influență ale acestei mișcări.

3. De asemenea s-a constatat lipsa unei metode de calcul a elementelor acestei mișcări în timpul procesului de admisiune și comprimare, precum și existența unor păreri contradictorii asupra structurii mișcării organizate a aerului în camera de ardere și în camera înelară a interstițiului dintre chiulasă și piston.

4. Avantajul pe care-l aduce mișcarea organizată a aerului este parțial anulat de procesul de generare al acestei mișcări de către organele de admisiune, care introduc rezistențe de curgere suplimentare. În consecință, apare și problema generării mișcării aerului cu pierderi de curgere gazodinamice minime.

5. În lucrarea de față s-a căutat să se rezolve sistematic aceste probleme, pornindu-se de la cazul idealizat și ajungindu-se la cel real s-au parcurs următoarele faze de cercetare:

- studiul teoretic al organizării mișcării aerului, în timpul procesului de admisiune și comprimare, cu ajutorul unui model de calcul ;

- cercetarea experimentală prin următoarele metode:
  - a. modelare electrică cu hirtie electro-conductoare;
  - b. vizualizarea mișcării aerului în canale de admisiune, cilindri și camere de ardere;
  - c. vizualizare cu descărăcări electrice de tensiune și frecvență foarte înaltă;
  - d. incercări de curgere staționară;
  - e. incercări de curgere cvasistacionară;
  - f. incercări dinamice /pe un stand experimental cu un monocilindru cu antrenare din exterior/.

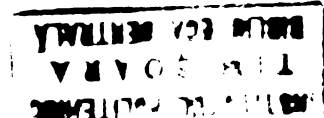
6. În cadrul fiecărei metode de cercetare experimentală utilizată în lucrare s-au efectuat după cercetările fundamentale și cercetări aplicative, prezintând soluții constructive perfecționate din punct de vedere al mișcării organizate a aerului și al pierderilor gazodinamice, în comparație cu cele actuale ale motorului D-103 de tractor.

7. Examind un canal de admisiune idealizat se constată că atunci când momentul cinetic al masei de aer este diferit de zero, aerul admis în cilindru va primi totdeauna o mișcare de rotație în jurul axului cilindrului.

În un canal de admisiune real momentul cinetic al masei de aer admisă în cilindru se compune din momentul cinetic generat de forma cabalului de admisiune și momentul cinetic al impulsului de ieșire din scaunul supapei. Utilizând un model al mișcării organizate a aerului în cilindru și în camera de ardere și aplicând legea conservării momentului cinetic, se obțin expresii pentru intensitatea mișcării organizate a aerului din timpul procesului de admisiune și comprimare. Aceste ecuații permit evidențierea factorilor de influență. De asemenea se remarcă utilitatea lor practică prin coincidența care există între datele experimentale obținute la studiul factorilor de influență și cele determinate pe baza modelului de calcul.

8. Curgerea ideală în canalul de admisiune s-a cercetat prin metoda de modelare electrică cu hirtie electroconducătoare, iar cea reală în canalul de admisiune, cilindru și cameră de ardere prin diferite metode de vizualizare.

În cadrul acestor metode de cercetare s-a putut conchide că în vederea construirii unor canale de admisiune cu



pierderi gasodinamice reduse trebuie să respecte următoarele criterii:

8.1. În secțiunea controlată de supapă energia cinetică a aerului să fie cît mai mică.

8.2. La intrarea în cilindru energia cinetică a aerului să fie recuperată cît mai mult, utilizându-se în acest scop un scaun de supapă cu difuzor.

8.3. Canalul de admisie să fie construit cu o secțiune transversală continuu descrescătoare și cu rotații corespunzătoare la schimbările de direcție.

8.4. În scopul obținerii unei mișcări organizate intense a aerului în cilindru este necesar ca :

8.4.1.-Curgerea aerului din secțiunea controlată de supapă să fie aximetrică, iar în domeniile în care aerul curge din secțiunea controlată de supapă în sensul opus mișcării principale, vitezele să fie cît mai mici posibile.

8.4.2.-Axă virtejului să coincidă cu axa cilindrului, pentru a se evita pierderile inutile de energie cinetică prin fenomene de curgere secundară și frecare interioară.

8.5. Aerul din volumul inelar al interstițiului dintre piston și chiulash se rotește (cu excepția stratului limită) ca un virtej cvasipotențial.

8.6. Aerul din camera de ardere se rotește (cu excepția stratului limită) ca un virtej cvasisolid.

8.7. Mișcarea secundară a aerului din camera de ardere este semisabilă numai în cazul mișcării organizate reduse, iar în cazul unei mișcări intense, mișcarea secundară are loc numai în cadrul stratului limită.

9. Cu ajutorul încercărilor de curgere staționare s-a studiat influența asupra mișcării organizate a aerului a unor factori constructivi ai canalilor de admisie, ca: razele de recordare, unghiiurile de inclinare, unghiul și poziția cotului, pozițiile de aşezare ale canalului și diferite tipuri de scaune. De asemenea s-a studiat influența unor organe utilizate pentru a genera mișcarea organizată a aerului și anume supape scrante și scaune de supapă prevăzute cu un ecran sau o lamă directoare.

S-au determinat valori optime pentru acești factori

construcțivi, executind și încercând în acest scop peste 70 de variante de modele de canale de admisiune.

Perfecționarea cabalelor de admisiune din punct de vedere al tehnicii de curgere poate fi realizată în special prin:

9.1. Mărirea secțiunii reale de curgere a supapei.

9.2. Adoptarea unei construcții adecvate pentru a dirija curentul de aer în jurul tijei și ghidajului supapei, astfel încit în aval să nu se producă virtejuri.

9.3. Amplasarea strangulării maxime a canalului imediat deasupra scaunului supapei și alegerea unui diametru mai mic decât marginea interioară a scaunului supapei. În acest caz curgerea este alinată înaintea scaunului supapei, împiedicindu-se desprinderea curentului la muchia interioară a scaunului, precum și o curgere oblică, resp. neuniformă, prin secțiunea supapei.

9.4. Rotunjirea muchiei interioare a scaunului supapei.

9.5. Lărgirea secțiunii de curgere a supapei de admisiune pînă la muchia ei exterioară prin mărirea diametrului.

Această lărgire se poate realiza ca un difuzor.

10. La canalul de admisiune curbat de tipul celui folosit la motorul D-103 s-a constatat că atît forma curbată a canalului, cît și impulsul de ieșire din secțiunea controlată de supapă, generează mișcarea organizată a aerului în cilindru. De aceea, la acest canal mișcarea organizată a aerului este influențată în special de :

10.1. Poziția colțului canalului, definită prin distanța "a" (fig.5.4.7.).

10.2. Unghiul de rotire a canalului "γ" (fig.5.4.8.)

10.3. Ecentricitatea canalului față de axele cilindrului "e<sub>1</sub>" și "e<sub>2</sub>" ( fig.5.4.9.).

11. Utilizând o supapă ecranată sau un scaun de supapă prevăzut cu un ecran se constată aproximativ aceleasi efecte asupra mișcării organizate a aerului pentru diferitele unghiiuri de rotire ale ecranului. Viteza de rotație maximă a aerului se obține în pozițiile în care curentul este dirijat aproximativ tangențial la peretele cilindrului.

12. Toate căile de organizare ale mișcării aerului de

admisioane sunt legate de apariția unor pierderi, astfel încit o majorare a vitezei de rotație a aerului are ca efect micșorarea cifrei caracteristice  $\bar{w}$ , într-o măsură mai mare sau mai mică.

13. Executind pe standul de experimentare staționar, cercetări aplicative asupra canalului actual al motorului D-103 se constată că :

13.1. Împrăștierea cifrei de turbionare pentru  $S/D = 1$  este de 30%, adică relativ mare. Ea este cauzată de toleranțe mari de execuție din cadrul procesului tehnologic de turnare al canalului și în special al colțului curburii canalului.

13.2. Partea inferioară a canalului și în special scaunul supapei de admisiune nu au forma cea mai adecvată pentru curgere.

14. Confectionând și încercând 4 modele de canale perfecționate, s-au obținut, mai ales pentru două modele de canale cifre caracteristice avantajoase. Astfel, cifrele caracteristice  $\bar{w}_m$  sint cu 19,68 %, resp. 29,4% mai mari, vitezele medii convenționale  $\bar{w}_m$  cu 16,6%, resp. 23% mai mici și cifrele de turbionare  $(n_w/n)_m$  pentru  $S/D = 1$  cu 5,17 %, resp. 8,58 % mai mari decit cele determinate la canalele originale.

15. Utilizând un model de canal de admisiune îmbunătățit pentru motorul D-103, echipat cu o supapă ecranată/ $\alpha=120^\circ$ /, se obțin, în poziția optimă a ecranului, cifrele caracteristice  $\bar{w}_m$  și  $\bar{w}_m$  aproximativ egale cu cele ale canalului original, iar cifra de turbionare  $(n_w/n)_m$  se mărește cu 41,4%.

16. În cazul aplicării procedeului M la motorul D-103, mărirea necesară a intensității mișcării organizate a aerului de cca 1,33 - 1,45 ori față de cea actuală este realizabilă cu modelul de canal de admisiune îmbunătățit și echipat cu o supapă ecranată.

17. Cu ajutorul curbelor caracteristice ale canalelor de admisiune determinate pe standul de încercare cvasistaționar, s-a studiat influența unor factori asupra mișcării organizate a aerului din cilindru în cadrul procesului de admisiune și s-au constatat următoarele:

17.1. Intensitatea mișcării organizate a aerului crește cu mărirea coeficientului de umplere, iar această creștere este limitată de momentul în care, în secțiunea controlată de supapă de admisiune, apare viteză sunetului.

17.2. La un canal de admisiune nu este obligatoriu să se obțină, la același coeficient de umplere, aceiași intensitate a mișcării organizate a aerului.

17.3. Canalele de admisiune la care alura curbelor caracteristice /debitul masic în funcție de deschiderea supapei de admisiune, șvind ca parametru viteza unghiulară a aerului/are o pantă accentuată, forma camei de admisiune are o influență sensibilă asupra mișcării organizate a aerului.

17.4. În cazul supraalimentării motorului rezultă o intensificare, iar în cazul subalimentării o reducere a mișcării organizate a aerului. Astfel, de exemplu: la o altitudine de cca. 2000 m cifra de turbionare se reduce cu cca. 13% față de cea obținută la nivelul mării.

17.5. Cu creșterea temperaturii inițiale a aerului de admisiune scade intensitatea mișcării organizate a acestuia.

17.6. Între viteza unghiulară a aerului la sfîrșitul admisiunii și viteza de rotație a arborelui cotit există o dependență proporțională. Acest fapt este valabil pînă în momentul în care apare viteza sunetului în secțiunea controlată de supapa de admisiune.

17.7. Intensitatea mișcării organizate a aerului este dependentă de sarcină.

17.8. Cu creștere a coeficientului de încălzire  $\tilde{\gamma}$ , se manifestă ca și o scădere proporțională a vitezei de rotație a motorului și prin acesta se reduce proporțional și cifra de turbionare.

17.9. Legea de deschidere a supapei de admisiune nu influențează sensibil mișcarea organizată a aerului, în cazul motorului D-1c3.

17.10. Modificarea raportului de comprimare prin varierea înălțimii camerei de ardere are o influență neglijabilă asupra intensității mișcării organizate a aerului la sfîrșitul admisiunii.

18. Un studiu aplicativ a arătat că îmbunătățirea canalului original al motorului D-lo3 este posibilă. Astfel, cu modelul de canal nr.6 (fig. 5.5.38.) s-a obținut o creștere a coefficientului de umplere cu 6,5%, concomitent cu o creștere a cifrei de turbionare cu 10%.

19. S-a elaborat un procedeu pentru măsurarea mișcării organizate a aerului în regim nestaționar la un model dinamic /motor antrenat/ cu ajutorul unor anemometre cu momente de inertie reduse și al unei instalații electronice complet automatizate de măsură și înregistrare, cu care s-a obținut un mare număr de date experimentale.

20. Măsurările executate după acest procedeu într-un cilindru cu un piston fără cavitate au arătat că la finele procesului de admisiune, întreaga încărcătură a cilindrului are o viteză medie de rotație, care se păstrează și în procesul de comprimare, având o ugoară tendință de scădere din cauza fenomenelor de frecare.

21. Măsurind mișcarea organizată a aerului în diferite camere de ardere amplasate în chiulasă sau piston, s-a determinat mărirea mișcării de rotație a aerului în timpul procesului de comprimare.

22. S-a constatat că în jurul p.m.i. structura virtejului de aer din camera de ardere este apropiată de cea a unui turbion care se rotește pe baza legii corpului cvasisolid, fapt constatat și prin vizualizările efectuate în camera de ardere, iar în timpul procesului de comprimare, structura virtejului se modifică permanent.

23. Influența factorilor funcționali ai motorului se manifestă în special prin viteza de rotație a arborelui cotit. Cu mărirea vitezei de rotație a arborelui cotit crește proporțional și viteza de rotație a aerului din camera de ardere, fapt constatat la studiul influențelor în timpul procesului de admisiune. În cazul cînd viteza aerului din secțiunea controlată de supapă atinge viteza critică, curba liniară a dependenței se transformă treptat și devine orizontală, adică la o creștere a vitezei de rotație a arborelui cotit, mișcarea organizată a aerului nu se mai intensifică.

24. Determinind influențele unor factori construcțivi asupra mișcării organizate a aerului în timpul procesului de comprimare s-au constatat următoarele:

24.1. Creșterea volumului interstîiului micșorează intensitatea mișcării organizate a aerului din camera de ardere.

24.2. Raportul de comprimare, modificat prin interme-

diul înălțimii camerei de ardere, influențează nevoieșteală mișcarea organizată a aerului.

24.3. Diametrul relativ al camerei de ardere influențează sensibil mișcarea organizată a aerului .

24.4. Creșterea cursei relative a pistonului are ca efect creșterea intensității mișcării organizate a aerului.

24.5. Între arhitectura camerei de ardere și mișcarea organizată a aerului există o dependență însemnată. La camera de ardere sferică se mărește cifra de turbionare cu 16% față de cea cilindrică.

Influența acestor factori s-a studiat și pe cale teoretică, constatăndu-se o coincidență bună cu rezultatele experimentale.

25. Executând cercetări aplicative asupra motorului D-103 s-au constatat următoarele:

25.1. Prin transformarea camerei de ardere a motorului D-103 /toroidală cu părți drepte/ într-o cameră de ardere toroidală cu un diametru  $d = 59,8$  mm, se obține o mărire a cifrei de turbionare cu cca. 20%, fără a se influența coeficientul de umplere.

25.2. Printr-o reducere cu 0,5 mm a înălțimii interstîrșilor dintre piston și chiulasă și cu o cameră de ardere toroidală se obține o intensificare a mișcării organizate a aerului cu 25% față de cea actuală de la motorul D-103.

25.3. Utilizând o cameră de ardere sferică se obține o creștere a cifrei de turbionare cu 40% față de cea actuală.

25.4. Motorul D-103 înzestrat cu o cameră de ardere sferică de dimensiunile indicate în lucrare poate servi pentru experimentarea procesului M, fără a fi necesară modificarea canalului de admisiune actual /în sensul de a genera o mișcare organizată mai intensă a aerului/, întrucât mărirea necesară de 1,33 - 1,45 ori a intensității mișcării organizate a aerului față de cea actuală este realizată în cadrul procesului de comprimare numai de forma sferică nouă a camerei de ardere.

26. În încheiere ,se poate rezuma că rezultatele obținute în prezentă lucrare permit următoarele:

26.1. Explicarea mai exactă a fenomenelor legate de organizarea mișcării aerului în timpul admisiunii și comprimării.

26.2. Utilizarea formulelor deduse pentru calculul mișcării organizate a aerului la concepția și proiectarea unor motoare diesel noi, cu procedee moderne de ardere și la perfecționarea celor existente.

26.3. Optimizarea mișcării organizate a aerului de admisie și reducerea pierderilor de curgere gazodinamice la motorul D-103 de tractor.

26.4. Introducerea procedeului M la acest motor, cu modificări constructive minime.

B I B L I O G R A F I E

1. Zinner, K.: Über die attraktiven Forschungsprobleme des Verbrennungsmotors. MTZ, 31 /1972/ Heft 3.
2. Frenke, G.: Entwicklung der Verbrennungsverfahren am schnelllaufenden Dieselmotor. technica 15 /1967/ Seite 1399-1404.
3. Sosa, F.: Bau und Betrieb von Dieselmotoren. 1948 Band I Berlin.
4. Kesselmann, K., J., K.: Hochdruckmotoren mit Einspritzung des Brennstoffes ohne Druckluft. Z.V.D.I. 1923 Seite 658-662.
5. Hintz, H.: Dieselmotoren mit Strahlzersetzung, Mittel und Weg zur Beeinflussung der Verbrennung beim Strahlzersetzungsvorfahren. Z.V.D.I. Band 69 /1925/ Seite 673.
6. Ricardo, H.R.: Discutis le: Meurer, J.S.: Evolution of Resonation Kinetics Eliminates Diesel Knock-The M-Combustion of MAN. SAE-Transsection 1956 p.250-272.
7. Eisfeld, F.: Der Einfluss der Luftbewegung auf die Kraftstoffverteilung im Brennraum eines Dieselmotors mit Luftdrehung. DFL-Bericht nr. 136 /1961/.
8. Geiger, J.: Messung der Luftbewegung im Zylinderinneren von Dieselmotoren. Mitt. Forsch. Anst. GHH-Konzern Band 4 u. 9 1936 Seite 214.
9. Geiger, J.: Die Ermittlung des Brennstoffstossdruckes bei Dieselmotoren und seine Verteilung. Mitt. Forsch. Anst. GHH-Konzern, 1936 Seite 239-246.
10. Zinner, K.: Gemischbildung im Sauer-Dieselmotor. Deutsche Kraftfahrtforschung, Heft 24, 1939.
11. Schwarz, K.: Untersuchung der Luftbewegung im Zylinder eines Motors. Forschung auf dem Gebiete des Ingenieurwesen 1940 Seite 43-46.
12. Ullmer, J.: Die Messung der Stromungsgeschwindigkeiten im Zylinder eines Luftkompressors. Dissertation München 1932.
13. Wenger, N.: Messung der Stromungsgeschwindigkeit im Zylinder eines fremdengetriebenen BMW-VI-Flugmotors. Dissertation München 1938.
14. Meurer, J.S.: Das MAN-Verfahren. MAN-Forschungsheft 1954 Seite 50-73.
15. Meurer, J.S.: Entwicklungstendenzen im Bau schnelllaufender

- Dieselmotoren. ATZ 1968 Seite 265-273.
16. Kixmann, W.: Der MAN-FM-Motor. ATZ 1965 Seite 359-360.
  17. Weidemann, M.: Geschwindigkeiten im Brennraum eines fremd-angetriebenen Dieselmotors. MTZ 1970 Seite 137-143.
  18. Böttger, J.: Neue Gesichtspunkte über Gemischbildung in Kolbenverbrennungsmotoren, insbesonders Dieselmotoren. Kraftfahrzeugtechnik 1957 Seite 1-36.
  19. Böttger, J.: Neue Untersuchung zur Frage gersuscharmer Dieselverbrennung. MTZ 1956 Seite 182.
  20. Böttger, J.: Ursache der kleppfreien Dieselperbrennung. Maschinenbautechnik 1958 Seite 482.
  21. Efros, V.V. Influente vitezei incărcației de aer din canale de ardere asupra parametrilor motorului Diesel D-37-M. Tractări i sechimășină 1963.
  22. Pischinger, A.u.o.: Der Einfluss der Wand bei der Verbrennung eines Brennstoffstrahles in einem Luftwirbel. MTZ 1959 Nr.1.
  23. Pischinger A.u.o.: Gemischbildung und Verbrennung im Dieselmotor. Die Verbrennungskraftmaschine. Bd.7 Springer 1957.
  24. Pischinger, A.u.o.: Neue Untersuchungsergebnisse an Brennstoffstrahlen. Österr.Ing.Zeitschrift.1955 Heft 2 u. 3.
  25. Pischinger, A.: Probleme der Verbrennung im Dieselmotor. Österr. Ing. Zeitschrift.1960 Heft 1.
  26. Pischinger, A.: Gemischbildung in Dieselmotoren. Kraftfahrzeugtechnik, 1961 Heft 2 Seite 52-55.
  27. Pischinger, A.u.o.: Zur Frage der Gemischbildung im Dieselmotor. MTZ 1965 Nr.8 Seite 323.
  28. Pischinger, F.: Das neue Brennverfahren des Deutzer Fahrzeug-Dieselmotoren. ATZ 1967 Nr.6 Seite 198.
  29. Pischinger, A.: Alte und neue Vorstellungen über die Gemischbildung im Dieselmotor. Österr.Ing. Zeitschrift. 1967 Heft 7.
  30. Pischinger, F.: Der Verbrennungsablauf im Dieselmotor aus neuer Sicht. VDI-Z.1969 Heft 7 Seite 430-434.
  31. Pischinger, F.: Ein neues Brennverfahren für Fahrzeugdieselmotoren. MTZ 1966 Seite 389-395.
  32. Pischinger, F.: Entwicklungsarbeiten an einem Verbrennungssystem für Fahrzeugdieselmotoren. ATZ 1963 Seite 11-16.
  33. Pischinger, R.: Bombenversuche mit schwerzündenden Kraftstoffen bei Selbstzündung. MTZ 1963 Heft 1 Seite 2-6.
  34. Krisper, G.: Zum Verhalten des Dieseleinspritzstrahles in

- einem Luftwirbel. Dissertation TH Graz 1965.
- 35. Wittek,H.L.: Development of two new Allis-Chalmers Diesel Engines. SAE-Transaction 1960 p. 169-192.
  - 36. Fink,W.: Beitrag zur Untersuchung von Verbrennungsvergängen im Brennraum mit rotierenden Gasbewegung. Dissertation TU Berlin 1967.
  - 37. Fink,W.: Die Verbrennung in einer Brennkammer mit Potentialwirbel. MTZ 1969 Nr.5 Seite 169-173.
  - 38. Nageo,F.: The Effect of Combustion Swirl on the Combustion in a Diesel Engine. Buletin of JSME nr.11 /1960/ p.378-385.
  - 39. Nageo,F.: Influences of Direction of Fuel Injection and Wall Temperature upon Combustion in a Diesel Engine. Buletin of JSME nr.19 /1962/ p.525-533.
  - 40. Nageo,F.: Air Motion on Combustion in a Swirl Chamber Type Diesel Engine. Buletin of JSME nr.41 /1967/ p.833-845.
  - 41. Eisfeld,F.: Der Einfluss der Luftbewegung auf die Kraftstoffverteilung im Brennraum eines Dieselmotors mit Luftdrehung. Dissertation Braunschweig 1960.
  - 42. Eisfeld,F.: Die Beeinflussung der Kraftstoffverteilung im Brennraum eines Dieselmotors durch eine gesteuerte Luftbewegung. MTZ 1963 Seite 339.
  - 43. Meurer,J.S.: Der Wandel in der Verstellung von Ablauf der Gemischbildung und Verbrennung im Dieselmotor. MTZ 1966 Nr.4
  - 44. Jante,A.: Grundlagen der Gemischbildung und der Verbrennung im Dieselmotor und im Meurer Motor. Wiss.Z.d.T.U.Dresden 1967 Nr.4 Seite 1141-1154.
  - 45. Kisele,E.: Probleme bei der Entwicklung von Verbrennungsverfahren für schnellslaufende Dieselmotoren. MTZ 1965 Seite 328-338.
  - 46. Kisele,E.: Entwicklungsstand der neuen, luftgekühlten stationären Daimler-Benz-Dieselmotoren. MTZ 1961.
  - 47. FritzGeorge,D.: Airl Swirl in a Road-Vehicle Diesel-Engine. The Institution of Mechanical Engineers Proceedings of the Automobile Division. nr.4 1962-1963.
  - 48. Witsky,J.: A study of the Swirl Stratified Combustion Principle. SAE-Paper nr.660092.
  - 49. List,H.: Developing High Speed Direct Injection Diesel Engines. SAE-Paper 978 D-Detroit 1965.
  - 50. Urlaub,A.: Fortschritte auf dem Gebiete der Gemischbildung

- und Verbrennung im Motor. Congresul al XXII FISITA-Barcelona na
51. Thon,L.: Einfluss einer rotierenden Luftbewegung auf das Be-  
triebsverhalten eines nach dem Meurer-Verfahren arbeitenden  
Dieselmotors. Kraftfahrzeugtechnik 1970 Seite 324-326.
52. Cirkov,A.A.: Probleme de reglare a turbulentei la formarea  
amestecului și a arderei la motoarele diesel. Energomasino-  
stroenie. 17 /1971/ nr.6 p.16-19.
53. Scott,W.M. : SAE Jour. 1970 nr.1.
54. Urlaub,A.: Der Einfluss der Luftbewegung auf die Gemischbil-  
dung in Dieselmotoren mit direkter Einspritzung. Forsch.-Ber.  
VDI-Z Reihe 6 Nr.2 1965.
55. Urlaub,A.: Untersuchung der Stromungsvorgänge im Zylinder von  
Verbrennungsmotoren. MAN-Forschungsheft Nr.14 1968-1969.
56. Urlaub,A.: Untersuchung der Stromung im Zylinder von Verbren-  
nungsmotoren. MTZ 29 /1968/ Nr.11 Seite 461-463.
57. Thon,L.: Ermittlung der Anemometerdrehzahl im Motorschleppbe-  
trieb. Kraftfahrzeugtechnik 1970 Seite 797-799.
58. Hervatin,M.u.s.: Messung von Luftbewegungen im Zylinder von  
Verbrennungsmotoren. Congresul al XXII-FISITA Barcelona.
59. Weidemann Müller,M.: Geschwindigkeiten und Temperaturen in einem  
geschleppten Dieselmotor mit Direkteinspritzung. Dissertation  
Berlin 1969.
60. Nagao,F.u.s.: Experimentelle Untersuchung der Luftbewegung in  
der Wirbelkammer von Dieselmotoren. Congresul al XXII-FISITA.
61. Keckstein,O.: Liefergradmessung und Berechnung an einem Ein-  
zylinder-Viertaktmotor mit Aufladesaugrohr. Dissertation TH-  
Graz 1941.
62. Menere,J.S.: Die Erzeugung von Drehbewegungen der Luft in den  
Zylindern schnelllaufender Viertakt-Dieselmotoren durch  
Einlassorgane. MAN-Forschungsheft 1951 Seite 8-22.
63. Wiedicke,K.: Einfluss der Abmessung des Schirn-Einlassventils  
auf Mitteldruck, Liefergrad und Drehzahl eines nach dem M-  
Verfahren arbeitenden Dieselmotors. Dissertation München 1958.
64. Zimmer,G.: Stationäre Stromungsuntersuchungen an Einlassku-  
gelmodellen für Viertakt-Dieselmotoren. Kraftfahrzeugtech-  
nik 1961 Nr.6-7.
65. Thon,L.: Die Erzeugung einer rotierenden Luftbewegung im Zy-  
linder von Viertaktmotoren und deren Auswirkungen auf das  
Betriebsverhalten von Meurer-Motoren. Dissertation TU-Dresden  
1969.

66. Maltby,J.R.F.: Air swirl research. Engine design and splittings 1966.
67. Air swirl in diesel engines. Allen engineering review 1966 nr.6e p.28-31.
68. Thon,L.: Die Erzeugung einer rotierenden Luftbewegung im Zylinder von Viertakt-Motoren. Kraftfahrzeugtechnik 1970 Seite 67-70.
69. List,H.u.a.: Der Ladungswechsel der Verbrennungskraftmaschine. Die Verbrennungskraftmaschine. Band IV/1 1949 Springer Verlag. Seite 33-44.
70. Zurmühl,R.: Praktische Mathematik für Ingenieure und Physiker. 5 Auflage Springer Verlag.
71. Malavard,L.: Sur une nouvelle technique dans le calcul experimental par analogies rheoelectriques. La Recherche Aéronautique 1951 nr.2e p. 61-68.
72. Eck,B.: Technische Strömungslehre. 1957 Springer Verlag.
73. Conrad,O.: Praktische Durchführung der Elektroanalogie mit elektrisch leitenden Papier. Jahrbuch. 1960 Seite 183-190.
74. Tetelbaum,I.M.: Elektrische Analogierechenverfahren. VEB Verlag Technik Berlin.
75. Wuest,W.: Sichtbernschung von Strömungen. ATM 1963 Nr.1.
76. Muessmann,G.: Messungen und Grenzschichtbeobachtung an effin verdickten Geblisseprofilen in Abhängigkeit von der Reynoldszahl. Z.Flugwiss. 1959 Nr.9.
77. Bezzecchi,E.: Boundary layer flow-visualization test in low velocity wind tunnel. Aerotechnics 36 /1956/.
78. Smith,A.: A dust method for locating the separation point. J.Aero.Sc. 1955.
79. List,H.: Die Verbrennungskraftmaschine. Band IV/3 1952.
80. Eike,S.: Sichtbernschung von Stromungen in Luft. Forsch. auf dem Gebiete des Ing. 1937 Nr.1.
81. Truckenbrodt,E.: Strömungsmechanik. Springer Verlag 1968.
82. Townsend,H.: Visual and photographic methods of studying boundary-layer. ARCRM 1803 /1957/.
83. Saeki,Y.: On the measurement of wind velocity distribution by the electric spark method. Hokkaido Fsc. Eng. Memoirs 1947 p. 185-190.
84. Früngel,F.: Bewegungsaufnahmen reicher Luftströmungen und Stoßwellen durch hochfrequente Hochspannungsfunkens. Jahrb.

- d. iss.Ges.f.Luftfahrt 1960 Seite 175-182.
85. Vogel,J.: Präzisionsaufnahmen schneller Luftstromungen durch quarzgesteuerten Funkenblitzfolgen. Kurszeitfotografie.1958. Verlag Dr.O.Helwich Darmstadt Seite 267-276.
86. Thien,G.: Entwicklungsarbeiten an Ventilkannälen von 4 Takt-Dieselmotoren. Österr.Ing.Zeitschrift.1965 Seite 291-312.
87. Nărdărescu,V.Ş.S.: Motoare pentru automobile și tractoare.Ed. didactică și pedagogică 1969.
88. Prospect-Fritz Wanke, Düsseldorf.
89. Preobrajenski.: Măsurători și aparate de măsurat termotechnice Ed. tehnică 1960.
90. Heng,A.: Elektrisches Messen mechanischer Größen. Carl Hensler Verlag München 1968.
91. Bathke,K.: Über den Einfluss des Indizierkanals auf die Messung des Gesdruckverlaufes in den Zylinder von Verbrennungsmotoren. Maschinenbautechnik 1968.
92. Bradley,P.G.: Correction of Errors in Indicator Diagrams. Passage Effects. The Engineer 1968.
93. Fink,K.u.a.: Handbuch der Spannungs und Dehnungsmessung. 1958 VDI-Verlag Düsseldorf.
94. Rohrbeck,C.: Handbuch für elektrisches Messen mechanischer Größen. VDI-Verlag 1967.
95. Alocock,J.F.: Air Swirl in Oil Engines. Proc.I.Mech.Eng. Vol. 128 p.125-193.
96. Dicksee,C.B.: The High-Speed Compression-Ignition Engine. London, Glasgow 1946.
97. Grehne,D.: Zur laminaren Strömung in einem kreiszylindrischen Dose mit rotierenden Deckel. ZAMM Sonderheft 1956 Seite 17-20.
98. Rothrock,A.M.: Fuel Spray and Flame Formation in a Compression Ignition engine employing air flow. NACA Report no.588/1937/.
99. Lee,D.W.: Study of Air Flow in a Engine Cylinder.NACA Report no.652. .
100. Heisensch, J.: Stationäre Untersuchungen an Auslasskanälen. MAN-Forschungsheft 1958 Seite 89-97.
101. Welger,K.: Über Lösungsmöglichkeiten einiger strömungstechnischen Probleme in Dieselmotoren. Wiss.Z.T.H.Magdeburg 1967 Nr.2 Seite 287-300.
102. Welger,K.: Schlierenoptische Untersuchung der Tellerventilstromung in Viertaktmotoren. Wiss.Z.T.H.Magdeburg Nr.1.
103. Rode,K. Beitrag zum Gaswechselvorgang aufgeladener Viertakt-

- Dieselmotoren. VEB-ZKK Dieselmotoren.
104. Michels, H.: Stand pentru determinarea mișcărilor turbionare prin sistemul de alimentare al motoarelor în patru timpi. Proiect de diplomă. I.P.Timișoara nr. 501 /1966/.
105. Michels, H.: Contribuții la studiul și cercetarea organizării mișcării serului în timpul admisiunii la motorul D-103. Comunicări a lucrărilor științifice studențești 1967.
106. Michels, H.: Cercetări asupra vizualizării mișcării serului în canalele de admisiune și în cilindrii m.s.i. Sesiunea de comunicări a lucrărilor științifice de colaborare cu producția 1969.
107. Michels, H.: Modelarea electrică cu hirtie electro-conducătoare a curgerii gazodinamice în canale de admisiune ale m.s.i. Sesiunea tehnico-științifică jubilară UCMR 1971.
108. Michels, H.: Studiul și cercetarea organizării mișcării serului la motorul de tractor D-103. Sesiunea de comunicări a lucrărilor științifice de colaborare cu producția organizată în cîinstea aniversării semicentenarului PCR 1971.
109. Michels, H.: Organizarea mișcării serului cu ajutorul supapelor ecranate la motorul de tractor D-103. Sesiunea de comunicări științifice de colaborare cu producția 1971.
110. Michels, H.: Modelarea electrică și vizualizarea prin plasmă a curgerii gazodinamice în canalele de admisiune ale motoarelor cu ardere internă. Prima sesiune științifică a tinerilor ingineri 1971.
111. Michels, H.: Măsurarea organizării mișcării serului la motorul de tractor D-103. Prima sesiune de comunicare științifică a tinerilor ingineri 1971.
112. Michels, H.: Cercetări prin metode staționare a unor modele de canale de admisiune pentru motorul D-103. Conferință internațională de m.s.i. 1970 București
113. Michels, H.: Studiul și cercetarea organizării mișcării serului la motorul de tractor D-103. Buletin de informare tehnică ICPEH-MTR nr. 2 1972 Timișoara.
114. Michels, H.: Studiul și cercetarea organizării mișcării serului la m.s.i. Conferință ICPEH-Kesită 1974.